

การเตรียมตัวเร่งปฏิริยาที่บอนมอนอกไซด์โดยใช้เกลือເເທົວໂອພອລີແອ່ຊິດສໍາຮັບເໜັດ
ເຂົ້ອເພັນຶພື້ອເອັມ



บทคัดย่อและแฟ้มข้อมูลฉบับเต็มของวิทยานิพนธ์ตั้งแต่ปีการศึกษา 2554 ที่ให้บริการในคลังปัญญาจุฬาฯ (CUIR)
เป็นแฟ้มข้อมูลของนิสิตเจ้าของวิทยานิพนธ์ ที่ส่งผ่านทางบันทึกวิทยาลัย

The abstract and full text of theses from the academic year 2011 in Chulalongkorn University Intellectual Repository (CUIR)
are the thesis authors' files submitted through the University Graduate School.

วิทยานิพนธ์นี้เป็นส่วนหนึ่งของการศึกษาตามหลักสูตรปริญญาวิทยาศาสตร์มหาบัณฑิต
สาขาวิชาเคมีเทคนิค ภาควิชาเคมีเทคนิค¹
คณะวิทยาศาสตร์ จุฬาลงกรณ์มหาวิทยาลัย
ปีการศึกษา 2558
ลิขสิทธิ์ของจุฬาลงกรณ์มหาวิทยาลัย

PREPARATION OF CARBON MONOXIDE-TOLERANT CATALYSTS USING HETEROPOLY
ACID SALTS FOR PEM FUEL CELL



A Thesis Submitted in Partial Fulfillment of the Requirements
for the Degree of Master of Science Program in Chemical Technology
Department of Chemical Technology
Faculty of Science
Chulalongkorn University
Academic Year 2015
Copyright of Chulalongkorn University

หัวข้อวิทยานิพนธ์

การเตรียมตัวเร่งปฏิกิริยาทนาการบอนมอนอกไซด์โดยใช้

โดย

เกลือເເທົວໂຣພອລີແອ້ຊືດສໍາຮັບເຊລົ່ງເຂົ້ອເພີ້ງພື້ນມື້ນ

สาขาวิชา

นางสาววิภาวดี ลอยพิพันธ์

อาจารย์ที่ปรึกษาวิทยานิพนธ์หลัก

เคมีเทคนิค

อาจารย์ที่ปรึกษาวิทยานิพนธ์ร่วม

ศาสตราจารย์ ดร.มะลิ หุ่นสม

ผู้ช่วยศาสตราจารย์ ดร.คุณกร ภูจินดา

คณะวิทยาศาสตร์ จุฬาลงกรณ์มหาวิทยาลัย อนุมัติให้นับวิทยานิพนธ์ฉบับนี้เป็นส่วนหนึ่ง
ของการศึกษาตามหลักสูตรปริญญามหาบัณฑิต

คณะวิทยาศาสตร์

(รองศาสตราจารย์ ดร.พลกฤษณ์ แสงวนิช)

คณะกรรมการสอบวิทยานิพนธ์

ประธานกรรมการ

(ผู้ช่วยศาสตราจารย์ ดร.ประเสริฐ เรียมบรรจุเจริญ)

อาจารย์ที่ปรึกษาวิทยานิพนธ์หลัก

(ศาสตราจารย์ ดร.มะลิ หุ่นสม)

อาจารย์ที่ปรึกษาวิทยานิพนธ์ร่วม

(ผู้ช่วยศาสตราจารย์ ดร.คุณกร ภูจินดา)

กรรมการ

(รองศาสตราจารย์ ดร.เก็บวุฒิ พฤกษาทร)

กรรมการภายนอกมหาวิทยาลัย

(ดร.ปรีวีนา ประไนยนา)

วิภาวดี ลอยพิพันธ์ : การเตรียมตัวเร่งปฏิกิริยาทนาการ์บอนมอนอกไซด์โดยใช้เกลือไฮเทอโรโพลิแอซิดสำหรับเซลล์เชื้อเพลิงพีอีเอ็ม (PREPARATION OF CARBON MONOXIDE-TOLERANT CATALYSTS USING HETEROPOLY ACID SALTS FOR PEM FUEL CELL) อ.ที่ปรึกษาวิทยานิพนธ์หลัก: ศ. ดร.มะลิ หุ่นสม, อ.ที่ปรึกษาวิทยานิพนธ์ร่วม: ผศ. ดร.คุณกร ภูจินดา, 98 หน้า.

งานวิจัยนี้ศึกษาผลของการเติม $H_3PMo_{12}O_{40}$ และ $Cs_xH_{3-x}PMo_{12}O_{40}$ ($x = 1, 2, 2.5$ หรือ 3) บนตัวเร่งปฏิกิริยา Pt/C สำหรับปฏิกิริยาออกซิเดชันของแก๊สไฮโดรเจนที่มีการปนเปื้อนด้วยแก๊สคาร์บอนมอนอกไซด์ความเข้มข้น 100 พีพีเอ็มในเซลล์เชื้อเพลิงพีอีเอ็ม และออกซิเดชันของเมทานอลในสารละลายกรดซัลฟูริก-เมทานอล ซึ่งแบ่งขอบเขตของการทำงานออกเป็น 2 ส่วน ส่วนแรกเป็นการศึกษาผลของการร้อยละโดยน้ำหนักของ $H_3PMo_{12}O_{40}$ (ร้อยละ 200-400) บนตัวเร่งปฏิกิริยา Pt/C ต่อความทนแก๊สคาร์บอนมอนอกไซด์ เมื่อพิจารณาถึงมั่นคงภาพของตัวเร่งปฏิกิริยาในเซลล์เชื้อเพลิงเดียว ได้ดำเนินการภายใต้ภาวะบรรยากาศไฮโดรเจนที่มีการปนเปื้อนคาร์บอนมอนอกไซด์ความเข้มข้น 100 พีพีเอ็ม และออกซิเจน พบว่า $H_3PMo_{12}O_{40}$ บนตัวเร่งปฏิกิริยา Pt/C ที่ร้อยละ 300 โดยน้ำหนัก ($H_3PMo_{12}O_{40}(300)$ -Pt/C) มีความทนแก๊สคาร์บอนมอนอกไซด์สูงกว่าตัวเร่งปฏิกิริยา Pt/C ถึง 1.65 เท่า เนื่องจากการมีอิฐของโลหะเมลิบดีนัมในโครงสร้างของไฮเทอโรโพลิแอซิดส่งผลให้เกิดปฏิกิริยาออกซิเดชันของแก๊สคาร์บอนมอนอกไซด์ได้ดี และส่วนที่สองเป็นการศึกษาผลของการเติมโซเดียมไออกโซน (Cs^+) แทนที่ไฮโดรเจนไอโอนในโครงสร้าง $H_3PMo_{12}O_{40}$ บนตัวเร่งปฏิกิริยา Pt/C พบว่าตัวเร่งปฏิกิริยา $Cs_xH_{3-x}PMo_{12}O_{40}(300)$ -Pt/C มีสภาพละลายน้ำได้ต่ำกว่าตัวเร่งปฏิกิริยา $H_3PMo_{12}O_{40}(300)$ -Pt/C และตัวเร่งปฏิกิริยา $Cs_1H_2PMo_{12}O_{40}(300)$ -Pt/C มีความทนแก๊สคาร์บอนมอนอกไซด์สูงกว่าตัวเร่งปฏิกิริยา Pt/C ทั้งในสารละลายกรด-เมทานอลและในเซลล์เชื้อเพลิงพีอีเอ็มในภาวะที่มีการปนเปื้อนด้วยแก๊สคาร์บอนมอนอกไซด์

ภาควิชา เคมีเทคนิค
สาขาวิชา เคมีเทคนิค¹
ปีการศึกษา 2558

ลายมือชื่อนิสิต
ลายมือชื่อ อ.ที่ปรึกษาหลัก
ลายมือชื่อ อ.ที่ปรึกษาร่วม

5672093123 : MAJOR CHEMICAL TECHNOLOGY

KEYWORDS: CARBON MONOXIDE TOLERANCE, HETEROPOLY ACID, PEM FUEL CELL, HETEROPOLY ACID SALT / ANODE CATALYST

WIPAWEE LOYPIPUN: PREPARATION OF CARBON MONOXIDE-TOLERANT CATALYSTS USING HETEROPOLY ACID SALTS FOR PEM FUEL CELL. ADVISOR: PROF. MALI HUNSOM, Ph.D., CO-ADVISOR: ASST. PROF. KUNAKORN POOCHINDA, Ph.D., 98 pp.

This work was carried out to study the CO tolerance of Pt/C catalyst by the addition of $H_3PMo_{12}O_{40}$ and $Cs_xH_{3-x}PMo_{12}O_{40}$ ($x = 1, 2, 2.5$ or 3) for hydrogen oxidation reaction in the presence of 100 ppm CO in PEM fuel cell and for methanol oxidation in H_2SO_4 - CH_3OH solution. The work was separated into 2 parts. For the first part, the effect of $H_3PMo_{12}O_{40}$ loading (200-400 wt%) on CO tolerance under 100 ppm CO: H_2 and O_2 was studied. The results showed that 300 wt% $H_3PMo_{12}O_{40}$ on Pt/C ($H_3PMo_{12}O_{40}(300)$ -Pt/C) exhibited the CO tolerance greater than Pt/C catalyst by 1.65-fold because the existence of molybdenum in heteropoly acid structure enhanced CO oxidation. For the second part, the replacement of H^+ by the Cs^+ in the $H_3PMo_{12}O_{40}$ structure was studied. It was found that the $Cs_xH_{3-x}PMo_{12}O_{40}(300)$ -Pt/C catalysts had a lower water solubility than the $H_3PMo_{12}O_{40}(300)$ -Pt/C catalysts. The $Cs_1H_2PMo_{12}O_{40}(300)$ -Pt/C showed the CO tolerance greater than Pt/C catalyst both in the solution of H_2SO_4 - CH_3OH and in PEM fuel cell in the presence of CO.

Department: Chemical Technology Student's Signature

Field of Study: Chemical Technology Advisor's Signature

Academic Year: 2015 Co-Advisor's Signature

กิตติกรรมประกาศ

ขอกราบขอบพระคุณ ศาสตราจารย์ ดร.มะลิ หุ่นสม อ้างารย์ที่ปรึกษาวิทยานิพนธ์หลัก ผู้ช่วยศาสตราจารย์ ดร.คุณاجر ภู่จินดา อ้างารย์ที่ปรึกษาวิทยานิพนธ์ร่วม และคณาจารย์ภาควิชา เคมีเทคนิคทุกท่าน ที่กรุณามอบคำปรึกษา คำแนะนำตลอดจนความรู้ต่างๆ ทำให้งานวิจัยลุล่วงไปได้ด้วยดี

กราบขอบพระคุณ ผู้ช่วยศาสตราจารย์ ดร.ประเสริฐ เรียมบร้อยเจริญ ประธานกรรมการ สอปวิทยานิพนธ์ อ้างารย์ ดร.ปวินา ประพันยนา และรองศาสตราจารย์ ดร.เก็บวัลี พฤกษาทร กรรมการคุณสอบวิทยานิพนธ์ ที่กรุณารับเชิญเป็นกรรมการสอบ ตลอดจนให้คำแนะนำ ข้อเสนอแนะ และความคิดเห็นที่เป็นประโยชน์ต่อการทำวิทยานิพนธ์

ขอขอบคุณ ศูนย์ความเป็นเลิศด้านเทคโนโลยีปิโตรเคมีและวัสดุ ที่มีบทบาทสำคัญในการสนับสนุนและส่งเสริมวิทยานิพนธ์

ขอขอบพระคุณ เจ้าหน้าที่ภาควิชาเคมีเทคนิคทุกท่านในการอำนวยความสะดวกตลอด การทำงานวิจัย

ขอขอบคุณ เพื่อนๆ พี่ๆ และน้องๆ ในภาควิชาเคมีเทคนิคและเพื่อนๆ ในจุฬาลงกรณ์ มหาวิทยาลัยทุกท่านที่ได้ให้ความช่วยเหลือและให้กำลังใจ จนงานวิจัยลุล่วงไปด้วยดี

สุดท้ายขอขอบพระคุณบิดา-มารดาและทุกคนในครอบครัวที่ให้ความช่วยเหลือและให้ การสนับสนุนเป็นอย่างดีเสมอมาจนสำเร็จการศึกษา

สารบัญ

หน้า

บทคัดย่อภาษาไทย.....	๑
บทคัดย่อภาษาอังกฤษ.....	๑
กิตติกรรมประกาศ.....	๑
สารบัญ.....	๑
บทที่ 1 บทนำ	๑
1.1 ที่มาและความสำคัญ.....	๑
1.2 วัตถุประสงค์.....	๒
1.3 ขั้นตอนการวิจัย	๒
1.4 ประโยชน์ที่คาดว่าจะได้รับ.....	๓
บทที่ 2 สารสารปริทัศน์.....	๔
2.1 ประวัติความเป็นมาของเซลล์เชื้อเพลิง.....	๔
2.2 ชนิดของเซลล์เชื้อเพลิง	๖
2.2.1 เซลล์เชื้อเพลิงแบบแบล็คไซด์	๖
2.2.2 เซลล์เชื้อเพลิงแบบกรดฟอสฟอริก.....	๗
2.2.3 เซลล์เชื้อเพลิงแบบเกลือかる์บอนัต宦อม	๘
2.2.4 เซลล์เชื้อเพลิงแบบออกไซเดอร์ของแข็ง	๑๐
2.2.5 เซลล์เชื้อเพลิงแบบมานาอลโดยตรง	๑๑
2.2.6 เซลล์เชื้อเพลิงแบบเยื่อแผ่นแลกเปลี่ยนໂປຣຕອນหรือเซลล์เชื้อเพลิงพືອີເວັມ	๑๒
2.3 ส่วนประกอบของเซลล์เชื้อเพลิงพືອີເວັມ	๑๔
2.3.1 ข้าไฟฟ้าประกอบเมมเบรน	๑๕
2.3.1.1 เมมเบรน	๑๕
2.3.1.2 ชั้นแพร์ແກສ	๑๖

หน้า

2.3.1.3 ชั้นตัวเร่งปฏิกิริยา	17
2.3.1.4 แผ่นซองทางการไฟลของแก๊ส	18
2.3.1.5 วัสดุกันร้อนหรือปะเก็น.....	19
2.3.1.6 แผ่นสะสมกระแสงไฟฟ้าและแผ่นประกบ	20
2.4 ประสิทธิภาพของเซลล์เชือเพลิง	21
2.4.1 ปัจจัยที่ส่งผลต่อประสิทธิภาพการทำงานของเซลล์เชือเพลิง	21
2.4.2 การสูญเสียที่เกิดขึ้นภายในเซลล์เชือเพลิงพื้ออีเอ็มและแนวทางแก้ไข	22
2.4.2.1 การสูญเสียศักย์ไฟฟ้าจากการแพร่ผ่านเมมเบรนของแก๊สเชือเพลิง	22
2.4.2.2 การสูญเสียศักย์ไฟฟ้าจากโภลาไรเซชันของปฏิกิริยา	23
2.4.2.3 การสูญเสียศักย์ไฟฟ้าจากความต้านทานโอดอมิก	25
2.4.2.4 การสูญเสียศักย์ไฟฟ้าจากโภลาไรเซชันของความเข้มข้น	26
2.5 เทคนิคไซคลิกโวลแتمเมทรี.....	27
2.5.1 การหาพื้นที่ในการเกิดปฏิกิริยา	28
2.5.1.1 เทคนิคการดูดซับไฮโดรเจน.....	28
2.5.1.2 เทคนิคการดูดซับคาร์บอนมอนอกไซด์	29
2.5.2 การวิเคราะห์การทนแก๊สคาร์บอนมอนอกไซด์ของตัวเร่งปฏิกิริยา	30
2.6 แนวทางในการพัฒนาตัวเร่งปฏิกิริยา	32
2.7 เสถียรภาพของเซลล์เชือเพลิงพื้ออีเอ็ม	33
2.7.1 การเสื่อมสภาพของตัวเร่งปฏิกิริยา	34
2.8 กระบวนการผลิตแก๊สไฮโดรเจน.....	35
2.8.1 การเปลี่ยนรูปด้วยไอน้ำ.....	36
2.8.2 การออกซิเดชันแบบบางส่วน	38
2.8.3 กระบวนการแยกสลายน้ำด้วยกระแสไฟฟ้า	39

หน้า

2.8.4 กระบวนการเชิงแสง	40
2.9 ความเป็นพิษของแก๊สคาร์บอนมอนอกไซด์ (CO poisoning)	40
2.10 เยทอโรโพลีแอซิด	45
2.11 งานวิจัยที่เกี่ยวข้อง	48
บทที่ 3 อุปกรณ์และวิธีการทดลอง	50
3.1 สารเคมีและวัสดุที่ใช้ในการทำวิจัย	50
3.2 เครื่องมือและอุปกรณ์ที่ใช้ในงานวิจัย	50
3.3 เครื่องมือที่ใช้ในการวิเคราะห์ในงานวิจัย	51
3.4 วิธีการดำเนินงาน	51
3.4.1 การปรับสภาพเมมเบรน	51
3.4.2 การปรับสภาพผิwtัวรองรับคาร์บอนวัลแคน	52
3.4.3 การเตรียม $Cs_xH_{3-x}PMo_{12}O_{40}$	52
3.4.4 การเตรียมตัวเร่งปฏิกิริยาบนตัวรองรับด้วยวิธีอิมแพร์กเนชัน	53
3.4.4.1 การเตรียมตัวเร่งปฏิกิริยา $H_3PMo_{12}O_{40} - Pt/C$	53
3.4.4.2 การเตรียมตัวเร่งปฏิกิริยา $Cs_xH_{3-x}PMo_{12}O_{40}-Pt/C$	53
3.4.5 การพอกพูนชั้นตัวเร่งปฏิกิริยาบนไส้ดินสอ	54
3.4.6 การศึกษาพื้นที่ผิวของการเกิดปฏิกิริยา	54
3.4.7 การศึกษาการละลายน้ำของ $Cs_xH_{3-x}PMo_{12}O_{40}$	54
3.4.8 การวิเคราะห์ปฏิกิริยาความทนแก๊สคาร์บอนมอนอกไซด์ของตัวเร่งปฏิกิริยา	55
3.4.9 การเตรียมชั้นตัวเร่งปฏิกิริยาโดยวิธีการเคลือบบนเมมเบรน และข้าไฟฟ้าประกอบเมมเบรน	55
3.4.10 การทดสอบการทำงานของเซลล์เชื้อเพลิงเซลล์เดี่ยว	56
บทที่ 4 ผลการทดลองและวิจารณ์ผลการทดลอง	58

หน้า

4.1 ผลของร้อยละโดยน้ำหนักของ $H_3PMo_{12}O_{40}$ บนตัวเร่งปฏิกิริยา Pt/C.....	58
4.1.1 โครงสร้าง อัตราส่วน และสัณฐานวิทยาของตัวเร่งปฏิกิริยา $H_3PMo_{12}O_{40}$ - Pt/C และพื้นที่การเกิดปฏิกิริยา	58
4.1.2 ความทนทานบอนมอนอกไซด์ของตัวเร่งปฏิกิริยาในสารละลายเมทานอล/กรดซัลฟิริก	66
4.1.3 ก้มั่นตภาพของตัวเร่งปฏิกิริยาในเซลล์เชื้อเพลิงฟื้นฟู	68
4.2 ผลของการเติมโซเดียมบนตัวเร่งปฏิกิริยา $H_3PMo_{12}O_{40}$ - Pt/C.....	71
4.2.1 การทดสอบการละลายน้ำของ $Cs_xH_{3-x}PMo_{12}O_{40}$	71
4.2.2 โครงสร้าง อัตราส่วน และสัณฐานวิทยาของตัวเร่งปฏิกิริยา $Cs_xH_{3-x}PMo_{12}O_{40}$ และ $Cs_xH_{3-x}PMo_{12}O_{40}$ - Pt/C.....	72
4.2.3 ความทนแก๊สคาร์บอนมอนอกไซด์ของตัวเร่งปฏิกิริยา	80
4.2.4 ก้มั่นตภาพของตัวเร่งปฏิกิริยาในเซลล์เชื้อเพลิงฟื้นฟู	82
บทที่ 5 สรุปผลการทดลองและข้อเสนอแนะ	86
5.1 สรุปผลการทดลอง.....	86
5.2 ข้อเสนอแนะ	88
รายการอ้างอิง	89
ภาคผนวก ก การคำนวนพื้นที่ในการเกิดปฏิกิริยาด้วยโปรแกรม OriginPro 9	94
ภาคผนวก ข การคำนวนค่าการนำไฟฟ้าในแนวแกนด้วยเทคนิค Four point probe	97
ประวัติผู้เขียนวิทยานิพนธ์	98

สารบัญตาราง

	หน้า
ตารางที่ 2.1. ชนิดและสมบัติของเซลล์เชือกเพลิง	14
ตารางที่ 2.2 ความหนาแน่นกระแทกไฟฟ้าแลกเปลี่ยนของโลหะชนิดต่างๆสำหรับปฏิกิริยาดักชันของออกซิเจน	25
ตารางที่ 2.3 ข้อกำหนดทางเทคนิคที่แตกต่างกันตามวัตถุประสงค์ในการใช้งาน	34
ตารางที่ 2.4 การพัฒนาตัวเร่งปฏิกิริยาโลหะฐานแพลทินัมที่สามารถทนทานต่อแก๊สคาร์บอนมอนอกไซด์	43
ตารางที่ 2.5 ชนิดและสมบัติของแคตไอโอนในสารประกอบเกลือไฮโดโรโพลิเออโซิต	47
ตารางที่ 4.1 ร้อยละโดยอะตอมของธาตุ และขนาดอนุภาคของตัวเร่งปฏิกิริยา $H_3PMo_{12}O_{40}$ - Pt/C	61
ตารางที่ 4.2 สมบัติของตัวเร่งปฏิกิริยา Pt/C PtRu/C และ $H_3PMo_{12}O_{40}$ - Pt/C	65
ตารางที่ 4.3 การละลายน้ำของ $H_3PMo_{12}O_{40}$ และ $Cs_xH_{3-x}PMo_{12}O_{40}$	72
ตารางที่ 4.4 ร้อยละโดยอะตอมในการวิเคราะห์เชิงปริมาณ และขนาดอนุภาคของ $Cs_xH_{3-x}PMo_{12}O_{40}$	74
ตารางที่ 4.5 ร้อยละโดยอะตอมในการวิเคราะห์เชิงปริมาณ และขนาดอนุภาคของตัวเร่งปฏิกิริยา $Cs_xH_{3-x}PMo_{12}O_{40}$ - Pt/C	78
ตารางที่ 4.6 สมบัติเชิงไฟฟ้าของตัวเร่งปฏิกิริยา $Cs_xH_{3-x}PMo_{12}O_{40}(300)$ - Pt/C เมื่อ $x = 1$ ถึง 3	82

สารบัญภาพ

	หน้า
ภาพที่ 2.1 ความแตกต่างระหว่าง (ก) แบตเตอรี่ และ (ข) เชลล์เชือเพลิง.....	4
ภาพที่ 2.2 รถแทรกเตอร์เชลล์เชือเพลิง ผลิตโดยบริษัท Allis-Chalmers	5
ภาพที่ 2.3 หลักการทำงานของเชลล์เชือเพลิงแบบแอคต้าไลน์	7
ภาพที่ 2.4 หลักการทำงานของเชลล์เชือเพลิงแบบกรดฟอสฟอรัส	8
ภาพที่ 2.5 หลักการทำงานของเชลล์เชือเพลิงชนิดเกลือการบอนेतหลอม	9
ภาพที่ 2.6 หลักการทำงานของเชลล์เชือเพลิงแบบออกไซซ์ดของแมง	11
ภาพที่ 2.7 หลักการทำงานของเชลล์เชือเพลิงแบบเมทานอลโดยตรง	12
ภาพที่ 2.8 หลักการทำงานของเชลล์เชือเพลิงพีอีเอ็ม	13
ภาพที่ 2.9 โครงสร้างของ Perfluorosulfonic membrane หรือ Nafion membrane.....	16
ภาพที่ 2.10 กลไกการเกิดปฏิกิริยาของตัวเร่งปฏิกิริยาไวริพันธุ์.....	18
ภาพที่ 2.11 แผ่นช่องทางการไหลชนิดต่างๆ (ก) แบบเซอร์เพนไทน์ (ข) แบบช่องระหว่างนิว (ค) แบบขนาด (ง) แบบผสม.....	19
ภาพที่ 2.12 ลักษณะของปะเก็นที่ใช้ในเชลล์เชือเพลิงพีอีเอ็ม	20
ภาพที่ 2.13 ตำแหน่งของแผ่นสะสมไฟฟ้าและแผ่นประกบในเซลล์เชือเพลิงพีอีเอ็ม	20
ภาพที่ 2.14 ความสัมพันธ์ระหว่างศักย์ไฟฟ้าและความหนาแน่นของกระแสไฟฟ้า	22
ภาพที่ 2.15 ความสัมพันธ์ระหว่างก้มมันตภาพของตัวเร่งปฏิกิริยาและพลังงานยืดเห็นี่ยวอะตอม ของออกซิเจน	25
ภาพที่ 2.16 ความสัมพันธ์ระหว่างกระแสไฟฟ้าและศักย์ไฟฟ้าที่ป้อนเข้าสู่ระบบหรือไซคลิคโว ลแทนเมทริ.....	27
ภาพที่ 2.17 พื้นที่การดูดซับไฮโดรเจนบนตัวเร่งปฏิกิริยาแพลทินัมในสารละลายกรดซัลฟูริกเจือ จาง.....	29
ภาพที่ 2.18 ไซคลิคโวลแทนเมทริของการเกิดปฏิกิริยาออกซิเดชัน-รีดักชันของไฮโดรเจนบน ตัวเร่งปฏิกิริยาแพลทินัม (-) และแพลทินัม-รูтиเนียมที่ไม่มีตัวรองรับ (.....)	30

ภาพที่ 2.19 ไชคลิกโวลแรมเมทริของการเกิดปฏิกิริยาเมทานอลออกซิเดชันและ การบอนมอนออกไซด์ออกซิเดชันบนตัวเร่งปฏิกิริยา Pt/C ในสารละลายน้ำมีเทนอเล็กซ์ 1 มอล ต่อลิตร ผสมสารละลายน้ำฟูริกเข้มข้น 0.5 มอลต่อลิตร ที่อุณหภูมิ 25 องศาเซลเซียส.....	31
ภาพที่ 2.20 กลไกการสูญเสียพื้นที่ผิวของตัวเร่งปฏิกิริยาแพลทินัมบนตัวรองรับคาร์บอน	35
ภาพที่ 2.21 ภาพตัดขวางจากกล้องจุลทรรศน์อิเล็กตรอนแบบส่องกราดของชั้นประกอบเมม เบรนเมื่อผ่านการใช้งานเป็นเวลา 2,000 ชั่วโมง	35
ภาพที่ 2.22 กระบวนการสังเคราะห์แก๊สไฮโดรเจนโดยใช้สารตั้งต้นและแหล่งให้พลังงานจาก ธรรมชาติ.....	36
ภาพที่ 2.23 กระบวนการเปลี่ยนรูปเมทานด้วยไอโอดีน	37
ภาพที่ 2.24 กระบวนการออกซิเดชันแบบบางส่วน	38
ภาพที่ 2.25 กระบวนการแยกสลายน้ำด้วยกระแสไฟฟ้า	39
ภาพที่ 2.26 กระบวนการสังเคราะห์ด้วยแสง	40
ภาพที่ 2.27 การคุณภาพของคาร์บอนมอนอกไซด์บนตัวเร่งปฏิกิริยาแพลทินัมบนคาร์บอน.....	41
ภาพที่ 2.28 การเกิดปฏิกิริยาออกซิเดชันแก๊สคาร์บอนมอนอกไซด์บน (ก) ตัวเร่งปฏิกิริยา Pt/C และ (ข) ตัวเร่งปฏิกิริยา PtSn/C	42
ภาพที่ 2.29 การเปรียบเทียบความหนาแน่นกระแสน้ำในตัวเร่งปฏิกิริยา	44
ภาพที่ 2.30 โครงสร้างแบบเค็กกินส์ของฟอสฟอฟทังสติกแอซิด	46
ภาพที่ 2.31 โครงสร้างแบบเค็กกินส์ เวลล์-ดอร์สัน หรือ เวลล์-ดอร์สัน แซนวิช	46
ภาพที่ 4.1 โครงสร้างตัวเร่งปฏิกิริยา Pt/C, H ₃ PMo ₁₂ O ₄₀ เชิงพาณิชย์ และ H ₃ PMo ₁₂ O ₄₀ - Pt/C ที่ สังเคราะห์ขึ้น	59
ภาพที่ 4.2 ผลการวิเคราะห์ตัวเร่งปฏิกิริยา (ก) H ₃ PMo ₁₂ O ₄₀ (200)-Pt/C (ข) H ₃ PMo ₁₂ O ₄₀ (300)- Pt/C และ (ค) H ₃ PMo ₁₂ O ₄₀ (400)-Pt/C ด้วยเทคนิค EDX.....	60
ภาพที่ 4.3 ภาพถ่ายตัวเร่งปฏิกิริยาด้วยกล้องจุลทรรศน์แบบส่องผ่าน (ก) Pt/C, (ข) H ₃ PMo ₁₂ O ₄₀ (200)-Pt/C, (ค) H ₃ PMo ₁₂ O ₄₀ (300)-Pt/C และ (ง) H ₃ PMo ₁₂ O ₄₀ (400)-Pt/C.....	61
ภาพที่ 4.4 ไชคลิกโวลแรมโน้ตกราฟของ (ก) ตัวเร่งปฏิกิริยา Pt/C เชิงพาณิชย์ และ (ข) ตัวเร่ง ปฏิกิริยา H ₃ PMo ₁₂ O ₄₀ - Pt/C (ต่อ)	62

ภาพที่ 4.5 ไซคลิกโวลแتمป์โนมแกรมของ (ก) ตัวเร่งปฏิกิริยา Pt/C เชิงพาณิชย์ และ (ข) ตัวเร่งปฏิกิริยา $H_3PMo_{12}O_{40}$ - Pt/C.....	63
ภาพที่ 4.6 ไซคลิกโวลแتمป์เมทรีของตัวเร่งปฏิกิริยา Pt/C เชิงพาณิชย์ ตัวเร่งปฏิกิริยา PtRu/C เชิงพาณิชย์ และตัวเร่งปฏิกิริยา $H_3PMo_{12}O_{40}$ - Pt/C ที่ $H_3PMo_{12}O_{40}$ ร้อยละ 200 300 และ 400 โดยน้ำหนัก ในสารละลายผสมระหว่างเมทานอลความเข้มข้น 1 มอลต่อลิตร และสารละลายกรดซัลฟูริกความเข้มข้น 0.5 มอลต่อลิตร	67
ภาพที่ 4.7 โพลาไรเซชันของตัวเร่งปฏิกิริยา Pt/C เชิงพาณิชย์ ตัวเร่งปฏิกิริยา PtRu/C เชิงพาณิชย์ และตัวเร่งปฏิกิริยา $H_3PMo_{12}O_{40}$ -Pt/C ที่มี $H_3PMo_{12}O_{40}$ ร้อยละ 200 300 และ 400 โดยน้ำหนัก ภายในภาวะบรรยากาศไฮโดรเจนและออกซิเจน.....	69
ภาพที่ 4.8 โพลาไรเซชันของตัวเร่งปฏิกิริยา Pt/C เชิงพาณิชย์ ตัวเร่งปฏิกิริยา PtRu/C เชิงพาณิชย์ และตัวเร่งปฏิกิริยา $H_3PMo_{12}O_{40}$ - Pt/C ที่มี $H_3PMo_{12}O_{40}$ ร้อยละ 200 300 และ 400 โดยน้ำหนัก ภายในบรรยากาศไฮโดรเจนที่มีการปนเปื้อนด้วยแก๊สคาร์บอนมอนอกไซด์ความเข้มข้น 100 ส่วนในล้านส่วนและออกซิเจน	70
ภาพที่ 4.9 เปรียบเทียบการละลายน้ำของ $H_3PMo_{12}O_{40}$ และ $Cs_xH_{3-x}PMo_{12}O_{40}$	71
ภาพที่ 4.10 โครงสร้าง $H_3PMo_{12}O_{40}$ เชิงพาณิชย์ Cs_2CO_3 เชิงพาณิชย์ และตัวเร่งปฏิกิริยา $Cs_xH_{3-x}PMo_{12}O_{40}$ ที่สังเคราะห์ขึ้น	73
ภาพที่ 4.11 ผลการวิเคราะห์ตัวเร่งปฏิกิริยา $Cs_xH_{3-x}PMo_{12}O_{40}$ (ก) $Cs_1H_2PMo_{12}O_{40}$ (ข) $Cs_2H_1PMo_{12}O_{40}$ (ค) $Cs_{2.5}H_{0.5}PMo_{12}O_{40}$ และ (ง) $Cs_3H_0PMo_{12}O_{40}$ ด้วยเทคนิค EDX	74
ภาพที่ 4.12 ภาพถ่ายของ $H_3PMo_{12}O_{40}$, เกลือไฮเทอโรพอลิแอซิดด้วยกล้องจุลทรรศน์อิเล็กตรอนแบบส่องกราด (ก) $H_3PMo_{12}O_{40}$ (ข) $Cs_1H_2PMo_{12}O_{40}$ (ค) $Cs_2H_1PMo_{12}O_{40}$ (ง) $Cs_{2.5}H_{0.5}PMo_{12}O_{40}$, และ (จ) $Cs_3H_0PMo_{12}O_{40}$ (ต่อ).....	75
ภาพที่ 4.13 ภาพถ่ายของ $H_3PMo_{12}O_{40}$, เกลือไฮเทอโรพอลิแอซิดด้วยกล้องจุลทรรศน์อิเล็กตรอนแบบส่องกราด (ก) $H_3PMo_{12}O_{40}$ (ข) $Cs_1H_2PMo_{12}O_{40}$ (ค) $Cs_2H_1PMo_{12}O_{40}$ (ง) $Cs_{2.5}H_{0.5}PMo_{12}O_{40}$, และ(จ) $Cs_3H_0PMo_{12}O_{40}$	76
ภาพที่ 4.14 ผลการวิเคราะห์ด้วยเทคนิค EDX ของตัวเร่งปฏิกิริยา (ก) $H_3PMo_{12}O_{40}(300)$ -Pt/C (ข) $Cs_1H_2PMo_{12}O_{40}(300)$ -Pt/C (ค) $Cs_2H_1PMo_{12}O_{40}(300)$ -Pt/C (ง) $Cs_{2.5}H_{0.5}PMo_{12}O_{40}(300)$ -Pt/C และ (จ) $Cs_3H_0PMo_{12}O_{40}(300)$ -Pt/C	77

ภาพที่ 4.15 ภาพถ่ายตัวเร่งปฏิกิริยาด้วยกล้องจุลทรรศน์แบบส่องผ่าน (ก) $Cs_1H_2PMo_{12}O_{40}(300)$ - Pt/C (ข) $Cs_2H_1PMo_{12}O_{40}(300)$ -Pt/C (ค) $Cs_{2.5}H_{0.5}PMo_{12}O_{40}(300)$ -Pt/C และ (ง) $Cs_3H_0PMo_{12}O_{40}(300)$ -Pt/C (ต่อ).....	78
ภาพที่ 4.16 ภาพถ่ายตัวเร่งปฏิกิริยาด้วยกล้องจุลทรรศน์แบบส่องผ่าน (ก) $Cs_1H_2PMo_{12}O_{40}(300)$ -Pt/C (ข) $Cs_2H_1PMo_{12}O_{40}(300)$ -Pt/C (ค) $Cs_{2.5}H_{0.5}PMo_{12}O_{40}(300)$ - Pt/C และ (ง) $Cs_3H_0PMo_{12}O_{40}(300)$ -Pt/C.....	79
ภาพที่ 4.17 โครงสร้างตัวเร่งปฏิกิริยา Pt/C เชิงพาณิชย์ $H_3PMo_{12}O_{40}$ เชิงพาณิชย์ และตัวเร่ง ปฏิกิริยา $Cs_xH_{3-x}PMo_{12}O_{40}$ - Pt/C ที่สังเคราะห์ขึ้น.....	79
ภาพที่ 4.18 ไซคลิกโวแทมเมธีของตัวเร่งปฏิกิริยา Pt/C เชิงพาณิชย์ ตัวเร่งปฏิกิริยา PtRu/C เชิงพาณิชย์ตัวเร่งปฏิกิริยา $H_3PMo_{12}O_{40}$ บนตัวเร่งปฏิกิริยา Pt/C ที่ร้อยละ 300 โดยน้ำหนัก และตัวเร่งปฏิกิริยา $Cs_xH_{3-x}PMo_{12}O_{40}$ - Pt/C ที่มี $Cs_xH_{3-x}PMo_{12}O_{40}$ ร้อยละ 300 ในสารละลาย เมทานอลความเข้มข้น 1 มोลต่อลิตร ผสมสารละลายกรดซัลฟูริกความเข้มข้น 0.5 มोลต่อลิตร.....	81
ภาพที่ 4.19 โพลาไรเซชันของตัวเร่งปฏิกิริยา Pt/C เชิงพาณิชย์ ตัวเร่งปฏิกิริยา PtRu/C เชิง พาณิชย์ ตัวเร่งปฏิกิริยา $H_3PMo_{12}O_{40}$ บนตัวเร่งปฏิกิริยา Pt/C ที่ร้อยละ 300 โดยน้ำหนัก และ ตัวเร่งปฏิกิริยา $Cs_xH_{3-x}PMo_{12}O_{40}$ -Pt/C ที่มี $Cs_xH_{3-x}PMo_{12}O_{40}$ ร้อยละ 300 โดยน้ำหนัก ภายใต้ บรรยากาศไฮโดรเจนและออกซิเจน.....	83
ภาพที่ 4.20 โพลาไรเซชันของตัวเร่งปฏิกิริยา Pt/C เชิงพาณิชย์ ตัวเร่งปฏิกิริยา PtRu/C เชิง พาณิชย์ ตัวเร่งปฏิกิริยา $H_3PMo_{12}O_{40}$ บนตัวเร่งปฏิกิริยา Pt/C ที่ร้อยละ 300 โดยน้ำหนัก และ ตัวเร่งปฏิกิริยา $Cs_xH_{3-x}PMo_{12}O_{40}$ -Pt/C ที่มี $Cs_xH_{3-x}PMo_{12}O_{40}$ ร้อยละ 300 ภายใต้บรรยากาศ ไฮโดรเจนที่มีการปนเปื้อนแก๊สคาร์บอนมอนอกไซด์ความเข้มข้น 100 ส่วนในล้านส่วนและ ออกซิเจน	85

บทที่ 1

บทนำ

1.1 ที่มาและความสำคัญ

การเพิ่มขึ้นของจำนวนประชากรและการขยายตัวทางเศรษฐกิจส่งผลให้ความต้องการใช้พลังงานเพิ่มสูงขึ้น แหล่งพลังงานหลักที่ใช้ในปัจจุบันมาจากการทับถมของชาตกีซากสัตว์ (Fossil) ซึ่งมีอยู่อย่างจำกัดและใช้แล้วหมดไปจึงจำเป็นต้องหาแหล่งพลังงานทดแทนเพื่อให้เพียงพอต่อความต้องการของการใช้พลังงานที่เพิ่มสูงขึ้น พลังงานทดแทนมีหลายชนิด เช่น พลังงานลม พลังงานน้ำ พลังงานแสงอาทิตย์ พลังงานชีวมวล เป็นต้น แต่พลังงานทดแทนชนิดหนึ่งที่ได้รับความสนใจในปัจจุบันคือไฮโดรเจน

เซลล์เชื้อเพลิง (Fuel cell) เป็นอุปกรณ์ที่ผลิตกระแสไฟฟ้าโดยอาศัยการเกิดปฏิกิริยาเคมีไฟฟ้าเพื่อเปลี่ยนพลังงานเคมีของไฮโดรเจนและออกซิเจนเป็นพลังงานไฟฟ้าโดยไม่ผ่านกระบวนการเผาไหม้ซึ่งมีประสิทธิภาพสูง ผลิตภัณฑ์ข้างเคียงที่ได้คือน้ำและความร้อนจึงไม่เป็นพิษต่อสิ่งแวดล้อม

เซลล์เชื้อเพลิงมีอยู่ด้วยกันหลายชนิดแต่เซลล์เชื้อเพลิงแบบเยื่อแผ่นแลกเปลี่ยนprotoon (Proton exchange membrane fuel cell) หรือเซลล์เชื้อเพลิงพืวอิเมียมเป็นเซลล์เชื้อเพลิงที่กำลังได้รับความสนใจในการผลิตพลังงาน เนื่องจากมีขนาดเล็ก น้ำหนักเบา ทำงานที่อุณหภูมิต่ำ อิเล็กโทรไลต์ของเซลล์เชื้อเพลิงชนิดนี้เป็นพอลิเมอร์ที่มีสมบัติในการนำprotoonสูง ตัวเร่งปฏิกิริยาที่นิยมใช้ที่ข้าวเอโนดและแคโทดคือแพลทินัม

ข้อดีของเซลล์เชื้อเพลิงชนิดนี้คืออายุการใช้งานนาน ใช้เวลาเริ่มต้นในการทำงานสั้น ประสิทธิภาพสูง และมีข้อเสียคือราคาสูงเนื่องจากต้องใช้แพลทินัมเป็นตัวเร่งปฏิกิริยา และต้องใช้สารตั้งต้นและตัวออกซิเดนต์ที่ค่อนข้างบริสุทธิ์ การใช้สารตั้งต้นและตัวออกซิเดนต์ที่มีการปนเปื้อนของสารมลพิษ เช่น แก๊สคาร์บอนมอนอกไซด์จะทำให้ประสิทธิภาพต่ำลง

ปัญหาหลักของเซลล์เชื้อเพลิงชนิดนี้คือความเป็นพิษของคาร์บอนมอนอกไซด์ (CO poisoning) ที่ปนเปื้อนในแก๊สไฮโดรเจนที่เป็นสารตั้งต้น ซึ่งส่วนใหญ่เป็นไฮโดรเจนที่มาจากการกระบวนการเปลี่ยนรูป (Reforming process) ของสารประกอบไฮโดรคาร์บอนต่างๆ เช่น เอทานอล เมทานอล หรือแก๊สธรรมชาติ

แก๊สคาร์บอนมอนอกไซด์สามารถจับบนพื้นผิวของตัวเร่งปฏิกิริยาแพลทินัม 2 แบบ คือ แบบด้านบน (Linearly bonded adsorption) และแบบบริดจ์ (Bridge bonded adsorption) [1] ทำให้พื้นที่ผิวที่ใช้ในเกิดปฏิกิริยาออกซิเดชันของไฮโดรเจนลดลง สมรรถนะของเซลล์เชื้อเพลิงจึงลดลง

การเพิ่มความทนแก๊สคาร์บอนมอนอกไซด์ของแพลทินัมมีหลายวิธี ได้แก่ การพัฒนาตัวเร่งปฏิกิริยา โลหะผสมฐานแพลทินัมที่มีความทนแก๊สคาร์บอนมอนอกไซด์ การป้อนอากาศปริมาณน้อยในฝัง แอลูมิโนนดเพื่อออกซิไดซ์แก๊สคาร์บอนมอนอกไซด์ การพัฒนาเยื่อแลกเปลี่ยนโปรดอนให้ทำงานได้ที่ อุณหภูมิสูงขึ้นเพื่อลดการปักคลุมพื้นที่ที่มีความว่องไวของแพลทินัมด้วยแก๊สคาร์บอนมอนอกไซด์ และการเพิ่มตัวออกซิไดซ์ในชั้นตัวเร่งปฏิกิริยาหรือการใช้เป็นชั้นกรองแก๊สคาร์บอนมอนอกไซด์ [1]

ในช่วงที่ผ่านมาได้มีงานวิจัยประยุกต์เชิงทดลองลิเบอร์ตี้เร่อโรโพลิแอชิดหรือพอลิออกไซเมทาเลต เช่น กรณี ฟอสฟومอลิบดิก หรือกรดฟอสฟิวานดิกฟอสฟิมกับตัวเร่งปฏิกิริยาแพลทินัมบันคาร์บอน (Pt/C) เพื่อ ออกซิไดซ์แก๊สคาร์บอนมอนอกไซด์ [2] ดังปฏิกิริยา (1.1) - (1.2) แต่ข้อเสียของเชิงทดลองลิเบอร์ตี้เร่อโรโพลิแอชิด คือ มีฤทธิ์กัดกร่อนสูง สภาพละลายน้ำสูง และมีพื้นที่ผิวน้อย จึงมีเสถียรภาพและกันมั่นคงในการ เร่งปฏิกิริยาต่ำ



งานวิจัยนี้สนใจพัฒนาการเตรียมตัวเร่งปฏิกิริยาเกลือเชิงทดลองลิเบอร์ตี้เร่อโรโพลิแอชิดเพื่อแก้ปัญหา ดังกล่าวโดยเทคนิคการตกตะกอนร่วมของสารละลายกรดเชิงทดลองลิเบอร์ตี้เร่อโรโพลิแอชิดกับสารละลายซีเซียม คาร์บอนเนตในภาวะที่เป็นกรด โดยใช้อุณหภูมิต่ำ ที่อัตราส่วนระหว่างไฮโดรเจนไอโอดีนออกอนต่อซีเซียม ไอโอนต่างๆ เพื่อศึกษาความทนต่อแก๊สคาร์บอนมอนอกไซด์ในเชลล์เชือเพลิงพื้นอิฐ [3]

จุฬาลงกรณ์มหาวิทยาลัย

CHULALONGKORN UNIVERSITY

1.2 วัตถุประสงค์

- เพื่อสังเคราะห์เกลือเชิงทดลองลิเบอร์ตี้เร่อโรโพลิแอชิด ($\text{Cs}_{x}\text{H}_{3-x}\text{PMo}_{12}\text{O}_{40}$) และเตรียมตัวเร่งปฏิกิริยาเกลือ เชิงทดลองลิเบอร์ตี้เร่อโรโพลิแอชิดบนแพลทินัมบันคาร์บอน ($\text{Cs}_{x}\text{H}_{3-x}\text{PMo}_{12}\text{O}_{40}\text{-Pt/C}$)
- เพื่อศึกษาความทนแก๊สคาร์บอนมอนอกไซด์ของ $\text{Cs}_{x}\text{H}_{3-x}\text{PMo}_{12}\text{O}_{40}\text{-Pt/C}$ ในเชลล์เชือเพลิงพื้นอิฐ

1.3 ขั้นตอนการวิจัย

- ศึกษาค้นคว้าข้อมูลและงานวิจัยที่เกี่ยวข้องกับเชลล์เชือเพลิงทั้งในและต่างประเทศ
- จัดเตรียมเครื่องมือและอุปกรณ์ที่จำเป็นในการดำเนินงานวิจัย
- สังเคราะห์ $\text{Cs}_{x}\text{H}_{3-x}\text{PMo}_{12}\text{O}_{40}$ ด้วยเทคนิคการตกตะกอนร่วมระหว่างกรด $\text{H}_3\text{PMo}_{12}\text{O}_{40}$ กับ สารละลาย CsCO_3 ที่อัตราส่วนระหว่าง 1 ถึง 3

4. เตรียมตัวเร่งปฏิกิริยาເຂົ້າໂຮພອລີແອືດບນຕັ້ງເວັ່ນປັດທິນມບນຄາຮບອນ ($H_3PMo_{12}O_{40}$ -Pt/C) ໂດຍວິຮີອົມແພຣກແນ້ນ ທີ່ຮ້ອຍລະ 200 300 ແລະ 400 ໂດຍນໍ້າໜັກ
5. ເຕີຍມຕັ້ງເວັ່ນປັດທິນມບນຄາຮບອນຕັ້ງເວັ່ນປັດທິນມ ($Cs_xH_{3-x}PMo_{12}O_{40}$ -Pt/C) ທີ່ຮ້ອຍລະ 300 ໂດຍນໍ້າໜັກ
6. ວິເຄຣາະທີ່ສມບັດຂອງ $Cs_xH_{3-x}PMo_{12}O_{40}$ ຕັ້ງເວັ່ນປັດທິນມ $H_3PMo_{12}O_{40}$ -Pt/C ແລະ $Cs_xH_{3-x}PMo_{12}O_{40}$ -Pt/C ໄດ້ແກ່
 - ໂຄຮງສ້າງຂອງຕັ້ງເວັ່ນປັດທິນມດ້ວຍເຄື່ອງ X-ray diffraction (XRD)
 - ຮ້ອຍລະຂອງຮາຕຸດ້ວຍເຄື່ອງ Energy dispersive X-ray spectrometer (EDX)
 - ຂັດແລະກາຮຈາຍຕັ້ງອອກຕັ້ງເວັ່ນປັດທິນມດ້ວຍເຄື່ອງ Transmission Electron Microscopy (TEM)
7. ວັດຝັນທີ່ຜົວກາເກີດປັດທິນມເຄມີໄຟເພົ້າຂອງຕັ້ງເວັ່ນປັດທິນມ ດ້ວຍເຫັນືກໃໝ່ໂວລແມ່ທີ່ (Cyclic voltammetry) ໃນສາຣະລາຍກຣດ້້າລູກີເຂັ້ມື້ນ 0.5 ໂມລຕ່ອລິຕຣ ບຣິມາຕຣ 200 ມິລັລິຕຣ ໃນຊ່ວງ 0 – 50 ຮອບ ອັຕຣາກາກຣາດສັກຍີເພົ້າ (Scan rate) 20 ມິລັລໂວລຕ່ຕ້ວວິນາທີ
8. ສຶກຫາຄວາມທນແກ້ສຄາຮບອນມອນອກໄໝດີໃນ
 - ສາຣະລາຍເມທານອລຄວາມເຂັ້ມື້ນ 1 ໂມລຕ່ອລິຕຣ ພສມສາຣະລາຍກຣດ້້າລູກີຄວາມເຂັ້ມື້ນ 0.5 ໂມລຕ່ອລິຕຣ ດ້ວຍເຫັນືກໃໝ່ໂວລແມ່ທີ່
 - ເໜລົດເຂົ້ອເພີ້ງ ໃນແກ້ສໄໂໂໂຣເຈັນທີ່ມີມີແລະມີກາປັນເປື້ອນ ດ້ວຍແກ້ສຄາຮບອນມອນອກໄໝດີ (100 ສ່ວນຕ່ອລ້ານສ່ວນ)
9. ວິເຄຣາະທີ່ຂໍ້ມູນ ພລກາຮທດລອງ ສຽງແຜ ແລະເຂົ້າວິທຍານິພນົ້ມ

1.4 ປະຢິຍໜົນທີ່ຄາດວ່າຈະໄດ້ຮັບ

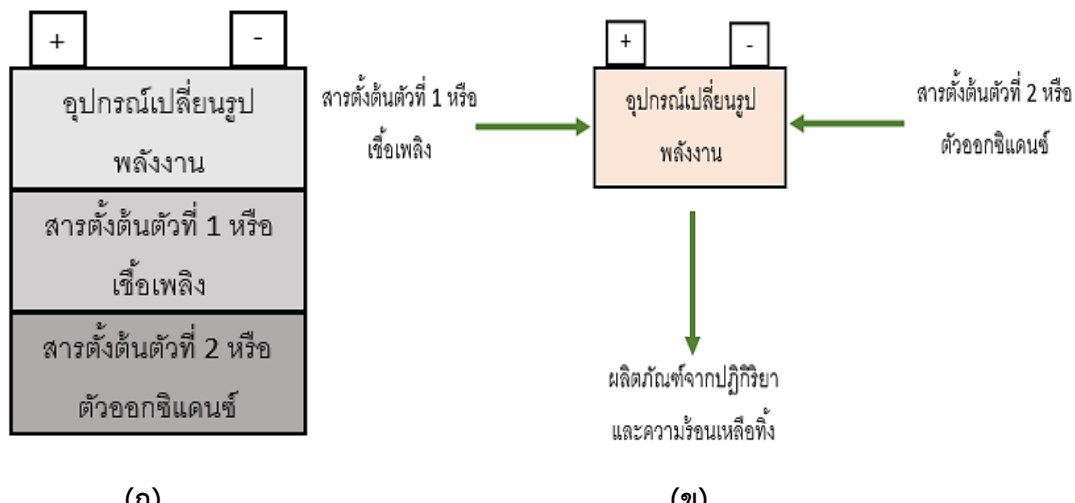
ໄດ້ຕັ້ງເວັ່ນປັດທິນມ $Cs_xH_{3-x}PMo_{12}O_{40}$ -Pt/C ທີ່ມີຄວາມທນທານຕ່ອແກ້ສຄາຮບອນມອນອກໄໝດີແລະ ມີເສດຖະກິດສູງເພື່ອໃຊ້ໃນເໜລົດເຂົ້ອເພີ້ງ

บทที่ 2

วารสารปริทัศน์

2.1 ประวัติความเป็นมาของเซลล์เชือเพลิง

เซลล์เชือเพลิงเป็นอุปกรณ์ที่เปลี่ยนพลังงานเคมีจากเชือเพลิงชนิดหนึ่งให้เป็นกระแสไฟฟ้า ผ่านปฏิกิริยาเคมีไฟฟ้า โดยไม่ผ่านกระบวนการเผาไหม้ ทำให้ได้ประสิทธิภาพที่สูงอีกทั้งผลิตภัณฑ์ ข้างเดียวที่ได้คือน้ำและความร้อน จึงไม่เป็นพิษต่อสิ่งแวดล้อม เซลล์เชือเพลิงแตกต่างจากแบตเตอรี่ คือเซลล์เชือเพลิงต้องการการป้อนเชือเพลิงและออกซิเจนหรืออากาศอย่างต่อเนื่องเพื่อความยั่งยืน ของกระบวนการผลิตกระแสไฟฟ้า ในขณะที่ในแบตเตอรี่จะมีการทำปฏิกิริยาของสารเคมีภายในเพื่อ ผลิตกระแสไฟฟ้า (emf) เซลล์เชือเพลิงสามารถผลิตกระแสไฟฟ้าได้อย่างต่อเนื่องตราบเท่าที่มีการ ป้อนเชือเพลิงและออกซิเจนหรืออากาศเข้าสู่ระบบ ในขณะที่แบตเตอรี่จะหมดจ่ายกระแสไฟฟ้าถ้า สารเคมีหมดหรือสิ้นอายุการใช้งาน ดังภาพที่ 2.1



ภาพที่ 2.1 ความแตกต่างระหว่าง (g) แบตเตอรี่ และ (x) เซลล์เชือเพลิง [4]

เซลล์เชือเพลิงถูกคิดค้นครั้งแรกในปี ค.ศ. 1838 และถูกใช้เชิงพาณิชย์ครั้งแรกในหนึ่งศตวรรษต่อมาในโครงการอวกาศขององค์กรนาซา เพื่อผลิตพลังงานให้กับดาวเทียมและแคปซูล อวกาศ ตั้งแต่นั้นเป็นต้นมาเซลล์เชือเพลิงถูกนำมาใช้งานที่หลากหลาย เช่น ใช้ผลิตพลังงานหลัก และพลังงานสำรองเพื่อการพาณิชย์ อุตสาหกรรมและอาคารที่อยู่อาศัยในพื้นที่ห่างไกลและเข้าถึงได้

ยก และยังถูกใช้เพื่อผลิตพลังงานกับยานพาหนะเชลล์เชือเพลิง รวมทั้งรถยนต์ รถโดยสาร เรือ รถจักรยานยนต์และเรือดำน้ำ [5]

หลักการทำงานของเชลล์เชือเพลิงถูกค้นพบโดยนักวิทยาศาสตร์ชาวสวิสเซอร์แลนด์ชื่อ Christian Friedrich Schönbein ในปี ค.ศ. 1838 และตีพิมพ์ในวารสาร "Philosophical Magazine" ในเดือนมกราคมปีถัดมา จากหลักการที่แสดงในบทความชี้แจงนี้ เชลล์เชือเพลิงได้ถูกสร้างขึ้นโดยนักวิทยาศาสตร์ชาว Welsh ชื่อ Sir William Grove โดยต้นแบบของเขามาได้ถูกเผยแพร่ในปี ค.ศ. 1843 จนกระทั่งในปี ค.ศ. 1959 วิศวกรชาวอังกฤษชื่อ Francis Thomas Bacon ได้สร้างเชลล์เชือเพลิงขนาด 5 กิโลวัตต์ได้สำเร็จ ในปีเดียวกันนี้เองกลุ่มวิจัยที่นำโดย Harry Ihrig ได้ผลิตแทรกเตอร์ขนาด 15 กิโลวัตต์ (ภาพที่ 2.2) ให้กับบริษัท Allis-Chalmers ซึ่งได้นำไปแสดงทั่วประเทศสหรัฐอเมริกา เชลล์เชือเพลิงนี้ใช้ไฟแทนเชื้อมไฮดรอกไซด์เป็นอิเล็กโทรไลต์ ใช้ไฮโดรเจนอัดและแก๊สออกซิเจนเป็นสารตั้งต้น ในปีเดียวกันนี้เองที่ Bacon และทีมงานได้สร้างเครื่องผลิตไฟฟ้าขนาด 5 กิโลวัตต์ที่ใช้งานได้จริงสำหรับเครื่องเชื้อม ซึ่งนำไปสู่การจดสิทธิบัตรของ Bacon ในช่วง ค.ศ. 1960 - 1970 หลักการเดียวกันนี้ถูกนำไปใช้ในโครงการอวกาศของสหรัฐเพื่อผลิตน้ำดื่มและพลังงานในยานอวกาศ ต้นทุนของเชลล์เชือเพลิงในช่วงต้นนี้ค่อนข้างสูงมาก เพราะค่าวัสดุที่แพง นอกจากนี้ยังทำงานในอุณหภูมิที่สูงมากจนเป็นปัญหาในการประยุกต์ อย่างไรก็ตามเชลล์เชือเพลิงยังเป็นตัวเลือกที่ดีเนื่องจากเชือเพลิงที่หาง่ายและการทำงานที่สะอาด [6]



ภาพที่ 2.2 รถแทรกเตอร์เชลล์เชือเพลิง ผลิตโดยบริษัท Allis-Chalmers [7]

ในช่วงปี ค.ศ. 1980 - 1990 Geoffrey Ballard เจ้าของบริษัท Ballard Power Systems Inc. ผู้ผลิตเชลล์เชือเพลิงในแคนาดาศึกษาการใช้เนฟิออน (Nafion) ซึ่งเป็นวัสดุจำพวกพอลิเมอร์ (Polymer) ที่มีราคาถูกและทนทานเป็นสารพาประจุในเชลล์เชือเพลิงพื้นอิเล็กทรอนิกส์ และศึกษาการลด

ปริมาณตัวเร่งปฏิกิริยาจำพวกโลหะมีค่า (Precious metal) ซึ่งมีราคาแพง เช่น แพลทินัม ทำให้อนาคตการใช้เซลล์เชือเพลิงสำหรับผู้บริโภคความเป็นไปได้มากขึ้น เนื่องจากราคาน้ำดื่มนั้นเอง

2.2 ชนิดของเซลล์เชือเพลิง

เซลล์เชือเพลิงส่วนใหญ่ใช้แก๊สไฮโดรเจนเป็นเชือเพลิง ไฮโดรเจนสามารถผลิตได้จากกระบวนการเปลี่ยนรูปของสารประกอบไฮโดรคาร์บอน แต่ในทางปฏิบัติยังคงมีปัญหารื่องประสิทธิภาพที่ต่ำกว่าทางทฤษฎี เพราะมีการสูญเสียในกระบวนการปรับปรุงและเนื่องจากสมบัติทางเทอร์โมไดนามิกของไฮโดรเจนเมื่อเทียบกับไฮโดรคาร์บอน

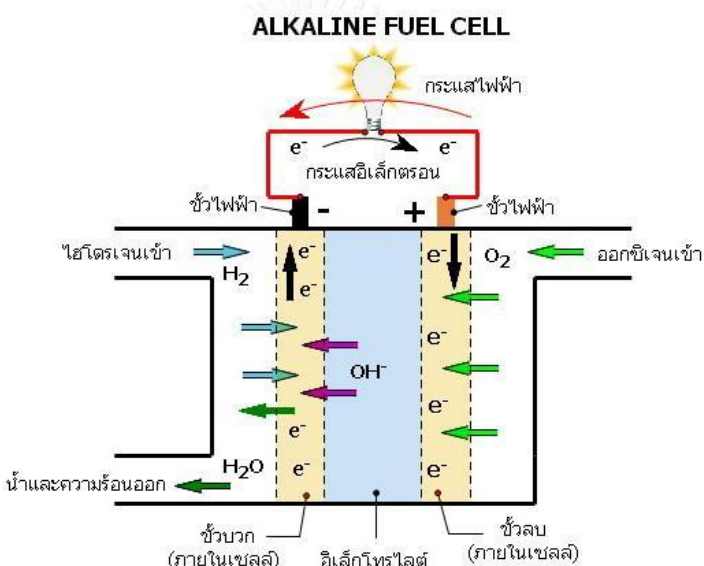
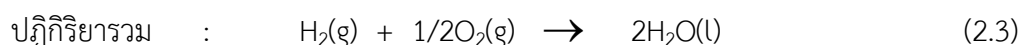
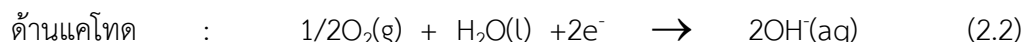
การจำแนกเซลล์เชือเพลิงสามารถทำได้ 3 ประเภท คือการจำแนกตามชนิดของอิเล็กโทรไลต์ การจำแนกตามชนิดของสารตั้งต้นที่ใช้ในเซลล์ และการจำแนกตามอุณหภูมิในการทำงาน กล่าวคือ การจำแนกตามชนิดของอิเล็กโทรไลต์ที่ใช้ เช่น สารละลายกรด สารละลายเบสหรือแอลคาไลน์ และอิเล็กโทรไลต์ของแข็งและของเหลว การจำแนกตามชนิดของสารตั้งต้น เช่น เมทานอล (CH_3OH) แก๊สไฮโดรเจน (H_2) เป็นต้น และการจำแนกตามอุณหภูมิในการทำงาน คืออุณหภูมิต่ำ (น้อยกว่า 150 องศาเซลเซียส) เช่น เซลล์เชือเพลิงพื้นอิฐมูน อุณหภูมิปานกลาง (150 - 250 องศาเซลเซียส) เช่น เซลล์เชือเพลิงแบบกรดฟอสฟอริก และอุณหภูมิสูง (มากกว่า 650 องศาเซลเซียส) เช่น เซลล์เชือเพลิงแบบออกไซด์แข็ง แต่เกณฑ์ที่นิยมใช้ในการจำแนกชนิดของเซลล์เชือเพลิงคือการจำแนกตามชนิดของอิเล็กโทรไลต์ [8] ซึ่งมีรายละเอียดดังนี้

2.2.1 เซลล์เชือเพลิงแบบแอลคาไลน์

เซลล์เชือเพลิงแบบด่างหรือเซลล์เชือเพลิงแบบแอลคาไลน์ (Alkali fuel cell; AFC) เป็นหนึ่งในเทคโนโลยีเซลล์เชือเพลิงที่มีการพัฒนาในรุ่นแรก ๆ และเป็นเซลล์เชือเพลิงชนิดแรกที่ใช้กันมากในโครงการอวกาศของประเทศไทยและอเมริกา เพื่อผลิตพลังงานไฟฟ้าและน้ำบนยานอวกาศ เซลล์เชือเพลิงชนิดนี้ใช้สารละลายโพแทสเซียมไฮดรอกไซด์เป็นอิเล็กโทรไลต์ สามารถใช้โลหะราคาถูกหลายชนิดเป็นตัวเร่งปฏิกิริยาที่ขั้วบวกและขั้วลบ เซลล์เชือเพลิงแบบด่างทำงานที่อุณหภูมิสูงระหว่าง 100 - 250 องศาเซลเซียส อย่างไรก็ตามได้มีการออกแบบและพัฒนาเซลล์เชือเพลิงแบบด่างรุ่นใหม่ให้สามารถทำงานที่อุณหภูมิต่ำลงมาที่ประมาณ 23 - 70 องศาเซลเซียส

ประสิทธิภาพของเซลล์เชือเพลิงแบบด่างค่อนข้างสูงประมาณร้อยละ 60 จีนอยู่กับอัตราการเกิดปฏิกิริยาเคมีไฟฟ้าในเซลล์ ข้อด้อยของเซลล์เชือเพลิงชนิดนี้คืออายุการใช้งานสั้นเนื่องจากการปนเปื้อนของแก๊สคาร์บอนไดออกไซด์ในเชือเพลิงจะทำให้อายุการใช้งานของตั้งเร่งปฏิกิริยาสั้นลง ทำให้แก๊สไฮโดรเจนและแก๊สออกซิเจนที่ใช้ต้องมีความบริสุทธิ์สูง กระบวนการที่ทำให้แก๊สบริสุทธิ์นี้มีราคาแพง ส่งผลให้ราคาของเซลล์เชือเพลิงสูงตามไปด้วย

การออกแบบเซลล์เชื้อเพลิงแบบด่าง แสดงดังภาพที่ 2.3 ปฏิกิริยาเคมีไฟฟ้าเกิดขึ้นโดยไฮดรอกไซด์ออกอน (OH^-) จะเคลื่อนที่จากขั้วลบไปยังขั้วบวก และทำปฏิกิริยากับไฮโดรเจนได้น้ำและอิเล็กตรอนเป็นผลิตภัณฑ์ อิเล็กตรอนที่เกิดขึ้นที่ขั้วบวกนี้ใช้เป็นพลังงานไฟฟ้าให้กับวงจรไฟฟ้า ภายนอกเซลล์และกลับไปที่ขั้วลบภายนอกเซลล์ ที่ขั้วลบนี้อิเล็กตรอนจะทำปฏิกิริยากับออกซิเจนและน้ำเพื่อผลิตไฮดรอกไซด์ออกอน ดังปฏิกิริยาที่ (2.1) - (2.3)

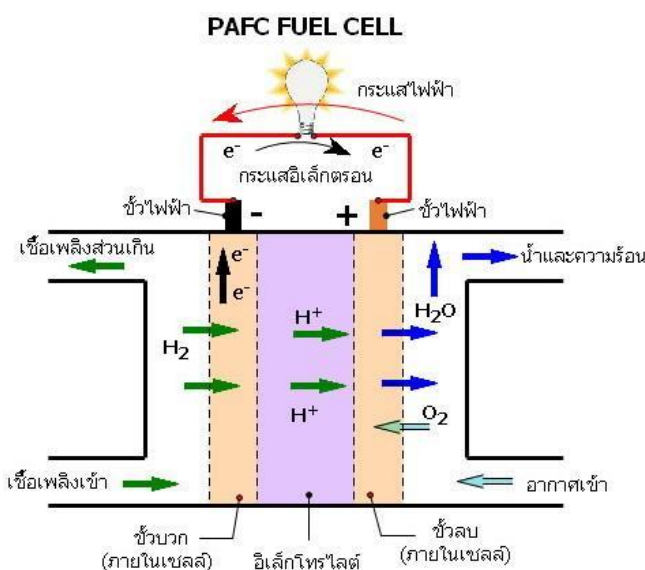
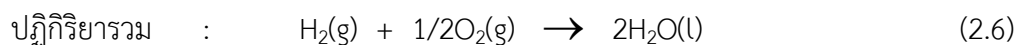
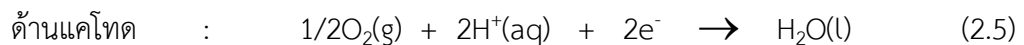
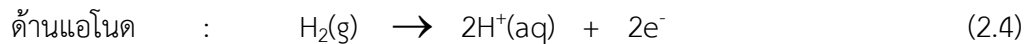


ภาพที่ 2.3 หลักการทำงานของเซลล์เชื้อเพลิงแบบแอลคาไลน์ [8]

2.2.2 เซลล์เชื้อเพลิงแบบกรดฟอสฟอริก

เซลล์เชื้อเพลิงแบบกรดฟอสฟอริก (Phosphoric acid fuel cells; PAFC) ใช้กรดฟอสฟอริกเข้มข้นเป็นอิเล็กโทรไลต์ กรดจะถูกบรรจุอยู่ในเมตทริกซ์ของซิลิกอนคาร์บีด และใช้คาร์บอนพรมเป็นขั้วไฟฟ้าซึ่งบรรจุแพลทินัมเป็นตัวเร่งปฏิกิริยา เซลล์เชื้อเพลิงชนิดนี้ทำงานที่อุณหภูมิระหว่าง 150 - 220 องศาเซลเซียส กรดฟอสฟอริกเข้มข้นมีความเสถียรเมื่อทำงานที่อุณหภูมิในช่วงนี้ เนื่องจากที่อุณหภูมิต่ำแก๊สคาร์บอนมอนอกไซด์สามารถเข้าทำลายตัวเร่งปฏิกิริยาที่ขั้วบวก (ปกติคือแพลทินัม) และการนำไฮเดรตในอิเล็กโทรไลต์ไม่ได้พิเศษ เทคโนโลยีเซลล์เชื้อเพลิงแบบกรดฟอสฟอริกที่ใช้ในปัจจุบันเป็นเทคโนโลยีที่ได้พัฒนาเต็มที่แล้ว ประสิทธิภาพของเซลล์เชื้อเพลิงชนิดนี้อยู่ที่ร้อยละ 85 เมื่อใช้เพื่อ

การผลิตพลังงานไฟฟ้าและพลังงานความร้อนร่วมกัน แต่จะมีประสิทธิภาพลดลงเมื่อใช้ผลิตกระแสไฟฟ้าเพียงอย่างเดียว (ร้อยละ 37 - 42) ปฏิกิริยาที่เกิดขึ้นภายในเซลล์เชื้อเพลิงชนิดนี้แสดงได้ดังปฏิกิริยาที่ (2.4) – (2.6) และภาพที่ 2.4



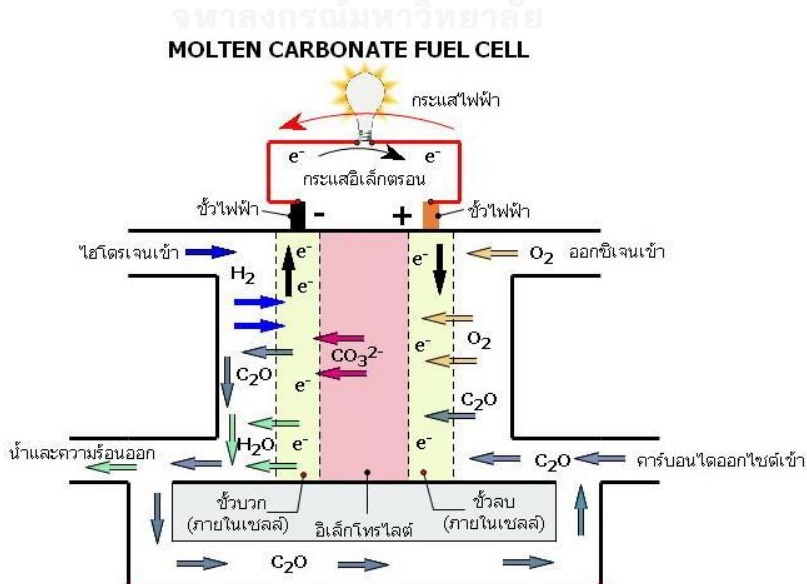
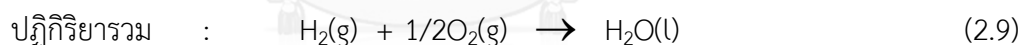
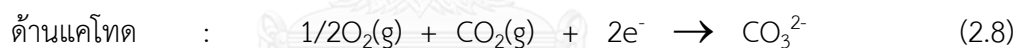
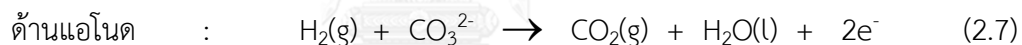
ภาพที่ 2.4 หลักการทำงานของเซลล์เชื้อเพลิงแบบกรดฟอสฟอรัส [8]

CHULALONGKORN UNIVERSITY

2.2.3 เซลล์เชื้อเพลิงแบบเกลือคาร์บอเนตหลอม

ปัจจุบันเซลล์เชื้อเพลิงแบบเกลือคาร์บอเนตหลอม (Molten carbonate fuel cell; MCFC) กำลังถูกพัฒนาเพื่อใช้กับแก๊สธรรมชาติและถ่านหินสำหรับโรงไฟฟ้า เพื่อจ่ายพลังงานไฟฟ้าให้กับบ้านเรือน โรงงานอุตสาหกรรมและการใช้งานในกิจกรรมทางการ เชลล์เชื้อเพลิงแบบเกลือคาร์บอเนตหลอมเป็นเซลล์เชื้อเพลิงที่ทำงานที่อุณหภูมิสูง อิเล็กโทรไลต์ที่ใช้คือเกลือคาร์บอเนตละลายบรรจุในเมทริกซ์เซรามิกหล่อเย็นมอูลูมิเนียมออกไซด์ (LiAlO_2) ซึ่งเนื้อเยื่าปฏิกิริยาเคมี เนื่องจากเซลล์เชื้อเพลิงชนิดนี้ทำงานที่อุณหภูมิสูงประมาณ 650 องศาเซลเซียส ขึ้นไป ดังนั้นจึงสามารถใช้โลหะที่มีราคาถูกมาเป็นตัวเร่งปฏิกิริยาที่ขั้วบวกและขั้วลบได้ ทำให้ต้นทุนในการผลิตเซลล์เชื้อเพลิงต่ำลง เซลล์เชื้อเพลิงแบบเกลือคาร์บอเนตหลอมไม่ต้องใช้อุปกรณ์ปรับปรุงเชื้อเพลิงจากภายนอก เพื่อเปลี่ยนเชื้อเพลิงให้เป็นแก๊สไฮโดรเจน เนื่องจากเซลล์เชื้อเพลิงแบบเกลือคาร์บอเนตหลอมทำงานที่อุณหภูมิ

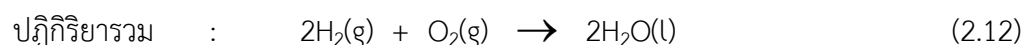
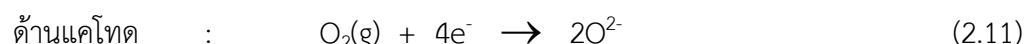
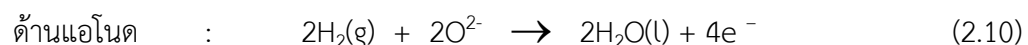
สูงโดยเชื้อเพลิงจะถูกเปลี่ยนเป็นไฮโดรเจนภายในตัวเซลล์เชื้อเพลิงเองด้วยกระบวนการเปลี่ยนรูปภายใน (Internal reforming) ทำให้ราคากลดลง การปรับปรุงประสิทธิภาพเป็นเหตุผลอีกอย่างหนึ่งของเซลล์เชื้อเพลิงแบบเกลือคาร์บอนเนทหลอมที่ทำให้มีข้อได้เปรียบเหนือเซลล์เชื้อเพลิงแบบกรดฟอสฟอริก เซลล์เชื้อเพลิงแบบเกลือคาร์บอนเนทหลอมสามารถทำให้มีประสิทธิภาพประมาณร้อยละ 60 และเมื่อนำความร้อนเหลือทิ้งกลับมาใช้ประโยชน์ ประสิทธิภาพรวมของเชื้อเพลิงอาจสูงถึงร้อยละ 85 ข้อเสียของเซลล์เชื้อเพลิงแบบเกลือคาร์บอนเนทหลอมในปัจจุบันคืออายุการใช้งานสั้น เนื่องจากเซลล์ทำงานที่อุณหภูมิสูงและใช้อิเล็กโทรไลต์ที่กัดกร่อน ปัจจุบันนักวิทยาศาสตร์กำลังคิดค้นวัสดุที่ทนทานต่อการกัดกร่อนสำหรับทำส่วนประกอบและออกแบบเซลล์เชื้อเพลิงให้มีอายุการใช้งานที่นานขึ้นโดยประสิทธิภาพไม่ลดลง เซลล์เชื้อเพลิงแบบเกลือคาร์บอนเนทหลอมเหลวใช้เกลืออลิเอนิมโพแทสเซียมคาร์บอนे�ต หรืออลิเอนิมโซเดียมคาร์บอนเนทหลอมละลายเป็นอิเล็กโทรไลต์ เมื่อให้ความร้อนจนอุณหภูมิประมาณ 650 องศาเซลเซียส เกลือเหล่านี้จะหลอมละลายและผลิตไอออน คาร์บอนเนตซึ่งให้ลักษณะขั้วลบไปยังขั้วบวกและรวมกับไฮโดรเจนได้น้ำ คาร์บอนไดออกไซด์และอิเล็กตรอน (ภาพที่ 2.5) อิเล็กตรอนเหล่านี้จะเคลื่อนที่ผ่านไปตามวงจรไฟฟ้าภายนอกและกลับไปที่ขั้วลบสร้างพลังงานไฟฟ้าให้กับอุปกรณ์ไฟฟ้าที่ผ่าน ดังปฏิกิริยาที่ (2.7) – (2.9)

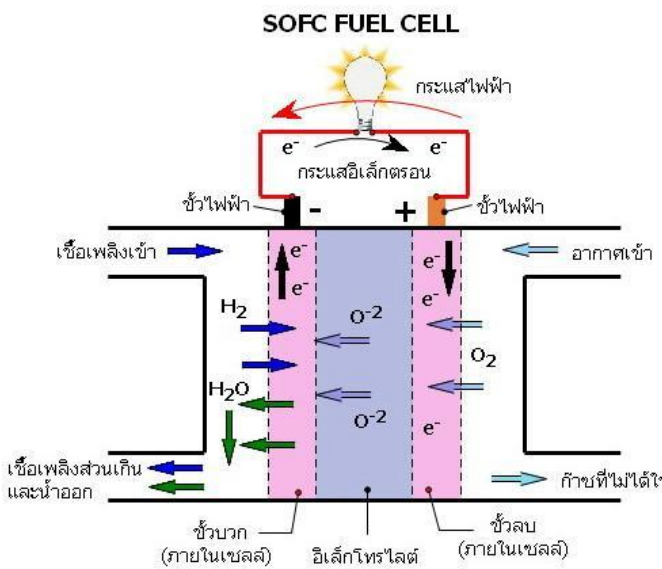


ภาพที่ 2.5 หลักการทำงานของเซลล์เชื้อเพลิงชนิดเกลือคาร์บอนเนทหลอม [8]

2.2.4 เชลล์เชื้อเพลิงแบบออกไซด์ของแมง

เชลล์เชื้อเพลิงแบบออกไซด์ของแมง (Solid oxide fuel cell; SOFC) ใช้เซรามิกซึ่งทำจากออกไซด์ของโลหะ เช่น เชอร์โคเนียมออกไซด์ (Zirconium Oxide) ที่เจือด้วยยิตเตรียม (Yttrium) จำนวนเล็กน้อยเป็นอิเล็กโทรไลต์ นอกจานนี้มีคู่ออกไซด์อื่นที่ใช้ทำหน้าที่เป็นอิเล็กโทรไลต์ได้อีก เช่น เชอร์โคเนียมออกไซด์และแคลเซียมออกไซด์ อิเล็กโทรไลต์แข็งเคลือบด้วยวัสดุพรุนชนิดพิเศษทั้งสองข้างทำเป็นขั้วไฟฟ้า เชลล์ชนิดนี้ทำงานที่อุณหภูมิประมาณ 1,000 องศาเซลเซียส ประสิทธิภาพการผลิตกำลังไฟฟ้าสามารถทำได้ถึงร้อยละ 60 และถ้านำความร้อนเหลือทิ้งกลับมาใช้ร่วมด้วยประสิทธิภาพจะเพิ่มเป็นร้อยละ 85 เนื่องจากเชลล์ทำงานที่อุณหภูมิสูงทำให้มีจำเป็นต้องใช้โลหะราคาแพงเป็นตัวเร่งปฏิกิริยา และการเปลี่ยนเชื้อเพลิงเป็นกระบวนการที่เกิดขึ้นภายในเชลล์ทำให้สามารถเลือกใช้เชื้อเพลิงได้หลากหลายโดยไม่ต้องเพิ่มตัวปรับปรุงเชื้อเพลิงภายนอกเข้ากับระบบ ทำให้ราคาของระบบเชลล์เชื้อเพลิงแบบออกไซด์ของแมงลดลง นอกจานนี้เชลล์เชื้อเพลิงแบบออกไซด์ของแมงยังเป็นเชลล์เชื้อเพลิงที่ทนต่อกำมะถันมากที่สุดและไม่ถูกทำลายด้วยแก๊สคาร์บอนมอนอกไซด์ ดังนั้นแก๊สจากถ่านหินสามารถใช้ได้กับเชลล์เชื้อเพลิงชนิดนี้ แต่การทำงานที่อุณหภูมิสูงของเชลล์ทำให้เกิดข้อเสียคือเริ่มต้นจ่ายพลังงานได้ช้า ต้องการอวนวนป้องกันการสูญเสียความร้อนจึงเหมาะสมสำหรับเป็นโรงงานไฟฟ้าที่อยู่กับที่ (Stationary power plant) ไม่เหมาะสมสำหรับการขนส่งหรืออุปกรณ์ไฟฟ้าที่ต้องมีการเคลื่อนย้าย นอกจากนั้นยังทำให้วัสดุที่ใช้สร้างเชลล์เชื้อเพลิงมีอายุการใช้งานสั้นลง ปัจจุบันนักวิทยาศาสตร์กำลังค้นคว้าและพัฒนาเชลล์เชื้อเพลิงแบบออกไซด์ของแมงที่ทำงานที่อุณหภูมิต่ำกว่า 800 องศาเซลเซียส เพื่อลดปัญหาเกี่ยวกับอายุการใช้งานและราคาของเชลล์เชื้อเพลิงอย่างไรก็ได้กำลังไฟฟ้าที่ได้จะลดลงด้วย ปฏิกิริยาที่เกิดขึ้นภายในเชลล์เชื้อเพลิงชนิดนี้แสดงได้ดังปฏิกิริยาที่ (2.10) – (2.12) และภาพที่ 2.6

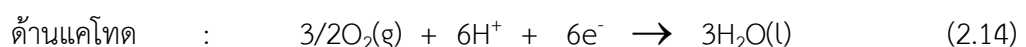
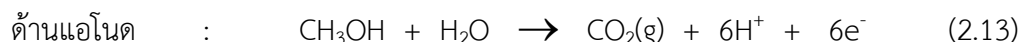


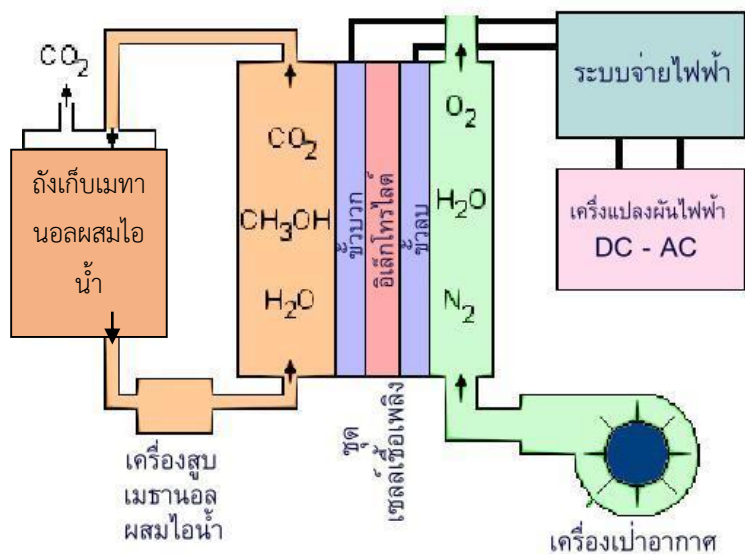
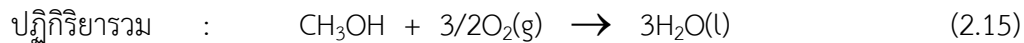


ภาพที่ 2.6 หลักการทำงานของเซลล์เชื้อเพลิงแบบออกไซเด็ดของแข็ง [8]

2.2.5 เซลล์เชื้อเพลิงแบบเมทานอลโดยตรง

เซลล์เชื้อเพลิงส่วนใหญ่ไฮโดรเจนเป็นเชื้อเพลิงที่สามารถป้อนเข้าสู่ระบบของเซลล์เชื้อเพลิงได้โดยตรงหรือสามารถผลิตขึ้นภายในระบบเซลล์เชื้อเพลิงโดยการเปลี่ยนรูปเชื้อเพลิงไฮโดรเจนเข้มข้น เช่น เมทิลแอลกอฮอล์ เอทิลแอลกอฮอล์ สารประกอบไฮดรคารบอน เซลล์เชื้อเพลิงแบบเมทานอลโดยตรง (Direct methanol fuel cell; DMFC) เป็นเซลล์เชื้อเพลิงที่ใช้เมทานอลบริสุทธิ์ผสมกับไอน้ำเป็นเชื้อเพลิงโดยจะป้อนเข้าสู่ขั้นวิภาคภายในเซลล์เชื้อเพลิงโดยตรง เซลล์เชื้อเพลิงแบบเมทานอลโดยตรงไม่มีปัญหาเกี่ยวกับถังเก็บเชื้อเพลิงที่พับในเชื้อเพลิงบางชนิด เมทานอลมีความหนาแน่นพลังงานสูงกว่าไฮโดรเจนแต่น้อยกว่าแก๊สโซลินหรือไนโตรเจนดีเซล การขนส่งทำได้ง่ายสามารถจัดหาให้กับประชาชนด้วยการใช้ระบบการขนส่งที่มีอยู่ในปัจจุบัน เพราะเป็นของเหลวเหมือนน้ำมัน เทคโนโลยีของเซลล์เชื้อเพลิงแบบเมทานอลโดยตรงยังใหม่เมื่อเทียบกับเซลล์เชื้อเพลิงที่ใช้ไฮโดรเจนบริสุทธิ์ การวิจัยและพัฒนาเซลล์เชื้อเพลิงแบบใช้เมทานอลโดยตรงยังล้าหลังกว่าเซลล์เชื้อเพลิงชนิดอื่นประมาณ 3 - 4 ปี ปฏิกิริยาที่เกิดขึ้นในเซลล์เชื้อเพลิงคือ เมทานอลแปรผันเป็นคาร์บอนไดออกไซด์และไฮโดรเจนที่ขับ梧ภายในเซลล์ (ภาพที่ 2.7) จากนั้นไฮโดรเจนจะทำปฏิกิริยากับออกซิเจน ดังปฏิกิริยาที่ (2.13) – (2.15)

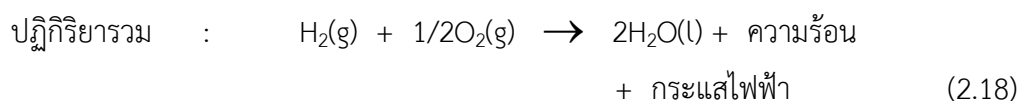
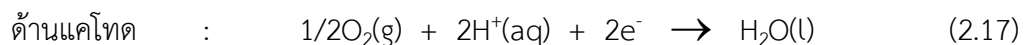
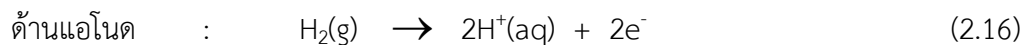




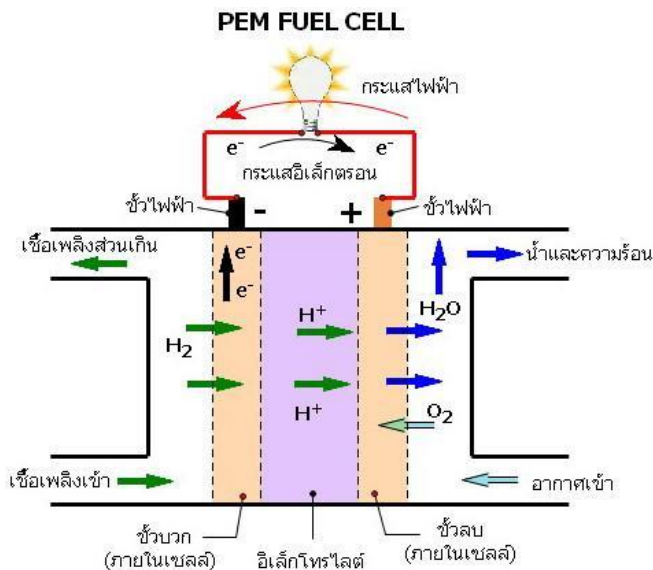
ภาพที่ 2.7 หลักการทำงานของเซลล์เชื้อเพลิงแบบเมทานอลโดยตรง [8]

2.2.6 เซลล์เชื้อเพลิงแบบเยื่อแผ่นแลกเปลี่ยนประตอนหรือเซลล์เชื้อเพลิงพืวอีเอ็ม

เซลล์เชื้อเพลิงพืวอีเอ็มเป็นเซลล์เชื้อเพลิงที่ให้ความหนาแน่นพลังงานสูงและมีน้ำหนักเบาและปริมาตรน้อยเมื่อเทียบกับเซลล์เชื้อเพลิงชนิดอื่น เซลล์เชื้อเพลิงพืวอีเอ็มใช้พอลิเมอร์แข็งเป็นอิเล็กโทรลิต และใช้แท่งคาร์บอนพรุนเป็นขั้วไฟฟ้าซึ่งบรรจุแพลทินัมเป็นตัวเร่งปฏิกิริยาในการแยกอิเล็กตรอนและประตอนของไฮโดรเจน เซลล์เชื้อเพลิงชนิดนี้ต้องการไฮโดรเจน ออกซิเจนจากอากาศ และน้ำเท่านั้นในการทำงาน ไม่ต้องใช้กรดหรือด่างเหมือนเซลล์เชื้อเพลิงบางชนิด เซลล์เชื้อเพลิงพืวอีเอ็มทำงานที่อุณหภูมิต่ำประมาณ 80 องศาเซลเซียส ซึ่งเป็นอุณหภูมิที่ทำให้เซลล์เชื้อเพลิงเริ่มต้นทำงานได้เร็ว ไฮโดรเจนในแหล่งเข้าสู่เซลล์ทางขั้วบวกหรือแอโนดและถูกแยกออกเป็นประตอนและอิเล็กตรอนประตอนจะเคลื่อนที่ผ่านอิเล็กโทรลิตข้ามไปยังขั้วลบในเซลล์หรือแคคโทด ในขณะที่อิเล็กตรอนไหลผ่านวงจรไฟฟ้าภายนอกป้อนกำลังให้กับอุปกรณ์ไฟฟ้า ออกซิเจนในรูปแบบของอากาศถูกป้อนเข้าทางด้านขั้วลบในเซลล์รวมเข้ากับอิเล็กตรอนและไฮโดรเจนในอนุญาตเป็นน้ำ ดังภาพที่ 2.8 ปฏิกิริยาที่เกิดขึ้นที่ขั้วไฟฟ้าในเซลล์แสดงดังปฏิกิริยาที่ (2.16) – (2.18)



ข้อดีของเซลล์เชื้อเพลิงชนิดนี้คือ มีการสึกหรอของส่วนประกอบภายในเซลล์น้อยเนื่องจากทำงานที่อุณหภูมิต่ำ อายุการใช้งานสูง แต่การใช้แพลทินัมเป็นตัวเร่งปฏิกิริยาทำให้มีราคาแพง และมีความไวต่อแก๊สคาร์บอนมอนอกไซด์ ดังนั้นจึงต้องมีกระบวนการเสริมเพื่อลดปริมาณแก๊สคาร์บอนมอนอกไซด์ในแก๊สไฮโดรเจนก่อนป้อนเข้าสู่เซลล์เชื้อเพลิงทำให้ราคาเพิ่มขึ้น ปัจจุบันนักวิจัยกำลังคิดค้นตัวเร่งปฏิกิริยาที่มีความทนต่อแก๊สคาร์บอนมอนอกไซด์ เช่น ตัวเร่งปฏิกิริยา PtRu/C



ภาพที่ 2.8 หลักการทำงานของเซลล์เชื้อเพลิงพีอีเอ็ม [8]

ตารางที่ 2.1 แสดงชนิดและสมบัติของเซลล์เชื้อเพลิงประเภทต่างๆ ได้แก่ ชนิดประจุที่เคลื่อนที่ อุณหภูมิในการใช้งาน และการใช้งาน [9, 10]

ตารางที่ 2.1.ชนิดและสมบัติของเซลล์เชื้อเพลิง

ชนิดของเซลล์เชื้อเพลิง	ประจุเคลื่อนที่	ทำงาน	การประยุกต์ (องค์เชลเชียส)	อุณหภูมิในการ
เซลล์เชื้อเพลิงแบบแบล็อก ไลน์	OH^-	50 - 200	ใช้ในยานขนส่งมวลชน	
เซลล์เชื้อเพลิงแบบกรด ฟอสฟอริก	H^+	170 - 200	สามารถผลิตกำลังไฟฟ้า ได้สูงถึง 200 กิโลวัตต์	
เซลล์เชื้อเพลิงแบบออกไซด์ ของไฮจีน	O^{2-}	500 - 1000	เหมาะสมสำหรับระบบทุก ขนาด	
เซลล์เชื้อเพลิงแบบเกลือ คาร์บอนเนตหลอม	CO_3^{2-}	500 - 700	เหมาะสมสำหรับระบบ ขนาดกลางไปจนถึง ขนาดใหญ่	
เซลล์เชื้อเพลิงพีอีเอ็ม	H^+	50 - 100	เหมาะสมสำหรับใช้ใน ยานพาหนะและอุปกรณ์ เคลื่อนที่ต่างๆ	
เซลล์เชื้อเพลิงแบบเมทanol โดยตรง	H^+	90	เหมาะสมสำหรับใช้ใน ยานพาหนะและอุปกรณ์ เคลื่อนที่ต่างๆ	

2.3 ส่วนประกอบของเซลล์เชื้อเพลิงพีอีเอ็ม

เซลล์เชื้อเพลิงพีอีเอ็มประกอบด้วยชั้นไฟฟ้า 2 ชั้น คือ ชั้นแอลูминิเดและชั้นแคโคโทด ซึ่งชั้นแอลูминิเดทำหน้าที่เป็นขั้วลบและจะส่งอิเล็กตรอนไปยังชั้นแคโคโทดที่ทำหน้าที่เป็นขั้วบวกโดยผ่านวงจรภายในก่อส่วนประกอบของเซลล์เชื้อเพลิงพีอีเอ็ม แบ่งออกเป็น 3 ส่วนสำคัญ ได้แก่ ชั้นไฟฟ้าประกอบเมมเบรนหรือเอ็มอิเอ (Membrane Electrode Assembly, MEA) และชั้นแพร์เก็ส (Flow field plate) และวัสดุกันร้อนหรือปะเก็น (Gasket) โดยที่เอ็มอิเอประกอบไปด้วย 3 ส่วนใหญ่ ได้แก่ เมมเบรน ชั้นแพร์เก็ส และตัวเร่งปฏิกิริยา ซึ่งจะกล่าวถึงรายละเอียดที่เกี่ยวข้องดังนี้

2.3.1 ข้าไฟฟ้าประกอบเมมเบรน

2.3.1.1 เมมเบรน

เมมเบรน (Membrane) เป็นองค์ประกอบที่สำคัญอย่างหนึ่งของเซลล์เชื้อเพลิงพืชีวีเอ็มในการขับเคลื่อนให้เซลล์ทำงานได้อย่างมีประสิทธิภาพ ในเซลล์เชื้อเพลิงเมมเบรนจะยึดติดกับข้าไฟฟ้าโดยทั่วไปแล้วสารอิเล็กโทรไลต์ คือสารที่ละลายน้ำแล้วแตกตัวให้อ่อนบวกรถไอนอนลบ แต่สำหรับอิเล็กโทรไลต์เมมเบรนแล้วเมื่อมีการคัดซับน้ำขึ้นก็จะเกิดการแตกตัวเช่นกัน เพียงแต่ไอนอนลบที่เกิดขึ้นจะอยู่บนเมทริกซ์ของเมมเบรน ดังนั้นถ้าเป็นพอลิเมอร์อิเล็กโทรไลต์เมมเบรนก็มักจะหมายถึงเมมเบรนแลกเปลี่ยนไอ่อน (Ion-exchange membrane) นั่นเอง

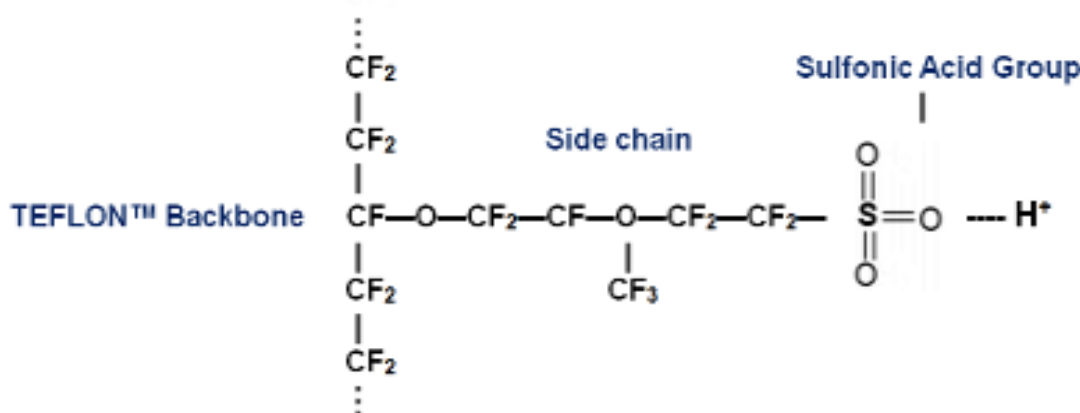
พอลิเมอร์อิเล็กโทรไลต์เมมเบรนทำหน้าที่ป้องกันไม่ให้โมเลกุลของแก๊สไฮโดรเจนสัมผัสกับแก๊สออกซิเจนและเกิดปฏิกิริยาขึ้นโดยตรง พอลิเมอร์เมมเบรนจะยอมให้ประจุบวก (โปรตอน) เคลื่อนที่ผ่านจากฝั่งแอโนดไปยังฝั่งแค็ตodeท่านั้น นอกจากนี้พอลิเมอร์อิเล็กโทรไลต์เมมเบรนจะแสดงสมบัติเป็นฉนวนไฟฟ้าเนื่องจากเป็นพอลิเมอร์อินทรีย์ ดังนั้นอิเล็กตรอนที่เกิดขึ้นจะเคลื่อนที่ผ่านเส้นลวดโลหะไปยังอีกด้านหนึ่งของเซลล์เพื่อให้ครบวงจรนั้นเอง สิ่งเดียวกันโดยเฉพาะพวกไอนอนของโลหะมักจะมีผลต่อสภาพนำโปรตอนของเมมเบรน ถ้าไอนอนของโลหะเคลื่อนที่ไปยังเมมเบรนมันจะทำหน้าที่เป็นประจุที่เคลื่อนที่แทนโปรตอนมีผลทำให้สภาพนำโปรตอนของเมมเบรนลดลง

เมมเบรนสำหรับเซลล์เชื้อเพลิงพืชีวีเอ็มต้องมีสภาพนำโปรตอนสูง มีสมบัติขวางกั้น (Barrier property) ที่ดี มีความแข็งแรงเชิงกลสูง มีความทนทานต่อความร้อนและสารเคมี และเป็นฉนวนไฟฟ้า เมมเบรนจะต้องมีอันตรกิริยากับน้ำ และมีสภาพนำไอนอนดีในภาวะที่มีความชื้นและต้องยอมให้มีการส่งผ่านน้ำที่เพียงพอเพื่อป้องกันการเกิดโพลาไรเซชัน ซึ่งปัจจัยเหล่านี้จะมีผลต่อประสิทธิภาพของการทำงานของเซลล์เชื้อเพลิง

การส่งผ่านของโปรตอนในเซลล์เชื้อเพลิงจะเกิดได้อย่างมีประสิทธิภาพด้วยโมเลกุลของน้ำที่ขับเคลื่อนไปในระหว่างสายโซ่ในเมมเบรน ในขณะที่เซลล์เชื้อเพลิงทำงานโมเลกุลของไฮโดรเจนจะถูกทำให้แตกตัวออกที่ข้าไฟฟ้าและอิเล็กตรอน (ปฏิกิริยาออกซิเดชัน) เมื่อโปรตอนไฟล์ผ่านเมมเบรน และอิเล็กตรอนไฟล์ไปตามวงจรทำให้เกิดความต่างศักย์ไฟฟ้าและนำไปสู่กระแสไฟฟ้าในที่สุด ดังนั้นในเมมเบรนจึงต้องมีน้ำเพื่อให้เกิดการทำงานของไฮโดรเจนไอนอนผ่านเมมเบรนไปได้ ข้อจำกัดนี้ทำให้เมมเบรนชนิดนี้ไม่สามารถทำงานได้ที่อุณหภูมิสูงกว่าจุดเดือดของน้ำได้ เนื่องจากน้ำจะระเหยออกไปทำให้สภาพนำโปรตอนของเมมเบรนลดลง ในทางตรงกันข้ามถ้ามีน้ำมากเกินไปก็จะทำให้น้ำท่วมเซลล์

เมมเบรนที่นิยมใช้ในเซลล์เชื้อเพลิงพืชีวีเอ็ม คือ เมมเบรนเปอร์ฟลูอโรมัลฟonic (Perfluorosulfonic membrane) หรือมีชื่อเชิงพาณิชย์ว่าเนฟิออนเมมเบรน (Nafion membrane) เป็นพอลิเมอร์สมรรถว่างเทฟลอน (Tetrafluoroethylene, Teflon) กับ Perfluoro-3,-6-dioxa-4-

methyl-7-octene sulfonic acid โครงสร้างของเมมเบรนเปอร์ฟลูอโรมัลโพนิกในส่วนของเทฟлонซึ่งเป็นส่วนที่ไม่ชอบน้ำ (Hydrophobic part) จะมีพันธะระหว่างฟลูอิเดกทอนกับการบอนซึ่งเป็นพันธะที่มีความแข็งแรง (ภาพที่ 2.9) จึงทำให้พอลิเมอร์ชนิดนี้มีความทนทานต่อสารเคมีและการทำงาน จากโครงสร้างพบว่าโมเลกุลของกรดชัลโ芬ิกที่สร้างพันธะที่ปลายของพอลิเมอร์เป็นหมู่ชัลโ芬ेट (SO_3^-) ซึ่งเป็นส่วนที่ชอบน้ำ (Hydrophilic part) มีความสามารถในการดูดซึมน้ำโมเลกุลของน้ำไว้โดยบริเวณที่เกิดการดูดซึมน้ำจะมีความแข็งแรงของพันธะระหว่างหมู่ชัลโ芬ेटกับประตอน (H^+) อ่อนทำให้ประตอนสามารถเคลื่อนที่ผ่านเมมเบรนได้ [11]



ภาพที่ 2.9 โครงสร้างของ Perfluorosulfonic membrane หรือ Nafion membrane [12]

เนฟิอ่อนเมมเบรน (Nafion membrane) มีขนาดและความหนาแตกต่างกันโดยระบุด้วยตัวเลข 3 หรือ 4 ตัว โดยตัวเลข 2 ตัวแรกแทนค่าของน้ำหนักสมมูล (Equivalent weight) คูณด้วย 100 และตัวเลขสุดท้ายหรือสองตัวสุดท้ายแทนค่าของความหนาของเนฟิอ่อนเมมเบรนในหน่วยมิลลิเมตร (millitres) (1 มิลลิเมตร = 1/1,000 นิ้ว = 0.0254 มิลลิเมตร) โดยความหนาของเมมเบรนมีตั้งแต่ 2 3.5 5 7 และ 10 มิลลิเมตร (50 89 127 178 และ 254 ไมโครเมตร ตามลำดับ) เช่น Nafion 117 มีน้ำหนักสมมูลเท่ากับ 1,100 และมีความหนา 7 มิลลิเมตร (178 ไมโครเมตร) เป็นต้น [13]

2.3.1.2 ชั้นแพร์แก๊ส

ชั้นแพร์แก๊สเป็นชั้นที่อยู่ระหว่างชั้นตัวเร่งปฏิกิริยา กับแผ่นสะสมกระแสงไฟฟ้า (Current collector plate) แม้ว่าชั้นแพร์แก๊สจะไม่ได้มีส่วนร่วมในการเกิดปฏิกิริยาเคมีไฟฟ้าโดยตรง แต่ชั้นแพร์ผ่านแก๊สมีหน้าที่ในการเป็นเส้นทางผ่านของแก๊สเชื้อเพลิงจากช่องทางการไหลของแก๊ส (Flow field channel) ไปยังชั้นตัวเร่งปฏิกิริยาอีกทั้งเป็นเส้นทางผ่านของน้ำที่เป็นผลิตภัณฑ์พลอยได้ที่เกิดจากปฏิกิริยาเคมีไฟฟ้าให้ระบบออกไปยังช่องทางการไหลของแก๊ส ในขณะเดียวกันยังเป็นส่วนที่นำ

อิเล็กตรอนจากชั้นตัวเร่งปฏิกิริยาไปยังแผ่นเศษสมการและไฟฟ้า รวมถึงการซ่อมแซมในกรณีที่เกิดขึ้นจากปฏิกิริยาข้างต้นของจากชั้นตัวเร่งปฏิกิริยาไปยังช่องทางการไหลของแก๊ส เพื่อระบายความร้อนออกจากเซลล์ นอกจากนี้ยังทำหน้าที่เป็นตัวรองรับเชิงกล (Mechanical support) เพื่อป้องกันการซ้อนทับกันระหว่างชั้นไฟฟ้าประกอบเมมเบรนกับช่องการไหลของแก๊สด้วย

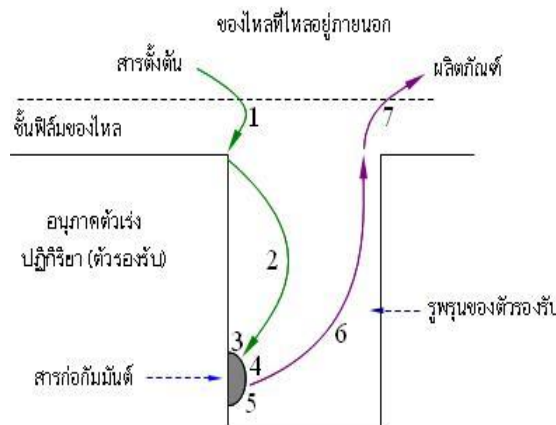
สมบัติที่ดีของชั้นแพร่แก๊ส คือ นำไฟฟ้าและความร้อนได้ดี มีความพรุนสูง แต่ไม่ควรใช้ชั้นแพร่แก๊สที่มีขนาดรูพรุนใหญ่เกินไปเมื่อเทียบกับขนาดของตัวเร่งปฏิกิริยา และต้องมีความแข็งแรงพอที่จะสามารถช่วยให้ชั้นไฟฟ้าประกอบเมมเบรนใช้งานได้ดีและมีความยืดหยุ่นเพียงพอ มีสภาพนำไฟฟ้าที่ดี ส่วนใหญ่ชั้นแพร่แก๊สจะทำมาจากวัสดุจำพวกคาร์บอนไม่ว่าจะเป็นผ้าคาร์บอน (Carbon cloth) หรือกระดาษคาร์บอน (Carbon paper) ซึ่งมีหลายบริษัทผู้ผลิต เช่น SGL Carbon, E-TEK, Toray เป็นต้น

2.3.1.3 ชั้นตัวเร่งปฏิกิริยา

ชั้นตัวเร่งปฏิกิริยา (Catalyst layer) เป็นชั้นที่มีปฏิกิริยาเคมีไฟฟ้าเกิดขึ้น ตัวเร่งปฏิกิริยาที่นิยมใช้ในเซลล์เชื่อเพลิงพื้นที่เป็นพากโลหะมีตระกูล (Noble metal) เช่น แพลทินัม (Pt) แพลเลเดียม (Pd) หรือนิกเกิล (Ni) เป็นต้น เพราะว่าตัวเร่งปฏิกิริยาเหล่านี้สามารถลดพลังงานกระตุ้นของปฏิกิริยา (Activation energy) ซึ่งจะส่งผลให้ปฏิกิริยาเกิดได้เร็วขึ้น ปฏิกิริยาที่เกิดขึ้นในเซลล์เชื่อเพลิงพื้นที่เป็นปฏิกิริยาแบบวิวิธพันธุ์ (Heterogeneous reaction) ซึ่งจะเกิดบนพื้นผิวของตัวเร่งปฏิกิริยา กลไกการเกิดปฏิกิริยาแบบวิวิธพันธุ์นี้แสดงดังภาพที่ 2.10 ซึ่งประกอบไปด้วย 7 ขั้นตอน ดังนี้

1. External diffusion คือ การแพร่ของสารตั้งต้นที่เป็นแก๊สมา_keageที่พื้นผิวด้านนอกของตัวเร่งปฏิกิริยาโดยอาศัยการถ่ายโอนมวล (Mass transport)
2. Internal diffusion คือ การแพร่ของสารตั้งต้นจากภายนอกเข้าไปในรูพรุนของตัวเร่งปฏิกิริยา
3. Adsorption คือ การดูดซับระหว่างสารตั้งต้นกับตำแหน่งที่ว่องไวในการเกิดปฏิกิริยา ซึ่งขั้นตอนนี้จะยังไม่เกิดปฏิกิริยา
4. Surface reaction คือ สารตั้งต้นทำปฏิกิริยากับตำแหน่งที่ว่องไวของตัวเร่งปฏิกิริยา เกิดเป็นผลิตภัณฑ์
5. Desorption คือ การคายซับของผลิตภัณฑ์ที่เกิดขึ้นออกจากตำแหน่งว่องไวของตัวเร่งปฏิกิริยา
6. Internal diffusion คือ การแพร่ของผลิตภัณฑ์ออกจากรูพรุนของตัวเร่งปฏิกิริยา

7. External diffusion คือ การแพร่ของผลิตภัณฑ์จากพื้นผิวของตัวเร่งปฏิกิริยาออกไปด้านนอก



ภาพที่ 2.10 กลไกการเกิดปฏิกิริยาของตัวเร่งปฏิกิริยาบริษัทพันธุ์ [14]

2.3.1.4 แผ่นช่องทางการไหลของแก๊ส

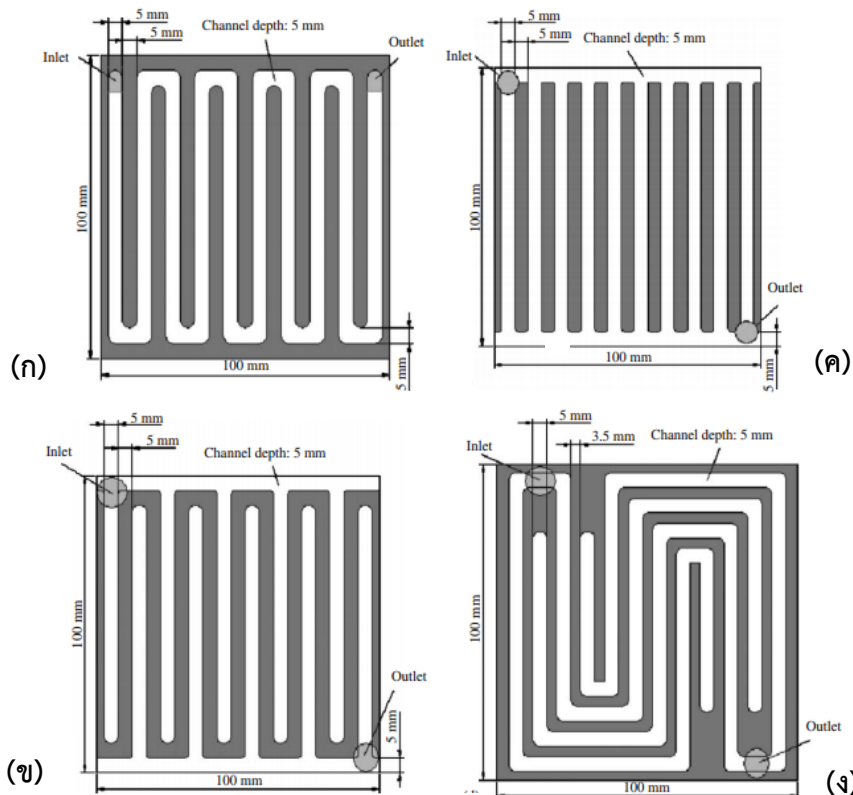
แผ่นช่องทางการไหลของแก๊ส (Gas flow field plate) มีลักษณะเป็นร่องให้แก๊สไหลผ่านได้ทำหน้าที่กระจายแก๊สไฮโดรเจนและแก๊สออกซิเจนให้เข้าสู่ชั้นไฟฟ้าอย่างทั่วถึงและสม่ำเสมอ รวมถึงยังทำหน้าที่นำน้ำที่เกิดจากปฏิกิริยาออกจากการเซลล์เชื้อเพลิงเพื่อป้องกันการอุดตันของน้ำที่อาจจะเกิดขึ้น แผ่นช่องทางการไหลของแก๊สส่วนใหญ่มักทำจากแกรไฟต์ (Graphite) เนื่องจากมีสภาพนำความร้อนและอิเล็กตรอนสูง รวมถึงแก๊สเชื้อเพลิงไม่สามารถซึมผ่านได้ อีกทั้งยังทนทานต่อการกัดกร่อนและการทำงานของเซลล์เชื้อเพลิงได้ดี

แผ่นช่องทางการไหลของแก๊สมีหลายรูปแบบดังภาพที่ 2.11 ได้แก่ แผ่นช่องทางการไหลแบบเชอร์เพนไทน์ (Serpentine flow structure) แผ่นช่องทางการไหลแบบช่องระหว่างนิว (Interdigitated flow structure) แผ่นช่องทางการไหลแบบขนาน (Parallel flow structure) แผ่นช่องทางการไหลแบบผสม (Serpentine - interdigitated flow structure) เป็นต้น แผ่นช่องทางการไหลสำหรับเซลล์เชื้อเพลิงพื้นที่นิยมใช้ที่สุด คือ แผ่นช่องทางการไหลแบบเชอร์เพนไทน์ เนื่องจากแผ่นช่องทางการไหลชนิดนี้ช่วยระบายน้ำที่เกิดจากปฏิกิริยาได้ดีทำให้ไม่เกิดการอุดตันของช่องทางไหลของแก๊ส เนื่องจากมีความดันต่างระหว่างขาเข้ากับขาออกในช่องทางไหลของแก๊ส

แผ่นช่องทางการไหลแบบสองขั้ว (Bipolar plate) เป็นส่วนประกอบหนึ่งที่มีความสำคัญมากในเซลล์เชื้อเพลิงแบบเซลล์ตั้ง (Stack fuel cell) โดยมีหน้าที่ที่สำคัญ คือ

- กระจายแก๊สและอากาศให้ทั่วถึงตลอดพื้นที่ใช้งาน
- ระบบความร้อนออกจากการพื้นที่ใช้งาน
- นำกระแสไฟฟ้าจากเซลล์หนึ่งไปยังอีกเซลล์หนึ่ง

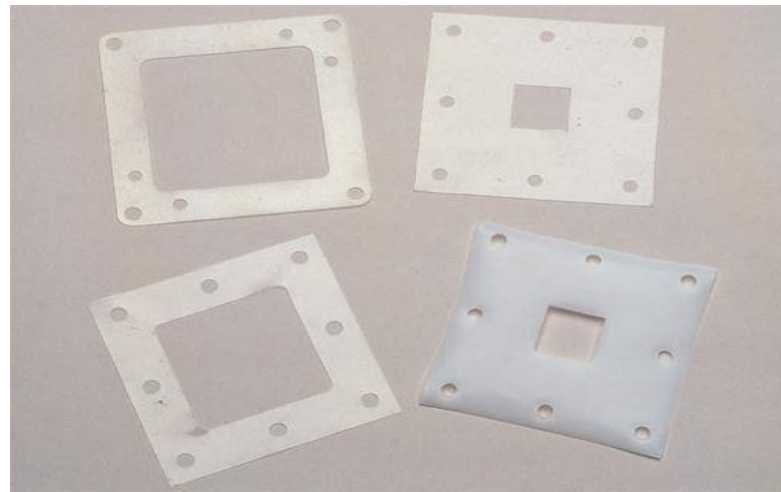
- ป้องกันการรั่วของแก๊สและสารหล่อเย็น
โดยทั่วไปวัสดุที่ถูกนิยมนำมาผลิตเป็นแผ่นแผ่นซึ่งทางการไฟล์แบบสองขั้วมากที่สุดก็ คือ แกรไฟต์รองลงมาคือ โลหะ เนื่องจากแกรไฟต์มีสมบัติที่โดดเด่นในด้านการนำไฟฟ้า และทนทานการ กัด กร่อนได้ดีมาก [15]



ภาพที่ 2.11 แผ่นซึ่งทางการไฟล์นิดต่างๆ (ก) แบบเซอร์เพนไทน์ (ข) แบบช่องระหว่างนิว (ค) แบบ ขนาด (ง) แบบผสม [16]

2.3.1.5 วัสดุกันร้อนหรือปะเก็น

ปะเก็น (Gasget) คือวัสดุที่ใช้กันระหว่างชั้นข้าไฟฟ้าประกอบเมมเบรนกับแผ่นซึ่งทางการไฟล์ของแก๊ส มีหน้าที่ป้องกันการรั่วซึมของแก๊สเชื้อเพลิงและตัวออกซิเดนซ์ เนื่องจากการสูญเสียของแก๊สทั้งสองนั้นจะส่งผลต่อประสิทธิภาพของเซลล์เชื้อเพลิงทำให้ประสิทธิภาพของเซลล์เชื้อเพลิงลดลง เป็นตัวรองรับเชิงกลสำหรับข้าไฟฟ้าประกอบเมมเบรนและป้องกันการรั่วของสารตั้งต้น ส่วนใหญ่ทำจากวัสดุที่มีความยืดหยุ่นสูง เช่น ซิลิโคน เป็นต้น ดังภาพที่ 2.12

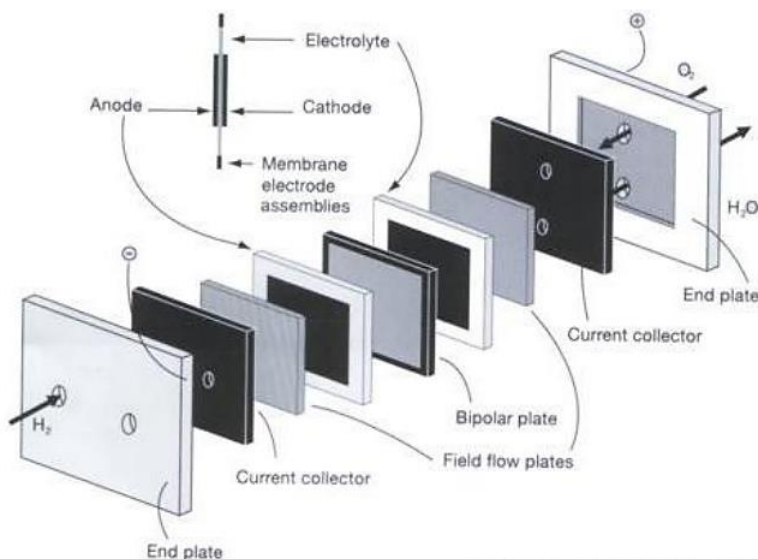


ภาพที่ 2.12 ลักษณะของปะเก็นที่ใช้ในเซลล์เชื้อเพลิงพีวีเอ็ม [17]

2.3.1.6 แผ่นสะสมกระแสไฟฟ้าและแผ่นประกับ

แผ่นสะสมกระแสไฟฟ้าเป็นส่วนที่ส่งอิเล็กตรอนที่เกิดขึ้นจากปฏิกิริยาเคมีไฟฟ้าไปยังวงจรไฟฟ้าด้านนอก แผ่นสะสมกระแสไฟฟ้าโดยทั่วไปมักทำจากโลหะที่นำไฟฟ้าได้ดีและมีสมบัติเชิงกลสูง

ส่วนแผ่นประกับ (End plates) เป็นส่วนที่มีความสำคัญอีกส่วนหนึ่งในเซลล์เชื้อเพลิงทำหน้าที่เป็นแผ่นยึดเซลล์เชื้อเพลิง สมบัติโดยทั่วไปของแผ่นประกับนี้คือ ต้องมีสมบัติเชิงกล (Mechanical properties) ดี มีสภาพนำไฟฟ้า (Electrical conductivity) สูง และช่วยนำความร้อน (Heat removal) ที่เกิดจากปฏิกิริยาได้ดี ส่วนใหญ่เป็นรูปจากโลหะ เช่น สแตนเลส ตำแหน่งของส่วนประกอบต่างๆ ในเซลล์เชื้อเพลิงพีวีเอ็ม แสดงดังภาพที่ 2.13



ภาพที่ 2.13 ตำแหน่งของแผ่นสะสมกระแสไฟฟ้าและแผ่นประกับในเซลล์เชื้อเพลิงพีวีเอ็ม [18]

2.4 ประสิทธิภาพของเซลล์เชือเพลิง

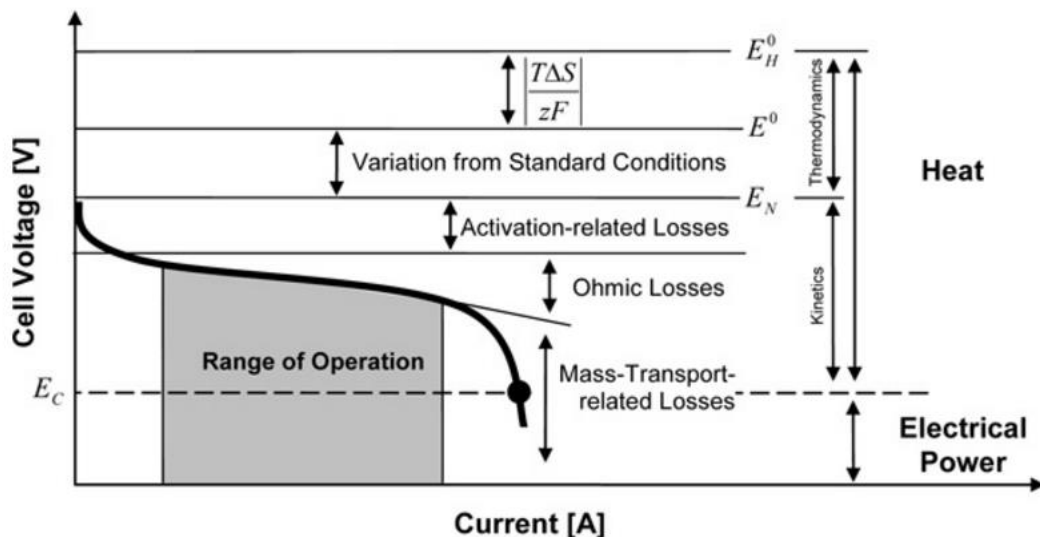
2.4.1 ปัจจัยที่ส่งผลต่อประสิทธิภาพการทำงานของเซลล์เชือเพลิง

เมื่อทำการต่อเซลล์เชือเพลิงกับวงจรภายนอกและมีการป้อนแก๊สเชือเพลิงให้กับเซลล์เชือเพลิง เซลล์เชือเพลิงจะทำการผลิตกระแสไฟฟ้า แต่ค่าศักย์ไฟฟ้าที่ได้จากเซลล์เชือเพลิงจะมีค่าน้อยกว่าศักย์ไฟฟ้าทางทฤษฎีซึ่งศักย์ไฟฟ้าตามทฤษฎีของกระบวนการที่ใช้แก๊สไฮโดรเจนและแก๊สออกซิเจนเป็นเชือเพลิงจะมีค่าประมาณ 1.229 โวลต์ การลดลงของศักย์ไฟฟ้าจากค่าทางทฤษฎีเรียกว่า โพลาไรเซชัน (Polarization) โดยการเกิดโพลาไรเซชันในเซลล์เชือเพลิงนั้นจะเกิดขึ้นทั้งที่ข้าวแอลูมิโนดและข้าวแคโคโทด ศักย์ไฟฟ้าของเซลล์ที่ได้จริง (E_{cell}) สามารถเขียนได้ดังสมการ (2.18)

$$E_{cell} = E^0_{cell} - |\varepsilon_c| - |\varepsilon_a| - IR \quad (2.18)$$

โดยที่	E^0_{cell}	ค่าศักย์ไฟฟ้ามาตรฐานเทียบกับข้าวไฟฟ้ามาตรฐานไฮโดรเจน
	ε_c	ค่าศักย์ไฟฟ้าส่วนเกินที่ข้าวแคโคโทด (Cathode overpotential)
	ε_a	ค่าศักย์ไฟฟ้าส่วนเกินที่ข้าวแอลูมิโนด (Anode overpotential)
	IR	ค่าศักย์ไฟฟ้าส่วนเกินที่เกิดจากความต้านทานในเซลล์เชือเพลิง

การทำงานของเซลล์เชือเพลิงพื้อที่สามารถวัดอุณหภูมิในค่าของความหนาแน่นกระแสไฟฟ้า (Current density) ในหน่วยของปริมาณกระแสไฟฟ้าต่อพื้นที่การเกิดปฏิกิริยาภายในเซลล์เชือเพลิง ซึ่งประสิทธิภาพการทำงานของเซลล์เชือเพลิงสามารถวิเคราะห์ได้จาก I-V characteristic curve ดังภาพที่ 2.14



ภาพที่ 2.14 ความสัมพันธ์ระหว่างศักย์ไฟฟ้าและความหนาแน่นของกระแสไฟฟ้า [19]

2.4.2 การสูญเสียที่เกิดขึ้นภายในเซลล์เชื้อเพลิงพีอีเอ็มและแนวทางแก้ไข

กราฟโพลาไรเซชัน (Polarization curve) มักใช้ในการแสดงสมรรถนะของเซลล์เชื้อเพลิง ซึ่งจะแสดงความสัมพันธ์ระหว่างความหนาแน่นกระแสไฟฟ้าและศักย์ไฟฟ้าที่ภาวะการทำงานหนึ่งๆ ตามทฤษฎีศักย์ไฟฟ้าที่เกิดขึ้นของเซลล์เชื้อเพลิงจะมีค่าเท่ากับ 1.229 โวลต์เทียบกับขั้วไฟฟ้าอ้างอิงไฮโดรเจน แต่ในทางปฏิบัติแล้วศักย์ไฟฟ้าที่เกิดขึ้นของเซลล์เชื้อเพลิงจะมีค่าต่ำกว่า 1.229 โวลต์เนื่องจากมีการสูญเสียศักย์ไฟฟ้าในระบบจากหลายสาเหตุ ได้แก่ การสูญเสียจากการแพร่ผ่านเมมเบรนของแก๊สเชื้อเพลิง (Fuel crossover) การสูญเสียจากปฏิกิริยา (Activation polarization losses) การสูญเสียจากความต้านทานไอโอห์มิก (Ohmic losses) และการสูญเสียจากการโพลาไรเซชันของความเข้มข้น (Concentration polarization losses) แสดงดังภาพที่ 2.14

2.4.2.1 การสูญเสียศักย์ไฟฟ้าจากการแพร่ผ่านเมมเบรนของแก๊สเชื้อเพลิง

การสูญเสียศักย์ไฟฟ้าจากการแพร่ผ่านของแก๊สเชื้อเพลิงเป็นการสูญเสียศักย์ไฟฟ้าที่เกิดจากสมบัติของเมมเบรนซึ่งทำหน้าที่เป็นแผ่นกั้นระหว่างขั้วแอนโโนดและแคโรไทด์ เมมเบรนที่ดีต้องนำโปรดอนได้ดี ไม่ยอมให้อิเล็กตรอนและแก๊สเคลื่อนที่ผ่าน แต่ในความเป็นจริงจะมีอิเล็กตรอนหรือแก๊สเชื้อเพลิงปริมาณหนึ่งที่สามารถแพร่ผ่านเมมเบรนจากขั้วแอนโโนดไปยังขั้วแคโรไทด์ได้ เนื่องจากสภาพของเมมเบรน ความหนาของเมมเบรน ความดัน หรือความเข้มข้นของแก๊สที่ป้อนเข้ามา เป็นต้น ส่งผลให้เกิดกระแสไฟฟ้าขึ้นภายในเซลล์โดยไม่ได้ป้อนออกสู่เครื่องดึงกระแสไฟฟ้าภายนอก การลดการสูญเสียศักย์ไฟฟ้าจากการแพร่ผ่านของแก๊สเชื้อเพลิงทำได้โดยการใช้เมมเบรนประเภทไฮโดรคาร์บอน

เพื่อช่วยลดการแพร่ผ่านของแก๊ส แต่เมมเบรนประเททนี้จะทนทานต่อการกัดกร่อนทางเคมีและออกซิเจนradical (Oxygen radical) ได้น้อยกว่าการใช้เมมเบรนประเททเปอร์ฟลูออโรซัลโฟนิก

2.4.2.2 การสูญเสียศักย์ไฟฟ้าจากโพลาไรเซชันของปฏิกิริยา

การสูญเสียศักย์ไฟฟ้าจากโพลาไรเซชันของปฏิกิริยาเกิดจากความล้าช้าในการเกิดปฏิกิริยาของแก๊สเชื้อเพลิงบนพื้นผิวของตัวเร่งปฏิกิริยา ซึ่งจะเกิดในช่วงกระแสไฟฟ้าต่างๆ กล่าวคือถ้าอัตราเร็วของปฏิกิริยาไม่ค่าน้อยแสดงว่าปฏิกิริยานั้นเกิดขึ้นได้ช้า ทำให้เกิดการสูญเสียศักย์ไฟฟ้าจากโพลาไรเซชันของปฏิกิริยามาก การคำนวนค่าศักย์ไฟฟ้าโพลาไรเซชันของปฏิกิริยาที่ผ่านแคคโทด ($\eta_{act,c}$) และแอนด์ ($\eta_{act,a}$) จะใช้สมการของ Butler-Volmer แสดงในสมการที่ (2.19) และ (2.20)

$$\eta_{act,c} = E_{r,c} - E_c = \frac{RT}{\alpha_c F} \ln\left(\frac{i}{i_{0,c}}\right) \quad (2.19)$$

$$\eta_{act,a} = E_a - E_{r,a} = \frac{RT}{\alpha_a F} \ln\left(\frac{i}{i_{0,a}}\right) \quad (2.20)$$

เมื่อ $E_{r,c}$ และ $E_{r,a}$ คือศักย์ไฟฟ้าที่ภาวะสมดุลของปฏิกิริยาในผ่านแคคโทดและแอนด์ ตามลำดับ E_c และ E_a คือศักย์ไฟฟ้าส่วนเกินของปฏิกิริยาในผ่านแคคโทดและแอนด์ ตามลำดับ $i_{0,c}$ และ $i_{0,a}$ คือความหนาแน่นกระแสไฟฟ้าส่วนเกินของปฏิกิริยาในผ่านแคคโทดและแอนด์ ตามลำดับ และ α_c และ α_a คือสัมประสิทธิ์การถ่ายโอนประจุของปฏิกิริยาในผ่านแคคโทดและแอนด์ ตามลำดับ

ผลรวมของศักย์ไฟฟ้าโพลาไรเซชันของการเกิดปฏิกิริยาที่ผ่านแอนด์และแคคโทดเท่ากับการสูญเสียศักย์ไฟฟ้าจากปฏิกิริยาของเซลล์เชื้อเพลิง ดังสมการที่ (2.21) แต่โพลาไรเซชันของปฏิกิริยาที่เกิดขึ้นในเซลล์เชื้อเพลิงส่วนใหญ่จะเป็นผลมาจากการปฏิกิริยาด้านแคคโทด เนื่องจากปฏิกิริยาออกซิเดชันที่ผ่านแอนด์เกิดเร็วกว่าปฏิกิริยา reduction ที่ผ่านแคคโทดจึงไม่จำเป็นต้องคิดพจน์ที่เป็นการสูญเสียจากผ่านแอนด์ ดังนั้นสมการแสดงการสูญเสียศักย์ไฟฟ้าจากโพลาไรเซชันจึงแสดงได้ดังสมการ (2.22) หรือ (2.23)

$$\eta_{act} = \eta_{act,c} + \eta_{act,a} = \frac{RT}{\alpha_a F} \ln\left(\frac{i}{i_{0,a}}\right) + \frac{RT}{\alpha_c F} \ln\left(\frac{i}{i_{0,c}}\right) \quad (2.21)$$

$$\eta_{act} = \eta_{act,c} = \frac{RT}{\alpha_c F} \ln\left(\frac{i}{i_{0,c}}\right) \quad (2.22)$$

$$\eta_{act} = \frac{RT}{\alpha_c F} \ln(i) - \frac{RT}{\alpha_c F} \ln(i_{0,c}) \quad (2.23)$$

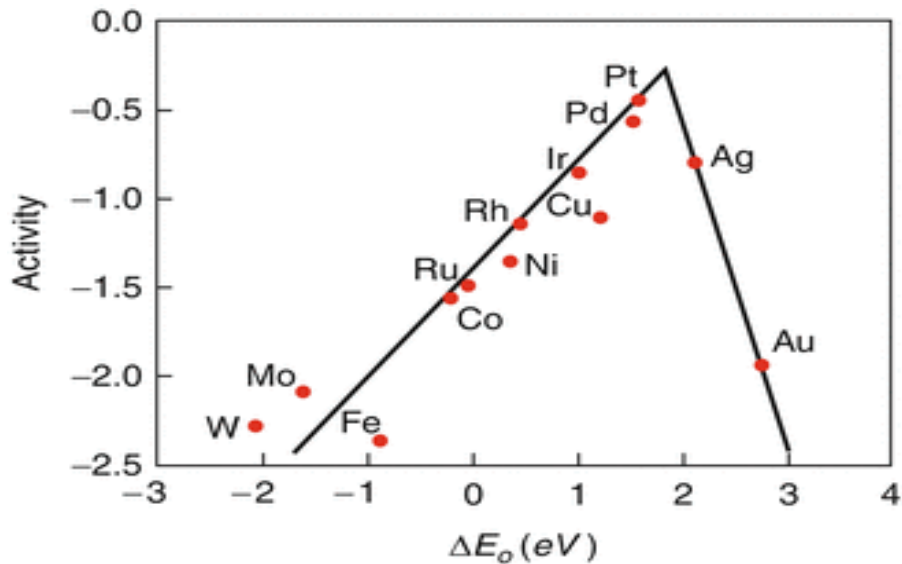
การสูญเสียศักย์ไฟฟ้าจากโพลาไรเซชันของปฏิกิริยาเป็นการสูญเสียที่พบมากและส่งผลต่อประสิทธิภาพการทำงานของเซลล์เชื้อเพลิงพีอีเอ็ม แนวทางในการลดการสูญเสียศักย์ไฟฟ้าประเภทนี้คือ

ก. การเพิ่มอุณหภูมิ เมื่อเพิ่มอุณหภูมิการทำงานของเซลล์เชื้อเพลิงพีอีเอ็ม อัตราการเกิดปฏิกิริยาจะเร็วขึ้นตามไปด้วย ส่งผลให้ประสิทธิภาพการทำงานของเซลล์เชื้อเพลิงดีขึ้น อย่างไรก็ตามการเพิ่มอุณหภูมิเพื่อแก้ปัญหาการสูญเสียศักย์ไฟฟ้าจากโพลาไรเซชันของปฏิกิริยาทำได้ไม่มากนัก เพราะมีข้อจำกัดจากสมบัติเฉพาะของเมมเบรนที่ใช้เป็นอิเล็กโทรไลต์ กล่าวคือการเพิ่มอุณหภูมิที่สูงเกินไปจะไประเหยน้ำออกจากเมมเบรนทำให้เมมเบรนแห้งและเสื่อมสภาพ การสูญเสียศักย์ไฟฟ้าจากความด้านท่านไฟฟ้าจึงเพิ่มขึ้น

ข. การเพิ่มความดัน เมื่อเพิ่มความดันให้กับระบบจะทำให้การสูญเสียศักย์ไฟฟ้าจากโพลาไรเซชันของปฏิกิริยาลดลง เพราะความหนาแน่นกระแสงไฟฟ้าแลกเปลี่ยนมีค่าสูงขึ้น แต่เนื่องจากเซลล์เชื้อเพลิงพีอีเอ็มเป็นเซลล์เชื้อเพลิงที่มีขนาดเล็กที่สามารถทำงานที่ความดันบรรยายกาศได้ ดังนั้นการเพิ่มความดันให้ระบบจึงไม่ได้ส่งผลต่อประสิทธิภาพในการทำงานของเซลล์เชื้อเพลิงมากนัก และการเพิ่มความดันที่สูงเกินไปอาจทำให้เมมเบรนเกิดการฉีกขาดได้

ค. การใช้ตัวเร่งปฏิกิริยาที่มีประสิทธิภาพสูง เนื่องจากปฏิกิริยาที่เกิดขึ้นภายในเซลล์เชื้อเพลิงพีอีเอ็มเป็นแบบบิวิรพันธุ์ซึ่งจะเกิดบนพื้นผิวของตัวเร่งปฏิกิริยา ความแข็งแรงของพันธะระหว่างตัวเร่งปฏิกิริยา กับแก๊สเชื้อเพลิงที่แพร่เข้ามาทำปฏิกิริยาจะส่งผลต่อประสิทธิภาพการทำงานของเซลล์เชื้อเพลิง ความแข็งแรงของพันธะระหว่างโลหะที่ใช้เป็นตัวเร่งปฏิกิริยา กับแก๊สเชื้อเพลิงแสดงในรูปของกราฟโอลคาโน (Volcano plots) ตั้งภาพที่ 2.15 กล่าวคือตัวเร่งปฏิกิริยาที่มีประสิทธิภาพในการเร่งปฏิกิริยาได้ดีที่สุดคือตัวเร่งปฏิกิริยาแพลทินัม รองลงมาคือแพลเลเดียม โดยจะพิจารณาจากพลังงานยึดเหนี่ยวของตัวเร่งปฏิกิริยาแพลทินัม ร่องลงมาคือแพลเลเดียม โดยจะพิจารณาจากพลังงานยึดเหนี่ยวของตัวเร่งปฏิกิริยาแพลทินัมของออกซิเจน เนื่องจากโลหะที่อยู่ทางด้านซ้ายมือของกราฟโอลคาโนจะมีพลังงานยึดเหนี่ยวของตัวเร่งปฏิกิริยาแพลทินัมของออกซิเจนสูงจึงสามารถดึงดูดให้ออกซิเจนเข้ามาทำปฏิกิริยาได้ดี ในขณะที่ทอง (Au) และ เงิน (Ag) จะจับกับอะตอมของออกซิเจนด้วยแรงยึดเหนี่ยวแบบอ่อนส่งผลให้อะตอมของออกซิเจนสามารถหลุดออกไปจากผิวน้ำของตัวเร่งปฏิกิริยาได้ง่าย นอกจากนี้ประสิทธิภาพของตัวเร่งปฏิกิริยาจะสามารถได้จากค่าความหนาแน่นกระแสงไฟฟ้าแลกเปลี่ยนแสดงดังตารางที่ 2.2

จากที่กล่าวมาข้างต้นจะพบว่าตัวเร่งปฏิกิริยาที่ดีที่สุดสำหรับเซลล์เชื้อเพลิงพีอีเอ็มคือตัวเร่งปฏิกิริยาแพลทินัม เนื่องจากมีความว่องไวในการทำปฏิกิริยาสูงที่สุด แต่แพลทินัมมีราคาค่อนข้างสูง ซึ่งหากนำเซลล์เชื้อเพลิงไปใช้ในเชิงพาณิชย์จำเป็นที่จะต้องพิจารณาเรื่องต้นทุนการผลิตควบคู่กันไปด้วย ดังนั้นวัตถุประสงค์หลักในการพัฒนาเซลล์เชื้อเพลิงคือการพัฒนาตัวเร่งปฏิกิริยาให้มีความสามารถในการเร่งปฏิกิริยาสูงและราคาถูก



ภาพที่ 2.15 ความสัมพันธ์ระหว่างก้มมันตภาพของตัวเร่งปฏิกิริยาและผล่างงานยืดเหนี่ยวอะตอมของออกซิเจน [20]

ตารางที่ 2.2 ความหนาแน่นกระเสไฟฟ้าแลกเปลี่ยนของโลหะชนิดต่างๆสำหรับปฏิกิริยา蕊ตักชันของออกซิเจน [21]

โลหะ	ความหนาแน่นกระเสไฟฟ้าแลกเปลี่ยน (แอมเปอร์ต่อตารางเซนติเมตร)
แพลทินัม (Pt)	$10^{-5.12}$
โคบล็อต (Co)	$10^{-6.62}$
เหล็ก (Fe)	$10^{-9.68}$
nickel (Ni)	$10^{-7.45}$
อิริเดียม (Ir)	$10^{-2.82}$

2.4.2.3 การสูญเสียศักย์ไฟฟ้าจากความต้านทานໂօห์มมิก

ความต้านทานໂօห์มมิกเกิดจากความต้านทานในการเคลื่อนที่ของ proton ผ่านเมมเบรน และการเคลื่อนที่ของอิเล็กตรอนผ่านขั้วไฟฟ้า แผ่นช่องทางการไหลของแก๊ส แผ่นสะสมกระเสไฟฟ้า สายไฟหรือส่วนประภอบ dein ของเซลล์เชื้อเพลิง การสูญเสียศักย์ไฟฟ้าประภานี้สามารถคำนวณได้จากกฎของโอห์ม (Ohm's law) ดังสมการที่ (2.24)

$$\eta_{ohm} = iR_i \quad (2.24)$$

เมื่อ η_{ohm} คือศักย์ไฟฟ้าส่วนเกินโอห์มมิก และ R_i คือ ผลกระทบของความต้านทานของอิเล็กตรอนที่เคลื่อนที่ผ่านขั้วอิเล็กโตรดและแผ่นสะสมกระแสรไฟฟ้ารวมกับค่าความต้านทานของการเคลื่อนที่ของประตอนผ่านเมมเบรน

การลดความต้านทานโอห์มมิก คือการลดระยะเวลาในการเคลื่อนที่ของประตอนโดยใช้อิเล็กโโทรไลต์หรือเมมเบรนที่บาง ใช้ตัวเร่งปฏิกิริยาหรือตัวรองรับที่มีสภาพนำไฟฟ้าสูงเพื่อช่วยให้อิเล็กตรอนเคลื่อนที่ได้ดี และใช้แผ่นซ่องทางการไหลของแก๊สที่ผลิตจากแกรไฟต์ เนื่องจากแกรไฟต์มีสภาพนำกระแสไฟฟ้าและความร้อนสูง

2.4.2.4 การสูญเสียศักย์ไฟฟ้าจากโพลาไรเซชันของความเข้มข้น

การสูญเสียศักย์ไฟฟ้าจากโพลาไรเซชันของความเข้มข้นหรือการสูญเสียศักย์ไฟฟ้านี้องจาก การถ่ายโอนมวลจะเกิดในช่วงกระแสไฟฟ้าสูงเนื่องจากสารตั้งต้นถูกใช้ในการทำปฏิกิริยาอย่างรวดเร็ว ส่งผลให้เกิดเกรเดียนต์ของความเข้มข้นที่ผิวน้ำของขั้วไฟฟ้า เพราะสารตั้งต้นหรือแก๊สเชื้อเพลิงซึ่ง พร้อมเข้ามาทำปฏิกิริยานี้ทัน การลดการสูญเสียศักย์ไฟฟ้าประเภทนี้คือ ต้องป้อนแก๊สเชื้อเพลิงเข้าไป ในปริมาณที่เพียงพอต่อการเกิดปฏิกิริยา หากใช้อากาศเป็นตัวออกซิเดนซ์จะต้องมีระบบการจัดการ แก๊สที่ดีเพื่อป้องกันแก๊สในโทรศัพท์มาปกคลุมพื้นผิวของตัวเร่งปฏิกิริยา และต้องมีระบบกำจัดน้ำออก จากเซลล์ที่ดี การสูญเสียศักย์ไฟฟ้าจากโพลาไรเซชันของความเข้มข้นสามารถคำนวณได้จากสมการของ เบินสต์ แสดงดังสมการที่ (2.25) หรือ (2.26)

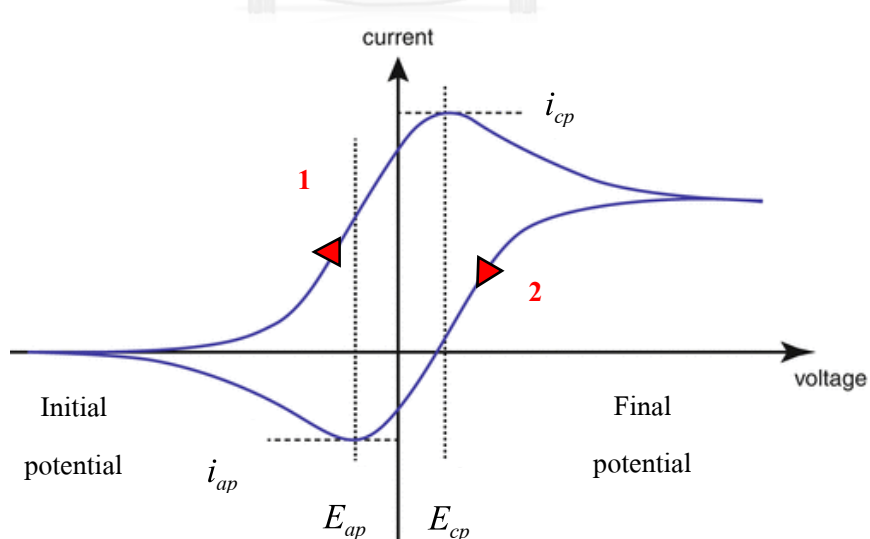
$$\eta_{conc} = \frac{RT}{nF} \ln \left(\frac{C_B}{C_s} \right) \quad (2.25)$$

$$\eta_{conc} = \frac{RT}{nF} \ln \left(\frac{i_L}{i_L - i} \right) \quad (2.26)$$

เมื่อ η_{conc} คือศักย์ไฟฟ้าส่วนเกินนี้องจากโพลาไรเซชันของความเข้มข้น C_B คือ ความเข้มข้นของสารตั้งต้นที่อยู่ห่างจากพื้นผิวของขั้วไฟฟ้า (Bulk concentration) C_s คือ ความเข้มข้นของสารตั้งต้นที่พื้นผิวของขั้วไฟฟ้า และ i_L คือ ความหนาแน่นกระแสไฟฟ้าจำกัด (Limiting current density) ซึ่งจะเกิดขึ้นเมื่อปฏิกิริยาเคมีดำเนินอย่างรวดเร็วทำให้สารตั้งต้นที่อยู่บนพื้นผิวของขั้วไฟฟ้าถูกใช้หมด หรือจุดที่ $C_s = 0$ นั่นเอง

2.5 เทคนิคไซคลิกโวลแอมเมทรี

ไซคลิกโวลแอมเมทรี (Cyclic voltammetry) เป็นเทคนิคในการวิเคราะห์เชิงเคมีไฟฟ้า นิยมใช้ในการศึกษาปฏิกิริยาเริดอกซ์ของสาร เพื่อศึกษาการเกิดสารมัธยันต์รวมถึงความเสถียรของผลิตภัณฑ์ที่เกิดขึ้นในระบบ เทคนิคไซคลิกโวลแอมเมทรีเป็นเทคนิคที่มีการป้อนศักย์ไฟฟ้าที่เวลาต่างๆ ให้กับขั้วไฟฟ้าทำงาน (Working electrode) ระหว่างศักย์ไฟฟ้า 2 ค่า คือ ศักย์ไฟฟ้าเริ่มต้น (Initial potential, E_i) และศักย์ไฟฟ้าสิ้นสุด (Final potential, E_f) และตรวจวัดสัญญาณกระแสไฟฟ้าที่เกิดขึ้นระหว่างขั้วไฟฟ้าทำงานและขั้วไฟฟ้าร่วมที่เวลาต่างๆ การป้อนศักย์ไฟฟ้าให้กับขั้วไฟฟ้าทำงานประกอบด้วยการป้อนศักย์ไฟฟ้าแบบไปข้างหน้า (Forward direction หรือ Cathodic direction) และแบบย้อนกลับ (Reverse direction หรือ Anodic direction) ที่อัตราการกราดศักย์ไฟฟ้า (Scan rate) เท่ากัน ภาพที่ 2.16 แสดงความสัมพันธ์ระหว่างกระแสไฟฟ้าตอบสนอง และศักย์ไฟฟ้าที่ป้อน เมื่อป้อนศักย์ไฟฟ้าไปข้างหน้า (เส้นที่ 1) จะเกิดปฏิกิริยาเริดอกซ์ของสารที่ขั้วไฟฟ้าทำงานทำให้เกิดพิกของกระแสไฟฟ้าขึ้น (พิกบน) โดยกระแสไฟฟ้าจะสูงขึ้นเมื่อศักย์ไฟฟ้าที่ป้อนให้กับระบบมีค่าเข้าใกล้ศักย์ไฟฟารีดักชันของสารนั้นและจะมีค่าลดลงเมื่อความเข้มข้นของสารที่ขั้วไฟฟ้าลดลง ค่าศักย์ไฟฟ้าที่ทำให้กราดกระแสสูงสุดเริดอกซ์ (i_{pc}) เรียกว่า E_{pc} และเมื่อป้อนกระแสย้อนกลับ (เส้นที่ 2) จะเกิดปฏิกิริยาออกซิเดชันของสารที่เกิดปฏิกิริยาเริดอกซ์ส่งผลให้เกิดพิกของกระแสไฟฟ้าขึ้น (พิกล่าง) ซึ่งค่าศักย์ไฟฟ้าที่ทำให้เกิดกราดกระแสสูงสุดจากปฏิกิริยาออกซิเดชัน (i_{pa}) เรียกว่า E_{pa}



ภาพที่ 2.16 ความสัมพันธ์ระหว่างกระแสไฟฟ้าและศักย์ไฟฟ้าที่ป้อนเข้าสู่ระบบหรือไซคลิกโวลแอมเมทรี [22]

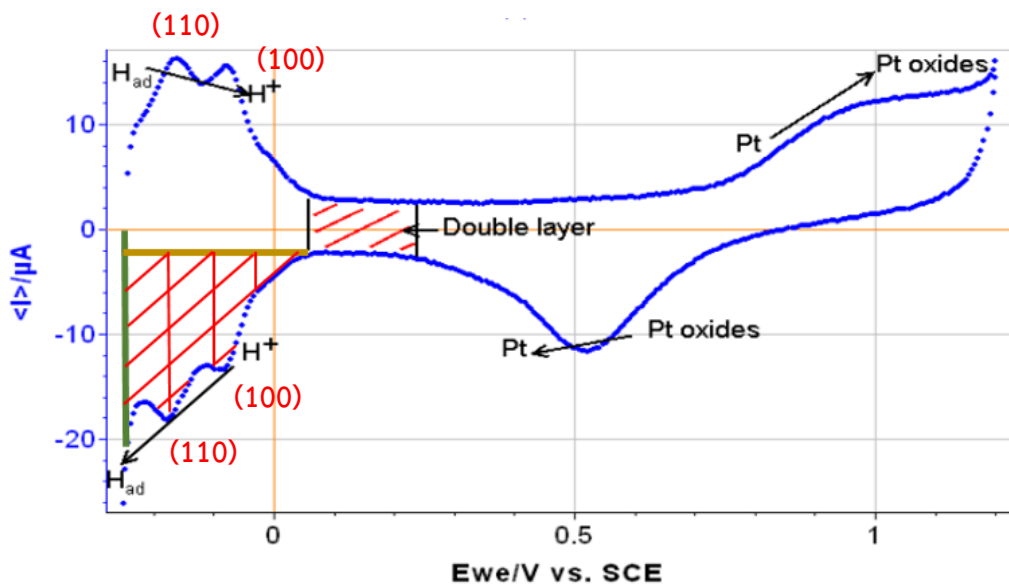
เทคนิคไซคลิกโวลแتمเมทรีสามารถนำมาประยุกต์ใช้ในการหาพื้นที่ผิวการเกิดปฏิกิริยาเคมีไฟฟ้าของตัวเร่งปฏิกิริยาและการวิเคราะห์การทดลองแก๊สคาร์บอนมอนอกไซด์ของตัวเร่งปฏิกิริยาดังนี้

2.5.1 การหาพื้นที่ในการเกิดปฏิกิริยา

พื้นที่ผิวจริง (Real surface area) ในทางเคมีไฟฟ้า หมายถึง พื้นที่ผิวของตัวเร่งปฏิกิริยาที่สามารถเกิดปฏิกิริยาเคมีไฟฟ้าได้ภายใต้ภาระการทำงาน สำหรับขั้วไฟฟ้าพรุน (Porous electrode) พื้นที่ผิวจริงคือพื้นที่ผิวของอนุภาคโลหะที่ทำหน้าที่เป็นตัวเร่งปฏิกิริยา ทำให้สามารถทำงานอย่างมั่นคง เช่น สารเคมีที่ต้องการจะเข้ามาในช่องว่างของตัวเร่งปฏิกิริยาจะสามารถเข้าไปได้โดยอิสระ แต่หากไม่มีพื้นที่ผิวของตัวเร่งปฏิกิริยาสามารถวัดได้ด้วย 2 เทคนิค คือ เทคนิคการดูดซับไฮโดรเจน (H_2 adsorption method) และเทคนิคการดูดซับคาร์บอนมอนอกไซด์ (CO adsorption method)

2.5.1.1 เทคนิคการดูดซับไฮโดรเจน

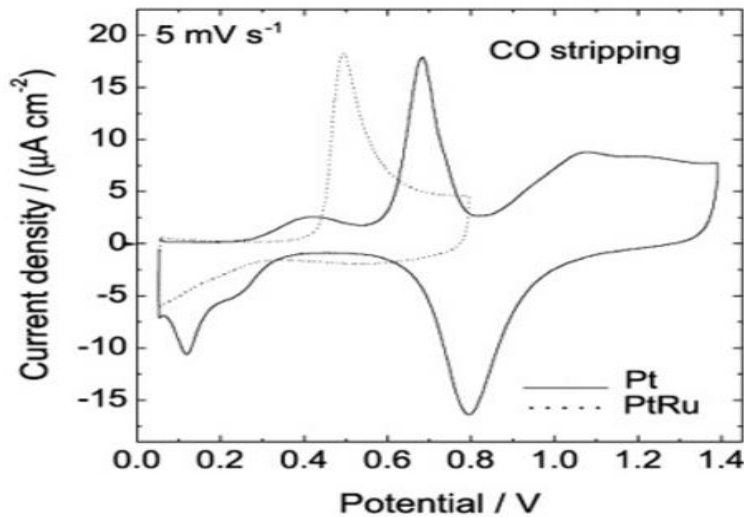
การหาพื้นที่ผิวของตัวเร่งปฏิกิริยาด้วยเทคนิคการดูดซับไฮโดรเจน (H_2 adsorption method) คือการหาปริมาณประจุที่ใช้แยกหรือดึงอะตอมไฮโดรเจนที่ดูดซึบนพื้นผิวของตัวเร่งปฏิกิริยา ปริมาณประจุไฟฟ้าที่ใช้สามารถคำนวณได้โดยการอินทิเกรตพื้นที่ใต้กราฟ ดังภาพที่ 2.17 ซึ่งแสดงพิกของ การเกิดปฏิกิริยาออกซิเดชัน-รีดักชันบนแพลทินัม 2 พิก คือพิกของการเกิดปฏิกิริยาแพลทินัมระนาบ (110) และ (100) สิ่งที่พึงระวังในการใช้เทคนิคการดูดซับไฮโดรเจนเพื่อหาพื้นที่ผิวของตัวเร่งปฏิกิริยา คือเทคนิคนี้สามารถใช้ในการหาพื้นที่ผิวของตัวเร่งปฏิกิริยาเฉพาะตัวเร่งปฏิกิริยาที่ดูดซับไฮโดรเจนที่ศักย์ไฟฟ้าต่ำกว่าศักย์ไฟฟ้าที่ทำงานโดยการใช้สมการเนินส์เตอร์เรียกว่า Underpotential hydrogen adsorption ซึ่งเป็นศักย์ไฟฟ้าสำหรับเกิดปฏิกิริยาที่มีการผลิตแก๊สไฮโดรเจน ($2H^+ + 2e^- \leftrightarrow H_2$) หรือปฏิกิริยาที่มีการดูดซับอะตอมของไฮโดรเจน ($H^+ + e^- \leftrightarrow H_{ads}$) โดยตัวเร่งปฏิกิริยาที่มีสมบัติดังกล่าว คือแท่นซิชั่นกลุ่มแพลทินัม เช่น รูทีเนียม แพลเลเดียม โรเดียม เป็นต้น



ภาพที่ 2.17 พื้นที่การดูดซับไฮโดรเจนบนตัวเร่งปฏิกิริยาแพลทินัมในสารละลายน้ำกรดซัลฟูริกเจือจาง [23]

2.5.1.2 เทคนิคการดูดซับคาร์บอนมอนอกไซด์

การหาพื้นที่ผิวของตัวเร่งปฏิกิริยาด้วยเทคนิคการดูดซับคาร์บอนมอนอกไซด์ (CO adsorption method) จะคล้ายกับการหาพื้นที่ผิวของตัวเร่งปฏิกิริยาด้วยเทคนิคการดูดซับไฮโดรเจน แต่แก๊สที่ใช้ต่างกันคือแก๊สคาร์บอนมอนอกไซด์ ในการทำงานจะป้อนแก๊สตังกล่าวนผสมกับแก๊สเฉื่อยที่มีความชื้นเข้าที่ข้อไฟฟ้าทำงาน และป้อนแก๊สไฮโดรเจนที่มีความชื้นเข้าที่ข้อไฟฟ้าร่วม และทำการทดลองใช้คลิกโวลแтемเพิร์เพื่อให้เกิดการดูดซับแก๊สคาร์บอนมอนอกไซด์บนพื้นผิwtัวเร่งปฏิกิริยาดังแสดงในภาพที่ 2.18 จำนวนคำนวนประจุไฟฟ้าที่ต้องใช้ในการออกซิไดร์แก๊สคาร์บอนมอนอกไซด์ และคำนวนพื้นที่ผิวของตัวเร่งปฏิกิริยา ข้อดีของเทคนิคการดูดซับคาร์บอนมอนอกไซด์คือสามารถใช้ในการคำนวนพื้นที่ของตัวเร่งปฏิกิริยาได้ทุกชนิดทั้งตัวเร่งปฏิกิริยาโลหะเดียวและโลหะผสมเนื่องจากการดูดซับแก๊สคาร์บอนมอนอกไซด์บนพื้นผิวของตัวเร่งปฏิกิริยาจะมีเสถียรภาพสูง

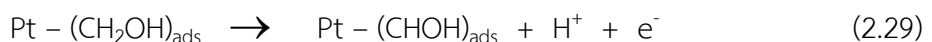
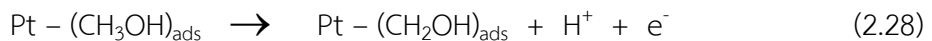
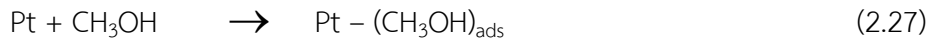


ภาพที่ 2.18 ไซคลิกโวลแتمเมทรีของการเกิดปฏิกิริยาออกซิเดชัน-รีดักชันของไฮโดรเจนบนตัวเร่งปฏิกิริยาแพลทินัม (-) และแพลทินัม-รูทีเนียมที่ไม่มีตัวรองรับ (.....) [24]

2.5.2 การวิเคราะห์การหนแก๊สคาร์บอนมอนอกไซด์ของตัวเร่งปฏิกิริยา

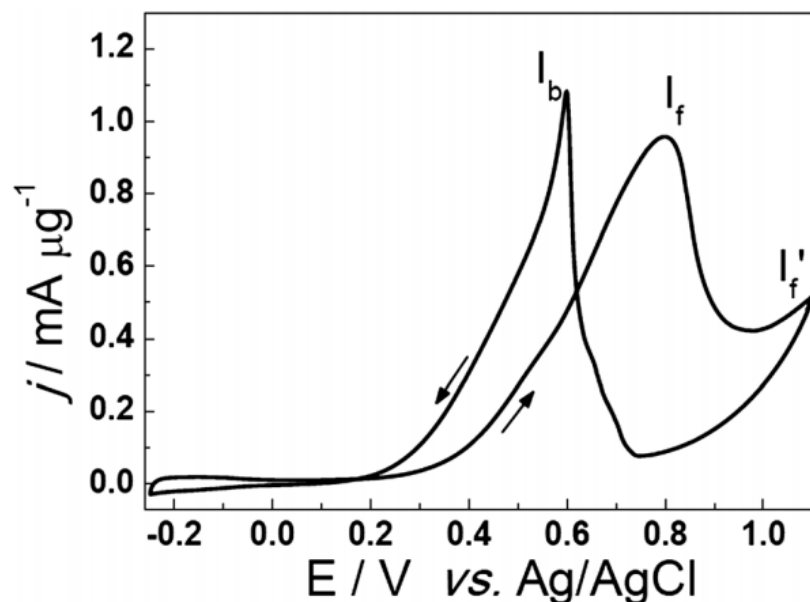
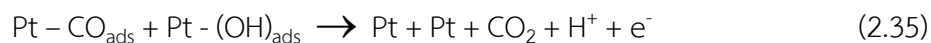
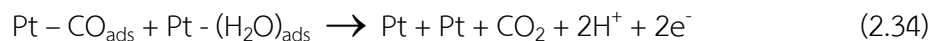
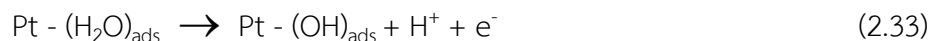
การวิเคราะห์การหนแก๊สคาร์บอนมอนอกไซด์ของตัวเร่งปฏิกิริยาจะดำเนินการในสารละลายเมทานอลด้วยเทคนิคไซคลิกโวลแتمเมทรี เนื่องจากเมทานอลสามารถเกิดปฏิกิริยาออกซิเดชันได้สารประกอบที่มีรากคุาร์บอนและออกซิเจนเป็นองค์ประกอบ เช่น คาร์บอนมอนอกไซด์ กรดฟอร์มิก (HCOOH) และฟอร์มาลดีไฮด์ (HCHO) เป็นต้น สารประกอบที่เกิดขึ้นโดยเฉพะคาร์บอนมอนอกไซด์จะมีความสามารถในการถูกดูดซับบนตัวเร่งปฏิกิริยาได้ดี ดังปฏิกิริยาที่ (2.27) - (2.31) [25]

CHULALONGKORN UNIVERSITY



การเกิดปฏิกิริยาออกซิเดชันของเมทานอล (Methanol oxidation) จะพิจารณาจากพีกที่ให้กระแสไฟฟ้าสูงสุดเมื่อป้อนศักย์ไฟฟ้าไปข้างหน้า เรียกว่า Peak current in forward scan (I_f) และเมื่อป้อนศักย์ไฟฟ้าย้อนกลับพีกที่สูงที่สุดจะแสดงการเกิดปฏิกิริยาออกซิเดชันของคาร์บอนมอนอกไซด์ (CO oxidation) เรียกกระแสไฟฟ้าที่สูงที่สุดว่า Peak current in backward

scan (I_b) (ภาพที่ 2.19) ค่ารบอนมอนอกไชด์ถูกออกซิเดช์เป็นค่ารบอนไดออกไชด์ออกจากพื้นผิวของตัวเร่งปฏิกิริยา ดังปฏิกิริยาที่ (2.32) - (2.35)



ภาพที่ 2.19 ไซคลิกโวลเทมเมทรีของการเกิดปฏิกิริยาเมทานอลออกซิเดชันและค่ารบอนมอนอกไชด์ออกซิเดชันบนตัวเร่งปฏิกิริยา Pt/C ในสารละลายน้ำมันเจลเข้มข้น 1 มอลต่อลิตร ผสมสารละลายน้ำมันเจลเข้มข้น 0.5 มอลต่อลิตร ที่อุณหภูมิ 25 องศาเซลเซียส [26]

จากรูปที่ 2.19 สามารถคำนวณหาการทนแก๊สค่ารบอนมอนอกไชด์ของตัวเร่งปฏิกิริยาได้จากอัตราส่วนระหว่างกระแสไฟฟ้าสูงสุดของการกราดไปข้างหน้าและกระแสไฟฟ้าของการกราดย้อนกลับ (I_f/I_b) ถ้าค่าที่คำนวณได้มีค่ามากแสดงว่าตัวเร่งปฏิกิริยา มีความทนแก๊สค่ารบอนมอนอกไชด์หรือสารประกอบที่เกิดขึ้นจากปฏิกิริยาออกซิเดชันของเมทานอลได้มากกว่า

2.6 แนวทางในการพัฒนาตัวเร่งปฏิกิริยา

ตัวเร่งปฏิกิริยาเป็นสิ่งที่มีความสำคัญมากสำหรับการเกิดปฏิกิริยาเคมีไฟฟ้าภายในเซลล์ เชื้อเพลิงฟื้นฟูเชื่อมต่ออุตสาหกรรมใช้แพลทินัมเป็นตัวเร่งปฏิกิริยา แต่แพลทินัมเป็นโลหะที่มีราคาสูงและอาจเกิดการกัดกร่อนได้เมื่อผ่านการใช้งานเป็นเวลานานส่งผลให้เซลล์เชื้อเพลิงมีอายุการใช้งานที่สั้น ดังนั้นการพัฒนาตัวเร่งปฏิกิริยาจึงเป็นอีกทางเลือกที่สามารถช่วยให้เซลล์เชื้อเพลิงมีกัมมันตภาพและเสถียรภาพที่ดีขึ้น

การเลือกใช้ตัวเร่งปฏิกิริยาที่มีประสิทธิภาพสูงจะช่วยให้เซลล์เชื้อเพลิงมีประสิทธิภาพในการทำงานดีขึ้น ปัจจัยที่มีผลต่อประสิทธิภาพของตัวเร่งปฏิกิริยา คือ

- ขนาดอนุภาคและพื้นที่ผิวของตัวเร่งปฏิกิริยา เนื่องจากการเกิดปฏิกิริยาของตัวเร่งปฏิกิริยาส่วนใหญ่เกิดขึ้นที่พื้นผิวของตัวเร่งปฏิกิริยา ขนาดอนุภาคและพื้นที่ผิวของตัวเร่งปฏิกิริยาจึงเป็นปัจจัยที่มีผลต่อประสิทธิภาพของตัวเร่งปฏิกิริยา ตัวเร่งปฏิกิริยาที่มีขนาดอนุภาคเล็กจะมีพื้นที่ผิวในการเกิดปฏิกิริยาสูงซึ่งจะช่วยให้เกิดปฏิกิริยาได้ดีขึ้น

- การกระจายตัวของโลหะ เมื่อโลหะมีการกระจายตัวที่ดีบนตัวรองรับจะทำให้มีพื้นที่ผิวที่ว่องไวต่อการเกิดปฏิกิริยามาก ตัวเร่งปฏิกิริยาที่ไม่เกิดการรวมตัวกันเป็นกลุ่มก้อน ทำให้มีเบดบังพื้นที่ผิวในการเกิดปฏิกิริยาของตัวเร่งปฏิกิริยา ส่งผลให้ตัวเร่งปฏิกิริยา มีประสิทธิภาพสูงในการเร่งปฏิกิริยา

- ปริมาตรช่องว่างของตัวเร่งปฏิกิริยา ปริมาตรช่องว่าง (Void volume) หรือปริมาตรรูพรุน (Pore volume) ของตัวเร่งปฏิกิริยา มีความสัมพันธ์กับพื้นที่ผิวของตัวเร่งปฏิกิริยา โดยตัวเร่งที่มีปริมาตรรูพรุนสูงจะมีพื้นที่ผิวของตัวเร่งปฏิกิริยาสูงด้วย ส่งผลให้การเร่งปฏิกิริยาของตัวเร่งปฏิกิริยาดีขึ้น

- การกระจายตัวของขนาดรูพรุนของตัวรองรับ การกระจายตัวของรูพรุนที่ดีก็เป็นอีกปัจจัยที่ส่งผลต่อประสิทธิภาพของตัวเร่งปฏิกิริยาซึ่งขนาดของรูพรุนก็จะแตกต่างกันตามชนิดของตัวรองรับที่นำมาใช้ การกระจายตัวของขนาดของรูพรุนสามารถวัดได้ 2 วิธี คือ การคายซัปไนโตรเจน (Nitrogen-desorption) และการแทนที่ด้วยปรอท (Mercury-penetration) ซึ่งสามารถจำแนกขนาดของรูพรุนตามขนาดของเส้นผ่าศูนย์กลางของรูพรุนได้ [27] ดังนี้

- ก. Sub-micropores คือ รูพรุนที่มีขนาดเส้นผ่าศูนย์กลางน้อยกว่า 0.8 นาโนเมตร
- ข. Micropores คือ รูพรุนที่มีขนาดเส้นผ่าศูนย์กลาง 0.8 - 2 นาโนเมตร
- ค. Mesopores คือ รูพรุนที่มีขนาดเส้นผ่าศูนย์กลาง 2 - 50 นาโนเมตร
- ง. Macropores คือ รูพรุนที่มีขนาดเส้นผ่าศูนย์กลางใหญ่กว่า 50 นาโนเมตร
- ความว่องไวของตัวเร่งปฏิกิริยา (Catalyst activity) ความว่องไวของตัวเร่งปฏิกิริยาจะบวกถึงความสามารถในการเร่งปฏิกิริยาของตัวเร่งปฏิกิริยา หรืออัตราเร็วที่ทำให้ปฏิกิริยาดำเนินเข้าสู่

สมดุลเคมีได้ ความว่องไวของตัวเร่งปฏิกิริยาจะขึ้นอยู่กับธรรมชาติของสารเคมี พื้นที่ผิว (Active surface) การกระจายตัวของขนาดรูปธุน และการผสมตัวปรับแต่ง (Modifiers) โปรโมเตอร์ (Promoter) หรือตัวยับยั้ง (Inhibitors) ซึ่งสามารถปรับเปลี่ยนสมบัติของตัวเร่งปฏิกิริยาได้ แต่ไม่สามารถเร่งปฏิกิริยาเองได้

2.7 เสถียรภาพของเซลล์เชือเพลิงพีอีเอ็ม

ข้อจำกัดในการพัฒนาเซลล์เชือเพลิงในเชิงพาณิชย์คือมีต้นทุนการผลิตสูง มีเสถียรภาพ และความคงทน (Durability) ต่ำ จึงมีงานวิจัยจำนวนมากมุ่งเน้นที่จะพัฒนาเซลล์เชือเพลิงให้มีเสถียรภาพในการใช้งานมากขึ้น เช่น ในปี ค.ศ. 2008 ประเทศญี่ปุ่นได้ทดลองผลิตเซลล์เชือเพลิงพีอีเอ็มเพื่อนำไปประยุกต์ใช้ในการขนส่ง พบร่วมกันว่าเซลล์เชือเพลิงที่ผลิตขึ้นสามารถใช้งานได้เป็นเวลาประมาณ 1,000 ชั่วโมง และใช้พลังงานไฟฟ้าได้ประมาณ 20,000 ชั่วโมง ซึ่งยังไม่เพียงพอต่อความต้องการ เมื่อเปรียบเทียบกับระยะเวลาในการใช้งานจริง กล่าวว่าคือ The United State Department of Energy (DOE) ได้กำหนดเป้าหมายในด้านอายุการใช้งานและประสิทธิภาพของเซลล์เชือเพลิงพีอีเอ็ม ในปี ค.ศ. 2010 - 2015 สำหรับการนำไปประยุกต์ใช้ในด้านต่างๆ ไว้ ดังนี้ เซลล์เชือเพลิงพีอีเอ็มที่ใช้ในด้านการขนส่งต้องมีอายุการใช้งานอย่างน้อย 5,000 ชั่วโมง หรือเทียบเท่ากับการใช้งานของรถยนต์ 150,000 ไมล์ และมีประสิทธิภาพในการทำงานร้อยละ 50 เซลล์เชือเพลิงพีอีเอ็มที่ติดตั้งในอุปกรณ์แบบประจำที่ เช่น โรงงานผลิตกระแสไฟฟ้าจะต้องมีอายุการใช้งานไม่ต่ำกว่า 60,000 - 80,000 ชั่วโมง หรือประมาณ 10 ปี ดังนั้นเสถียรภาพของเซลล์เชือเพลิงจึงขึ้นอยู่กับวัตถุประสงค์ในการนำไปใช้งาน และระยะเวลาการทำงานให้เหมาะสมกับการนำไปประยุกต์ใช้ในด้านต่างๆ ตารางที่ 2.3 แสดงข้อกำหนดทางเทคนิคที่แตกต่างกันตามวัตถุประสงค์ของการนำเซลล์เชือเพลิงไปใช้งานของบริษัท Nedstack

เสถียรภาพของเซลล์เชือเพลิงพีอีเอ็มขึ้นอยู่กับขั้นชั้นข้าไฟฟ้าประกอบเมมเบรนและข้าไฟฟ้า เป็นหลัก การเสื่อมสภาพของชั้นข้าไฟฟ้าประกอบเมมเบรนเกิดจากการเสื่อมสภาพขององค์ประกอบภายใน เช่น ตัวเร่งปฏิกิริยา เมมเบรน ตัวรองรับคาร์บอน ชั้นแพร์แก๊ส ข้าไฟฟ้า และปะเก็น เป็นต้น [28]

ตารางที่ 2.3 ข้อกำหนดทางเทคนิคที่แตกต่างกันตามวัตถุประสงค์ในการใช้งาน [29]

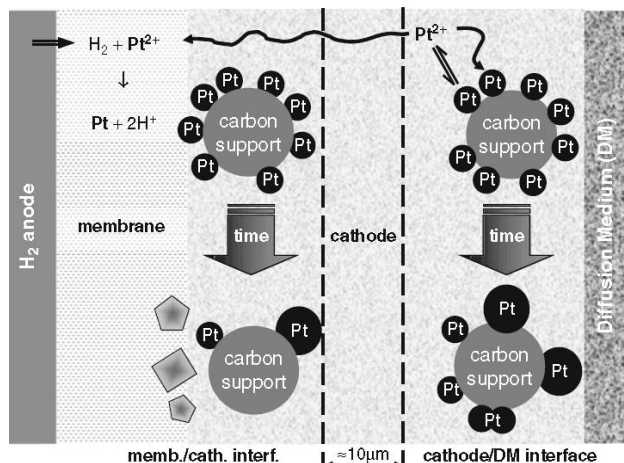
การประยุกต์ใช้	ระยะ	รับส	ผลิตงานสำรอง	ผลิต
				กระแสไฟฟ้า
ค่าใช้จ่ายของระบบ ต่อ 1 กิโลวัตต์	30	50 - 70	1000 – 2000	1000 – 2000
ระยะเวลาใน การเริ่มทำงาน	5 วินาที ที่ อุณหภูมิ 20 องศาเซลเซียส และ 30 วินาที ที่ อุณหภูมิ -20 องศาเซลเซียส	300 วินาที ที่ อุณหภูมิ 20 องศา และ -20 องศาเซลเซียส	ทันที	น้อยกว่า 30 นาที
ระยะเวลาใน การดำเนินงาน (ชั่วโมง)	5,000 ชั่วโมง (ช่วงเวลาเปิด - ปิด)	18,000 ชั่วโมง (ช่วงเวลาเปิด - ปิด)	1,500 - 4,000 ชั่วโมง	40,000 - 90,000 ชั่วโมง

2.7.1 การเสื่อมสภาพของตัวเร่งปฏิกิริยา

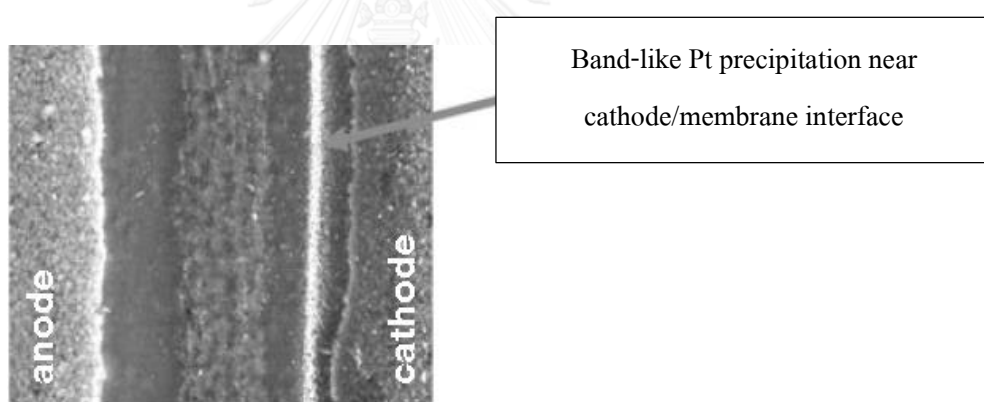
เซลล์เชือเพลิงเมื่อถูกใช้เป็นระยะเวลา ตัวเร่งปฏิกิริยาอาจเกิดการรวมตัว (Coarsening) การหลอมรวม (Sintering) หรือการละลาย (Dissolution) และมีขนาดอนุภาคใหญ่ขึ้น ส่งผลให้มีพื้นที่ในการเกิดปฏิกิริยาลดลง ซึ่งเป็นสาเหตุให้เกิดการสูญเสียศักย์ไฟฟ้าเนื่องจากโลหะ Pt เซลล์ของปฏิกิริยา กลไกการสูญเสียพื้นที่ในการเกิดปฏิกิริยาเมื่อมีการบ้อนศักย์ไฟฟ้าเป็นรอบ (Potential cycling) สามารถเกิดขึ้นได้ 3 รูปแบบ คือการละลายของแพลทินัมภายใต้ภาวะออกซิเดชัน (Pt dissolution) การเข้ามติดหรือการรวมตัวของอนุภาคแพลทินัม (Particle coalescence) และการเกาะกลุ่มของอนุภาคแพลทินัม (Pt agglomeration)

กลไกการสูญเสียพื้นที่ผิวของตัวเร่งปฏิกิริยาแพลทินัมบนตัวรองรับคาร์บอนแสดงดังภาพที่ 2.20 กล่าวคือเมื่อมีการบ้อนศักย์ไฟฟ้าแบบเป็นรอบที่ความหนาแน่นกระแสไฟฟ้าสูงจะเหนี่ยวนำให้เกิดการละลายของแพลทินัมกลایเป็นไอออนของแพลทินัมที่อยู่ในวัสดุภาคไอโอนอเมอร์และจะเกิดการพอกพูนย้อนกลับ (Redeposition) บนอนุภาคของแพลทินัมข้างเคียง ซึ่งการพอกพูนย้อนกลับ หรือเกิดการตกตะกอนของแพลทินัมในวัสดุภาคของไอโอนอเมอร์จะเกิดขึ้นบริเวณขั้วไฟฟ้าและ

เมมเบรนแสดงดังແລບສື່ງໃນກາພທີ 2.21 ເຮັດວຽກການຄໍາກາລະລາຍແລະກາປອກພູນຢ້ອນກລັບຂອງແພລທິນັມທີ່ເກີດຂຶ້ນວ່າ “Ostwald ripening” [30]



ກາພທີ 2.20 ກລັໄກກາຮັດວຽກສູນເສີ່ພື້ນທີ່ຜົວຂອງຕົວເຮົ່າປົກກີຣີຢາແພລທິນັມບນຕົວຮອງຮັບຄາຮບອນ [30]

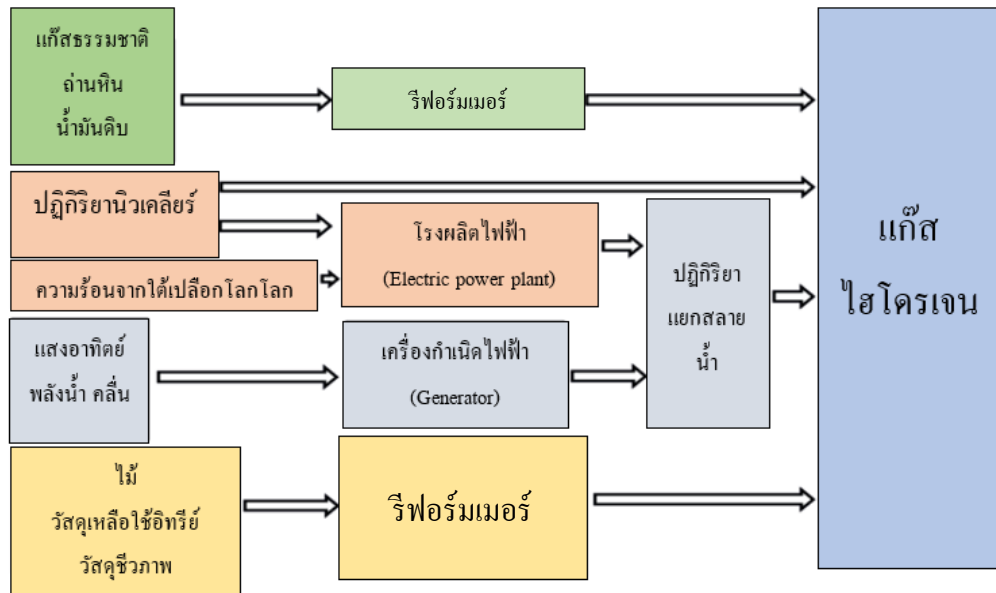


ກາພທີ 2.21 ກາພຕັດຂວາງຈາກກລັບຈຸລທຽບນີ້ເລັກຕຽນແບບສ່ອງກາດຂອງຂັ້ນປະກອບເມີນເບຣນເມື່ອຜ່ານການໃຊ້ຈານເປັນເວລາ 2,000 ຈົ່ວໂມງ [30]

2.8 ກະບວນກາຮັດວຽກແກ້ສໄໂໂໂຣເຈນ

ແກ້ສໄໂໂຣເຈນມັກຄູກໃຫ້ເປັນສາຮັດຕັ້ງຕັ້ນໃນເຊີລ්ເຊື້ອເພີ້ງພົອເອັນ ແຕ່ແກ້ສໄໂໂຣເຈນເປັນແກ້ສທີ່ໄຟໄດ້ເກີດຂຶ້ນເອງຫຼືອພບອີສະໄໝຮຽມຈາຕີ ປ່າຈຸບັນມີການນຳແກ້ສຮຽມຈາຕິມາເປັນວັດຖຸດົບໃນກາຮັດວຽກ ແກ້ສໄໂໂຣເຈນ ສ່ວນປະກອບໜັກຂອງແກ້ສຮຽມຈາຕິກີ່ວິດ ແກ້ສມືເຫນ (CH_4) ທີ່ສາມາຮັດໃຫ້ແກ້ສໄໂໂຣເຈນ ໄດ້ສູງ ນອກຈາກນັ້ນຍັງມີການນຳສາຮັດປະກອບໄໂໂຣຄາຮບອນໃນຮຽມຈາຕີ ເຊັ່ນ ຄ່ານທຶນ ວັດຖຸເຫຼືອໃຈ້ຈາກກາຮັດວຽກ ແລະ ດົກໂອຫຼວດທີ່ໄດ້ຈາກກາຮັດວຽກ ແກ້ສຮຽມຈາຕິ ທີ່ມາຈາກຮຽມຈາຕີ ເຊັ່ນ ແຮງລົມ ແຮງດັນນໍ້າ ພັລງງານ ແລື ດົກໂອຫຼວດທີ່ໄດ້ຈາກກາຮັດວຽກ ແກ້ສຮຽມຈາຕິ ທີ່ມາຈາກຮຽມຈາຕີ ເຊັ່ນ ແຮງລົມ ແຮງດັນນໍ້າ ພັລງງານ

นิวเคลียร์ ก็สามารถใช้เป็นแหล่งให้พลังงานเพื่อใช้ในกระบวนการสังเคราะห์แก๊สไฮโดรเจนได้เช่นกัน ภาพที่ 2.22 จะเห็นว่าวัตถุดิบที่ใช้ในการผลิตแก๊สไฮโดรเจนนั้นหลากหลาย

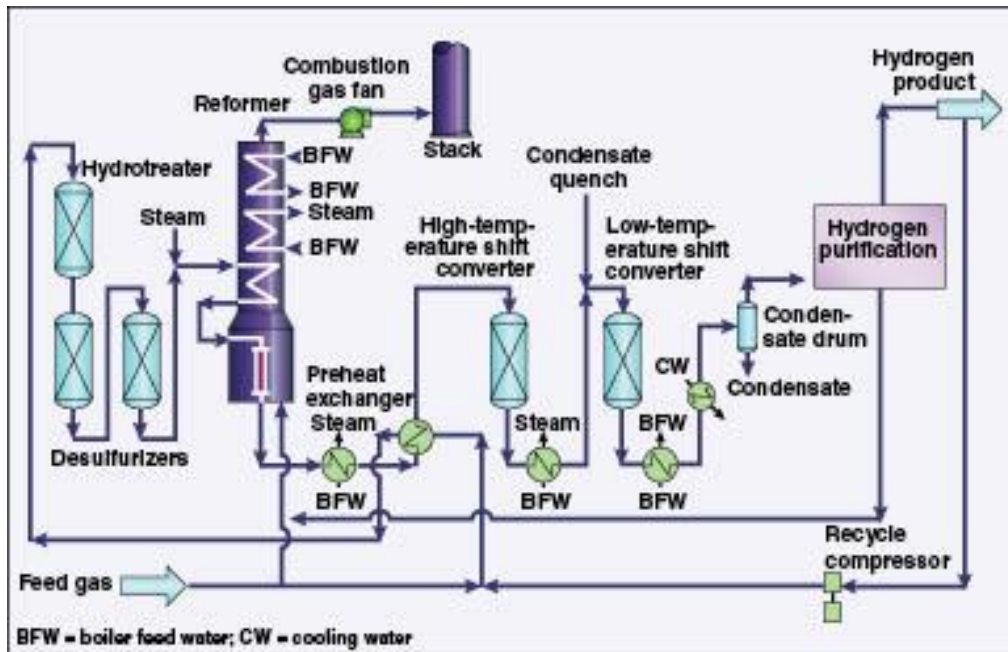


ภาพที่ 2.22 กระบวนการสังเคราะห์แก๊สไฮโดรเจนโดยใช้สารตั้งต้นและแหล่งให้พลังงานจากธรรมชาติ [31]

แนวคิดหลักที่ใช้ในกระบวนการผลิตแก๊สไฮโดรเจน คือการแยกไฮโดรเจนออกออกจากสารตั้งต้นโดยแหล่งให้แก๊สไฮโดรเจนจะเป็นตัวกำหนดกระบวนการที่ใช้ในการผลิต ปัจจุบันกระบวนการผลิตแก๊สไฮโดรเจนแยกออกได้เป็น 2 กระบวนการหลัก คือ กระบวนการทางเคมี และกระบวนการเชิงความร้อน โดยกระบวนการที่ดีนั้นต้องให้ผลคุณค่ากับการลงทุนและไม่ยุ่งยากหรือซับซ้อนจนเกินไป เพื่อลดต้นทุนกระบวนการผลิตแก๊สไฮโดรเจนที่มิใช้แล้วในเชิงพาณิชย์ มีรายละเอียดดังต่อไปนี้

2.8.1 การเปลี่ยนรูปด้วยไอ้น้ำ

กระบวนการผลิตแก๊สไฮโดรเจนในเชิงพาณิชย์ที่นิยม คือ การเปลี่ยนรูปด้วยไอ้น้ำ (Steam reforming) โดยมีสารตั้งต้นเป็นแก๊สรูมชาติหรือเอทานอล ปัจจุบันร้อยละ 95 ของแก๊สไฮโดรเจน หรือประมาณ 9,000,000 ตัน ที่ผลิตในประเทศสหรัฐอเมริกาจะใช้แก๊สรูมชาติเป็นวัตถุดิบเรียกกระบวนการนี้เรียกว่า การเปลี่ยนรูปมีเทนด้วยไอ้น้ำ (Steam methane reformation) ดังภาพที่ 2.23



ภาพที่ 2.23 กระบวนการเปลี่ยนรูปมีเทนด้วยไอน้ำ [32]

กระบวนการเปลี่ยนรูปมีเทนด้วยไอน้ำประกอบด้วย 2 ขั้นตอนที่สำคัญคือ การทำปฏิกิริยาเปลี่ยนรูปแก๊สธรรมชาติด้วยไอน้ำจะดำเนินการที่อุณหภูมิสูงโดยอาจจะมีการใช้ตัวเร่งปฏิกิริยาของแข็งร่วมด้วย ได้แก่ แก๊สคาร์บอนมอนอกไซด์และแก๊สไฮโดรเจนเป็นผลิตภัณฑ์ ดังสมการที่ (2.36) และ (2.37) จากขั้นตอนที่ 1 จะเห็นว่ามีแก๊สคาร์บอนมอนอกไซด์เกิดขึ้นร่วมด้วย ดังนั้นมีการนำไอน้ำเข้ามาทำปฏิกิริยากับแก๊สคาร์บอนมอนอกไซด์อีกรั้งเพื่อให้ได้แก๊สไฮโดรเจนเพิ่มขึ้น ดังแสดงในขั้นที่ 2 ปฏิกิริยานี้เรียกว่า Water-gas shift reaction (WGS) ดังปฏิกิริยาที่ (2.38)



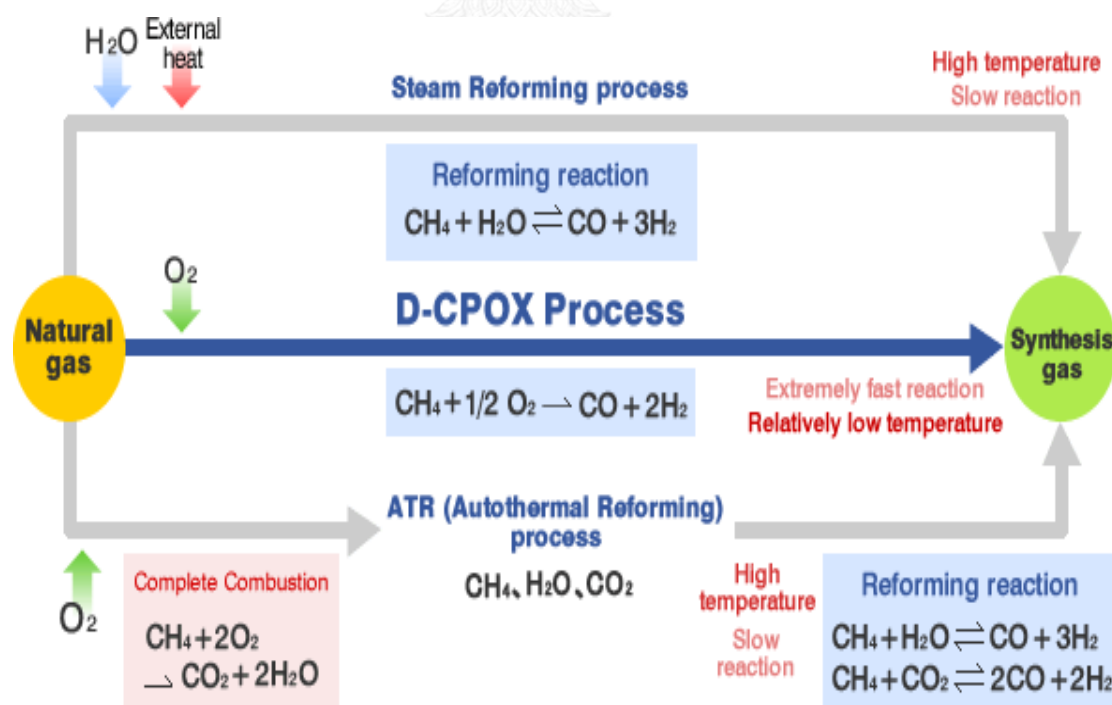
ปฏิกิริยาทั้งหมดเป็นปฏิกิริยาแบบผันกลับได้และต้องใช้ตัวเร่งปฏิกิริยา จากปฏิกิริยาเคมีแสดงให้เห็นว่าปฏิกิริยาในขั้นตอนที่ 1 เป็นปฏิกิริยาแบบดูดความร้อน (Endothermic reaction) และความสามารถในการเกิดปฏิกิริยาถูกควบคุมด้วยอิทธิพลทางเธรร์โมไดนามิกส์ เพื่อให้ได้แก๊สไฮโดรเจนในปริมาณสูงจำเป็นต้องทำปฏิกิริยาที่อุณหภูมิสูง จากเหตุผลข้อนี้ทำให้ต้นทุนในการผลิตแก๊สไฮโดรเจนสูงตามไปด้วย และเพื่อเป็นการเพิ่มปริมาณแก๊สไฮโดรเจนที่สังเคราะห์ได้ สามารถทำได้

โดยการคัดแยกแก๊สไฮโดรเจนหรือแก๊สคาร์บอนไดออกไซด์ออกจากห่วงปั๊กิริยาดำเนินไปเพื่อเป็นการรับกวนสมดุลของปั๊กิริยา และ การใช้ตัวเร่งปั๊กิริยา

การใช้แอลกอฮอล์ชนิดอื่น เช่น เอทานอลหรือเมทานอล เป็นสารตั้งต้นในการผลิตแก๊สไฮโดรเจน ที่ได้รับความสนใจจากนักวิจัยเนื่องจากสารตั้งกล่าวมาจากการหมักวัสดุจากธรรมชาติหรือวัสดุเหลือใช้จากการเกษตร อย่างไรก็ได้การใช้แอลกอฮอล์เป็นสารตั้งต้นมีข้อด้อยกว่าแก๊สมีเทน คือ เกิดผลิตภัณฑ์ชนิดอื่นปะปนมากับแก๊สไฮโดรเจนที่ผลิตได้ ทำให้ต้องเพิ่มขั้นตอนการทำให้แก๊สไฮโดรเจนบริสุทธิ์ ส่งผลให้ค่าใช้จ่ายสูงตามไปด้วย และตัวเร่งปั๊กิริยาที่ใช้มักเกิดการเสื่อมสภาพ (Deactivation) ได้ง่าย ดังนั้นการใช้สารตั้งต้นแอลกอฮอล์ในการผลิตแก๊สไฮโดรเจนจึงยังอยู่ในขั้นตอนการวิจัย [33]

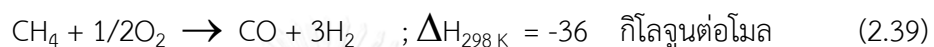
2.8.2 การออกแบบระบบบางส่วน

ปั๊กิริยาออกซิเดชันแบบบางส่วน (Partial oxidation reaction) เป็นปั๊กิริยาที่ต้องใช้ตัวเร่งปั๊กิริยา เพื่อให้ปั๊กิริยาดำเนินไปข้างหน้า บางครั้งเรียกว่า แก๊สฟิเชชัน (Gasification) ซึ่งเป็นปั๊กิริยาที่ใช้ความร้อนในการผลิตแก๊สไฮโดรเจน สารตั้งต้นที่นิยมใช้มักเป็นสารประกอบอินทรีย์ เช่น แก๊สมีเทน หรือเอทานอล เป็นต้น โดยที่ไปปั๊กิริยานี้มักดำเนินการที่อุณหภูมิสูงกว่า 700 องศาเซลเซียส กลไกการเกิดปั๊กิริยาแสดงดังภาพที่ 2.24



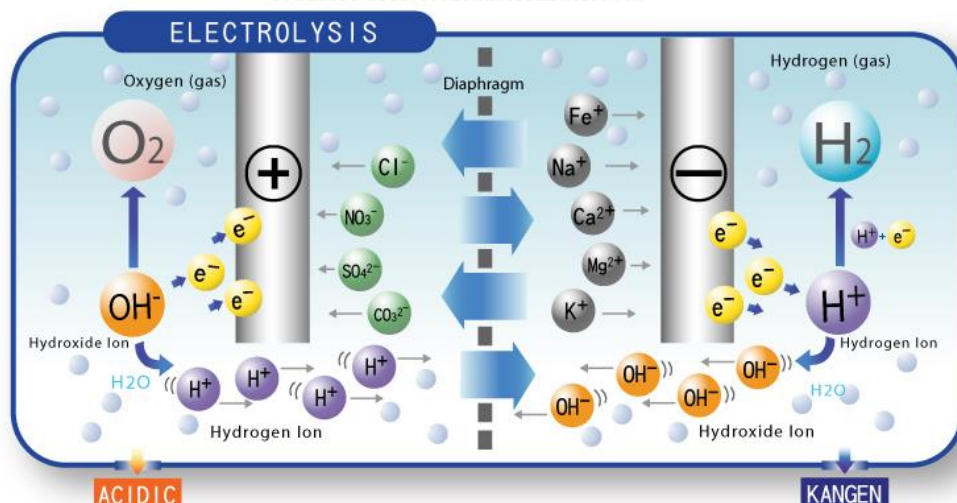
ภาพที่ 2.24 กระบวนการออกซิเดชันแบบบางส่วน [34]

ปฏิกิริยาออกซิเดชันแบบบางส่วนของแก๊สมีเทน ทำให้ได้แก๊ไฮโดรเจนและแก๊สคาร์บอนมอนอกไซด์ ซึ่งปฏิกิริยานี้เป็นปฏิกิริยาแบบคายความร้อนปานกลาง และให้อัตราส่วนระหว่างแก๊ไฮโดรเจนและคาร์บอนมอนอกไซด์ประมาณ 2 ซึ่งเป็นอัตราส่วนที่เหมาะสมต่อปฏิกิริยา Fischer -Tropsch synthesis หรือชินแก๊ส (Synthesis gas) แต่เมื่อพิจารณาในกรณีการให้แก๊สไฮโดรเจนนั้นยังไม่มีประสิทธิภาพเท่ากับปฏิกิริยาการเปลี่ยนรูปมีเทนด้วยไอน้ำ สมการแสดงการเกิดปฏิกิริยาออกซิเดชันแบบบางส่วนทำให้ได้แก๊สคาร์บอนมอนอกไซด์และแก๊ไฮโดรเจน แสดงดังปฏิกิริยาที่ (2.39) และสมการแสดงปฏิกิริยาออกซิเดชันแบบสมบูรณ์ (Complete combustion) ทำให้ได้แก๊สคาร์บอนไดออกไซด์และน้ำ ดังปฏิกิริยาที่ (2.40)



2.8.3 กระบวนการแยกสลายน้ำด้วยกระแสไฟฟ้า

กระบวนการแยกสลายน้ำด้วยกระแสไฟฟ้า (Electrolysis process) เป็นการผ่านกระแสไฟฟ้าลงไบในน้ำ ทำให้เกิดการแตกตัวของน้ำ เช่น ไฮโดรเจนอะตอมและออกซิเจนอะตอมอะตอมชนิดที่เหมือนกันจะเกิดการรวมตัวกันให้แก๊สไฮโดรเจนและแก๊สออกซิเจน แสดงดังปฏิกิริยาที่ (2.41) และภาพที่ 2.25

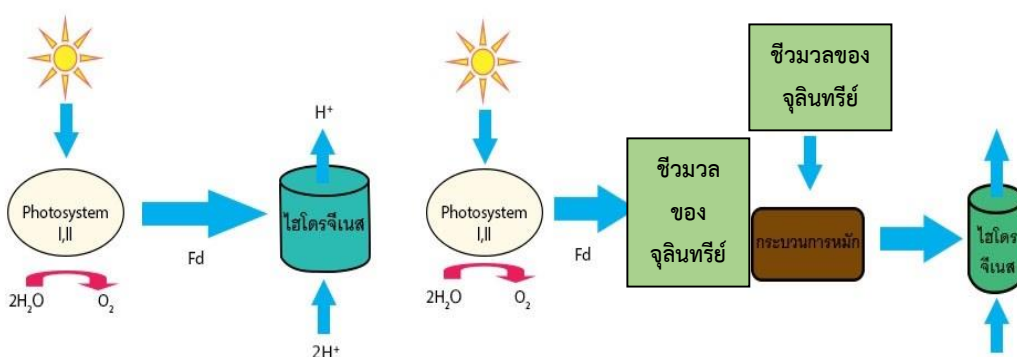


ภาพที่ 2.25 กระบวนการแยกสลายน้ำด้วยกระแสไฟฟ้า [35]

2.8.4 กระบวนการเชิงแสง

กระบวนการแยกสลายน้ำโดยใช้แสงเป็นกระบวนการที่มีนักวิจัยจำนวนมากให้ความสนใจ โดยผู้ริเริ่มต้นงานวิจัยด้านนี้คือ Fujishima และ Honda ในปี ค.ศ. 1972 [36] เทคโนโลยีของกระบวนการเชิงแสงที่ใช้ในการผลิตแก๊สไฮโดรเจนสามารถแยกออกเป็น 4 ชนิด คือ

1. เซลล์ไฟฟ้าแสงอาทิตย์ (Photovoltaic cells) ที่ต่อ กับเครื่องแยกน้ำด้วยกระแสไฟฟ้า (Electrolyzer)
2. เซลล์เคมีไฟฟ้าแสงอาทิตย์ (Photoelectrochemical cells) พร้อมขั้วไฟฟ้ากึ่งตัวนำ 1-2 ขั้ว
3. กระบวนการเชิงชีวภาพของจุลินทรีย์โดยใช้แสง (Photobiological systems)
4. ระบบการย่อยสลายโดยใช้แสง (Photodegradation systems)

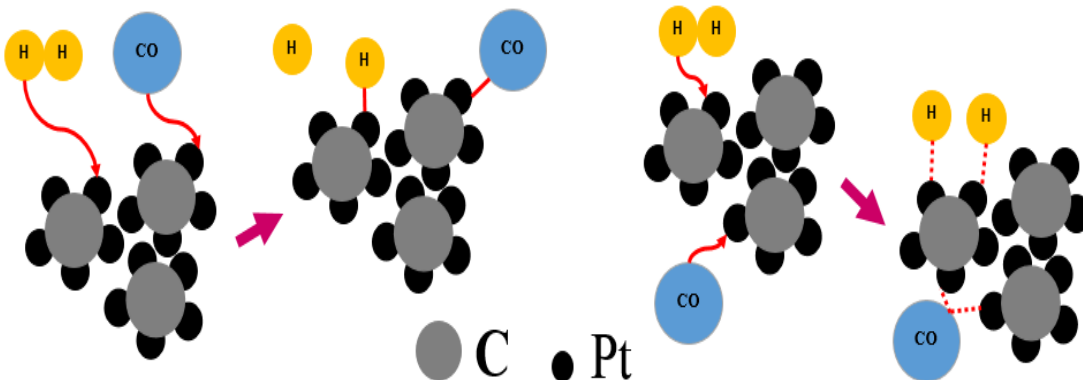


ภาพที่ 2.26 กระบวนการสังเคราะห์ด้วยแสง [37]

CHULALONGKORN UNIVERSITY

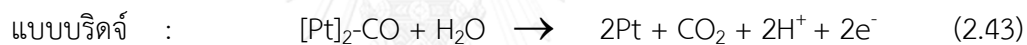
2.9 ความเป็นพิษของแก๊สคาร์บอนมอนอกไซด์ (CO poisoning)

เนื่องจากแก๊สไฮโดรเจนที่ผลิตจากการกระบวนการเปลี่ยนรูปของสารประกอบไฮดรัสตอร์บอน มักมีการปนเปื้อนด้วยแก๊สคาร์บอนมอนอกไซด์ เมื่อนำแก๊สไฮโดรเจนมาใช้ป้อนเข้าสู่ระบบแก๊ส คาร์บอนมอนอกไซด์ที่ปะปนมากับแก๊สไฮโดรเจน สามารถดูดซับบนตัวเร่งปฏิกิริยาแพลทินัมและปกคุล์ฟันพีนิวของตัวเร่งปฏิกิริยา ดังภาพที่ 2.27 ส่งผลทำให้บริเวณพีนิวเร่งปฏิกิริยา (Active site) ลดลง ประสิทธิภาพของตัวเร่งปฏิกิริยาลดลงตามไปด้วย ทำให้สมรรถนะและประสิทธิภาพของเซลล์ เชื้อเพลิงที่ได้ลดลง



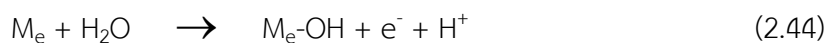
ภาพที่ 2.27 การดูดซับของคาร์บอนมอนอกไซด์บนตัวเร่งปฏิกิริยาแพลทินัมบนคาร์บอน [38]

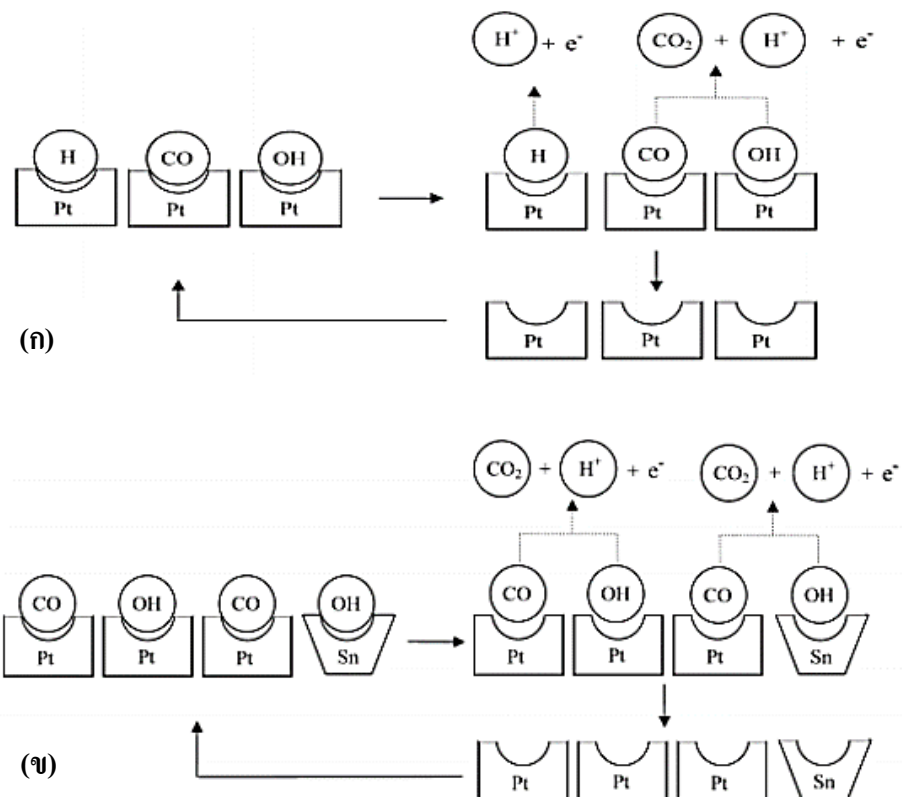
การดูดซับของแก๊สคาร์บอนมอนอกไซด์บนพื้นที่ผิวของตัวเร่งปฏิกิริยาแพลทินัมสามารถเกิดขึ้นได้ 2 ลักษณะ คือแบบด้านบนและแบบบริดจ์ ดังปฏิกิริยาที่ (2.42) – (2.43)



ทำให้โมเลกุลของแก๊สไฮโดรเจนไม่สามารถเข้าไปดูดซับบนพื้นผิวของแพลทินัมเพื่อเกิดการแตกตัวได้ ทำให้ประสิทธิภาพในการผลิตกระแสไฟฟ้าลดลง นอกจากนี้ยังทำให้อายุการใช้งานของเซลล์เชื่อมพลังสั่นลง ดังนั้นจึงมีความจำเป็นที่ต้องทำให้แก๊สคาร์บอนมอนอกไซด์ที่ปะปนอยู่ในแก๊สไฮโดรเจน มีปริมาณน้อยที่สุด ก่อนที่จะส่งเข้าสู่ระบบเซลล์เชื่อมพลัง การกำจัดแก๊สคาร์บอนมอนอกไซด์สามารถดำเนินการได้ดังนี้

ก. พัฒนาตัวเร่งปฏิกิริยาโลหะผสมฐานแพลทินัมสำหรับใช้เป็นตัวเร่งปฏิกิริยาด้านแอลกอฮอล์ที่ทนต่อแก๊สคาร์บอนมอนอกไซด์ เช่น PtRu/C PtMo/C PtSn/C PtNi/C โดยกลไกการเกิดปฏิกิริยาออกซิเดชันของแก๊สคาร์บอนมอนอกไซด์บนตัวเร่งปฏิกิริยา แสดงดังปฏิกิริยาที่ (2.44) – (2.45) และตัวอย่างการเกิดปฏิกิริยาออกซิเดชันของแก๊สคาร์บอนมอนอกไซด์บนตัวเร่งปฏิกิริยา Pt/C และ PtSn/C แสดงดังภาพที่ 2.28 ซึ่งการออกซิเดชันดังกล่าวจะเกิดขึ้นได้ดีในภาวะที่มีความชื้นในระบบ





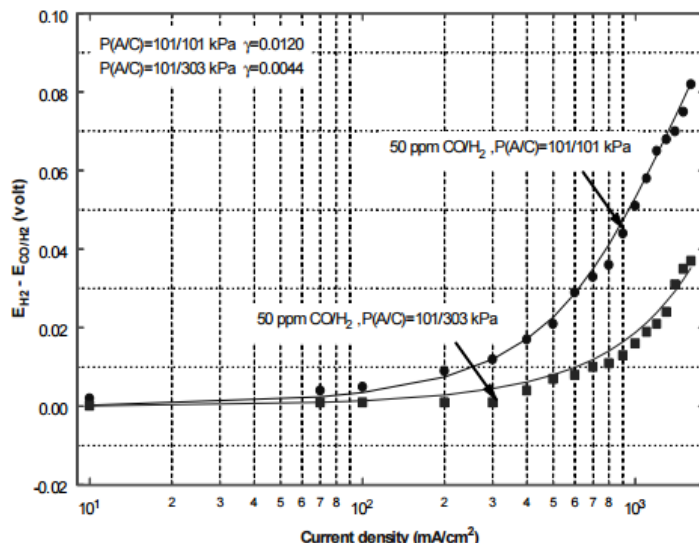
ภาพที่ 2.28 การเกิดปฏิกิริยาออกซิเดชันแก๊สคาร์บอนมอนอกไซด์บน (ก) ตัวเร่งปฏิกิริยา Pt/C และ (ข) ตัวเร่งปฏิกิริยา PtSn/C [39]

ตารางที่ 2.4 การพัฒนาตัวเร่งปฏิกิริยาโลหะฐานแพลทินัมที่สามารถทนทานต่อแก๊สคาร์บอนมอนอกไซด์ [40]

Catalyst architecture	Catalyst formula	Electrochemical tests performed	Results and mechanisms
Binary alloys (Pt-M/C)	Pt-Ru/C	PEM fuel cell operation at 85 °C with H ₂ /x ppm CO	Pt-Ru/C exhibits significant CO and CO ₂ tolerance compared to Pt/C due to both electronic and bifunctional mechanisms
	Pt-Mo/C	Test in 1 M H ₂ SO ₄ in a stream of H ₂ /x ppm CO – PEM fuel cell operation at 85 °C with H ₂ /x ppm CO	Pt-Mo/C performs much better (3-4 folds) than Pt-Ru/C. The dominating mechanism is the bifunctional mechanism. Stability is an issue
	Pt-Sn/C	– Test in 1 M H ₂ SO ₄ in a stream of H ₂ /x ppm CO – PEM fuel cell operation at 85 °C with H ₂ /x ppm CO	Pt-Sn/C exhibits enhanced CO tolerance compared to Pt-Ru/C due to the electronic and bifunctional mechanisms. Stability is an issue
	Pt-Fe/C	– Test in 0.5 M H ₂ SO ₄ in a stream of H ₂ /x ppm CO – PEM fuel cell operation at 85 °C with H ₂ /x ppm CO	Superior CO tolerance is observed due to formation of Pt-skin and electronic effect
	Pt-Ni/C	– Test in 0.5 M HClO ₄ – PEM fuel cell operation at 85 °C with H ₂ /100 ppm CO	Superior CO tolerance is observed compared to Pt/C
	Pt-W/C	– Test in 0.5 M H ₂ SO ₄ in a stream of H ₂ /x ppm CO – PEM fuel cell operation at 85 °C with H ₂ /x ppm CO	Tungsten exhibits a co-catalytic activity for hydrogen oxidation in the presence of CO, although the effect is not as effective as that of Ru
	Pt-Co/C	– Test in 0.5 M H ₂ SO ₄ in a stream of H ₂ /x ppm CO – Tests under PEMFC operating conditions	Cobalt shifts the CO oxidation onset potential negatively. Stability is an issue
	Pt-Ce/C	– Test in 0.05 M H ₂ SO ₄ /0.1 M HClO ₄ in a stream of H ₂ /x ppm CO Both fuel cell (80 °C) and electrochemical cell (0.5 M H ₂ SO ₄) were used	Pt-CeO ₂ /C with 20% Ce content exhibited a very higher CO tolerant activity
	Pt-Pb/C	– Test in 0.1 M sulfuric acid solution	Pt-Pb exhibits lower oxidation onset potential and a higher CO tolerance compared to Pt
Core-shell architecture	PtSn@Pt	– Test in 0.5 M sulfuric acid solution saturated with CO	The core-shell structure presents much higher CO tolerance compared to that of commercial E-TEK PtRu
	Pt ₃ Fe@Pt	– Test in 0.5 M H ₂ SO ₄ in a stream of H ₂ /x ppm CO	Superior CO tolerance is observed due to formation of Pt-skin and electronic effect
	Pt@Fe _x O _y Ru@Pt	– Test at room temperature in 0.5 M HClO ₄	The CO oxidation onset potential is shifted negatively due to ligand effect
	MoO _x @Pt	– Test in 0.5 M H ₂ SO ₄ at 298 K	MoO _x @Pt core-shell nanoparticles exhibit significantly higher CO tolerance than that of PtRu alloy

ข. การป้อนอากาศปริมาณน้อยเข้าในฝังแອโนด (Internal air bleeding method) เพื่อให้แก๊สออกซิเจนเข้ามาย่างผ่านเมมเบรนจากฝั่งแค็国度มายังแອโนด และเกิดปฏิกิริยาออกซิเดชันกับแก๊สคาร์บอนมอนอกไซด์ ทำให้ประสิทธิภาพของเซลล์เชื้อเพลิงดีขึ้น แต่การทำแบบนี้ต้องเพิ่มความดันฝังแค็国度และเมมเบรนต้องบางมาก เพื่อให้แก๊สออกซิเจนเคลื่อนที่ไปที่ฝั่งแອโนดได้ดี โดย Wang และคณะ [41] ศึกษาการออกซิเดชันแก๊สคาร์บอนมอนอกไซด์ด้วยแก๊สออกซิเจนที่ฝังแອโนด โดยใช้โลหะผสมฐานแพลทินัมเป็นตัวเร่งปฏิกิริยา ป้อนแก๊สไออกไซด์เจนที่มีการปนเปื้อนของแก๊ส

การบอนมอนอกใช้ด้วยความเข้มข้น 50 ส่วนต่อส่วน เหมะเบนหนา 5 ไมโครเมตร โดยควบคุม อุณหภูมิภายในของเซลล์เชื้อเพลิงที่ 70 องศาเซลเซียส อุณหภูมิแก๊สไฮโดรเจนฟั่งแอนด์ 75 องศาเซลเซียส และฟั่งแคนโทดที่ 65 องศาเซลเซียส ทดสอบโดยให้ความดันที่ต่างกันระหว่างฟั่งแคนโทดและฟั่งแอนด์คือ 101/101 กิโลปascall และ 101/303 กิโลปascall ตามลำดับ พบว่าเมื่อเพิ่มความดันขึ้น แก๊สออกซิเจนจะเคลื่อนชีงจากฟั่งแคนโทดไปยังฟั่งแอนด์ได้เพิ่มขึ้นที่จะช่วยให้เกิดปฏิกิริยาออกซิเดชันของแก๊สคาร์บอนมอนอกใช้ด้วยมากขึ้น ส่งผลให้ความหนาแน่นกระแสไฟฟ้าเพิ่มขึ้นดังภาพที่ 2.29



ภาพที่ 2.29 การเปรียบเทียบความหนาแน่นกระแสไฟฟ้าเพิ่มขึ้นดังภาพที่ 2.29

ค. การพัฒนาเยื่อแลกเปลี่ยนโปรตอนให้สามารถทำงานได้ที่อุณหภูมิสูงโดย Roswitha Zeis [42] ศึกษาการเตรียมเมมเบรนที่สามารถใช้ในเซลล์เชื้อเพลิงพื้นที่อุณหภูมิสูง (High-temperature polymer electrolyte membrane fuel cells; HT-PEMFC) โดยมีการเติมหมู่ฟังก์ชันจำพวกพอลิเบนซิมีเดคากโซล (Polybenzimidazole; PBI) ทำให้เมมเบรนมีลักษณะพื้นที่ผิวต่างกัน เสถียรที่อุณหภูมิสูง นำโปรตอนได้ดีในภาวะที่มีความชื้นต่ำ และช่วยให้กรดฟอฟอริกดูดซับบนตัวเร่งปฏิกิริยาแพลทินัมส่งผลในจนพลศาสตร์ทางเคมีดีขึ้น

ง. การใช้ปฏิกิริยาการเกิดมีเทน (CO methanation) เป็นอิควิวิเน็งที่สามารถทำให้แก๊สไฮโดรเจนที่อยู่ในแก๊สผสมมีความบริสุทธิ์มากขึ้น โดยการกำจัดแก๊สคาร์บอนมอนอกใช้ดังปฏิกิริยาที่ (2.46) – (2.47)



จากปฏิกริยาจะเห็นได้ว่าการเกิดปฏิกริยามีเหตุสามารถเกิดขึ้นได้สองโดยไม่ต้องมีการเติมแก๊สอื่นเข้าสู่ระบบ และใช้ปฏิกริยาดังกล่าวสามารถลดความเข้มข้นของแก๊สคาร์บอนมอนอกไซด์ในปริมาณมาก แต่ปฏิกริยาการเกิดมีเหตุต้องใช้แก๊สไฮโดรเจนเป็นสารตั้งต้น ทำให้สูญเสียแก๊สไฮโดรเจนเป็นจำนวนมาก จึงทำให้วิธีการนี้จึงยังไม่เหมาะสมที่จะนำมาใช้ในการทำให้แก๊สไฮโดรเจนบริสุทธิ์ นอกจากนี้ตัวเร่งปฏิกริยาที่ใช้ในปฏิกริยานี้เป็นกลุ่มแพลทินัม ซึ่งมีราคาแพงและทำงานที่อุณหภูมิสูง อีกด้วย

จ. การใช้ปฏิกริยาการเลือกเกิดการบอนมอนอกไซด์ออกซิเดชัน (Selective CO oxidation) เป็นวิธีกำจัดแก๊สคาร์บอนมอนอกไซด์ที่ได้รับความนิยม เนื่องจากให้แก๊สไฮโดรเจนที่มีความบริสุทธิ์สูงและมีการสูญเสียแก๊สไฮโดรเจนเพียงเล็กน้อย วิธีการนี้จะเติมแก๊สออกซิเจนเข้าสู่ระบบ เพื่อให้เกิดการเผาไหม้กับแก๊สคาร์บอนมอนอกไซด์ แต่การที่เติมแก๊สออกซิเจนเข้าสู่ระบบ มีโอกาสที่แก๊สออกซิเจนจะเข้าไปทำปฏิกริยากับแก๊สไฮโดรเจนตามปฏิกริยาที่ (2.48) – (2.49) ดังนั้น ตัวเร่งปฏิกริยาที่ใช้ต้องมีความจำเพาะเจาะจงในการเลือกเกิดปฏิกริยาออกซิเดชันของแก๊สคาร์บอนมอนอกไซด์ (ปฏิกริยาที่ 2.48) ได้ดีกว่าปฏิกริยาการเผาไหม้แก๊สไฮโดรเจน (ปฏิกริยาที่ 2.49) โดยตัวเร่งปฏิกริยาต้องมีความสามารถในการกำจัดแก๊สคาร์บอนมอนอกไซด์ได้ที่อุณหภูมิต่ำๆ และให้แก๊สไฮโดรเจนที่มีความบริสุทธิ์สูง

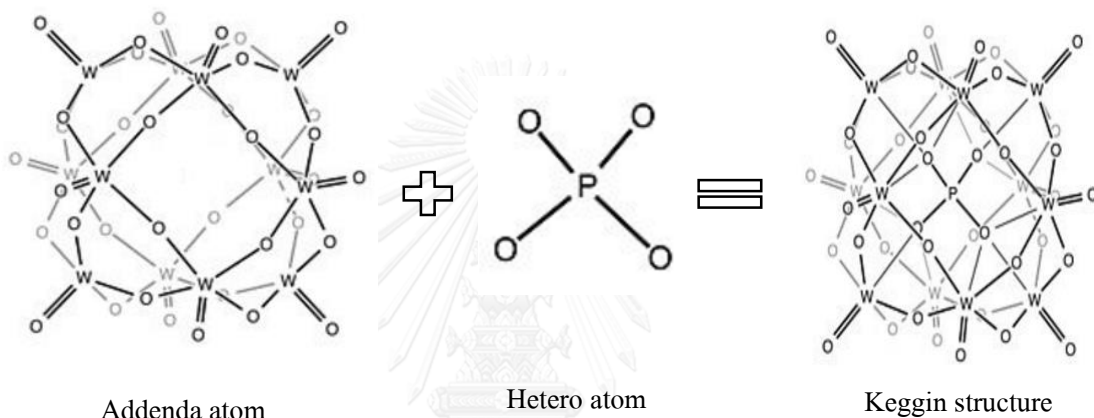


2.10 เอเทอโรโพลิแอcid

เอเทอโรโพลิแอcid (Heteropoly acid) สามารถประยุกต์ได้กับงานหลายประเภท เช่น งานทางการแพทย์ การวิเคราะห์เชิงเคมี เทคโนโลยีทางของแข็ง และการเร่งปฏิกริยา เอเทอโรโพลิแอcid สามารถสังเคราะห์ด้วยปฏิกริยาโพลิเมอร์ไรเซชันของออกไซแอนิโอน (Oxoanions) ได้เป็นกลุ่มสารประกอบของโลหะ-ออกซิเจน (Metal-oxygen cluster) โลหะส่วนใหญ่ที่ใช้ ได้แก่ วานเดียม (V) ในโอเบียม (Nb) แทนทาลัม (Ta) โมลิบเดียม (Mo) และทังสเทน (W) เป็นต้น พอลิแอนิโอน เหล่านี้ถูกสร้างโดยเริ่มจากขอบและมุม โดยทั่วไปออกซิเจนในโครงสร้างจะจัดเรียงแบบออกตะหีดron (MO₆) โครงสร้างของเอเทอโรโพลิแอcid โดยทั่วไปสามารถอธิบายได้ด้วยสูตรทางเคมีอย่างง่าย คือ [X_nM_pO_q] โดยที่ M เป็นโมลิบเดียม (Mo) และทังสเทน (W) X คือกลุ่มของโลหะแทรนซิชันที่เกิดพนังกับออกซิเจนด้วยโครงสร้างเตตระอะไฮดرون

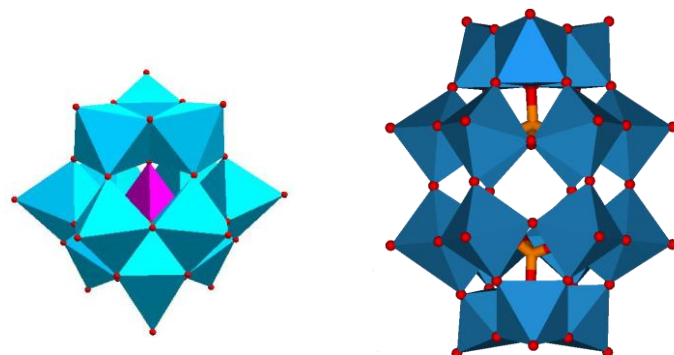
เยเทอโรโพลิแอซิดชนิดแรกถูกค้นพบโดย Berzelius ในปี ค.ศ. 1826 คือฟอสโฟโมลิบดิกแอซิด ($\text{PMo}_{12}\text{O}_{40}^{3-}$) ต่อมาในปี ค.ศ. 1864 Marignac ได้ค้นพบไอโซเมอร์แบบแอลฟ่า (α) และเบต้า (β) ของซิลิโคลิมิบดิกแอซิด ($\text{SiMo}_{12}\text{O}_{40}^{4-}$) ซึ่งเป็นไอโซเมอร์ของฟอสโฟโมลิบดิกแอซิด ส่วนไอโซเมอร์แบบแอลฟាដอกล่าวถูกรู้จักในชื่อโครงสร้างแบบเค็กกินส์ (Keggin) ซึ่งในปัจจุบันโครงสร้างดังกล่าวถูกรู้จักในชื่อโครงสร้างแบบเค็กกินส์ (Keggin structure)

โครงสร้างแบบเค็กกินส์ประกอบด้วยเยเทอโรอะตอมเป็นอะตอมที่ล้อมรอบด้วยออกซิเจน 4 ตัว (XO_4) อยู่ตรงกลางและถูกล้อมรอบด้วย Addenda atom หรือมีออกไซด์รอนของ MO_6 จำนวน 12 ตัว ดังแสดงในภาพที่ 2.30



ภาพที่ 2.30 โครงสร้างแบบเค็กกินส์ของฟอสโฟทังสติกแอซิด [43]

นอกจากโครงสร้างแบบเค็กกินส์แล้วยังมีโครงสร้างแบบเวลล์-ดาวน์สัน (Well-Downson) หรือเวลล์-ดาวน์สัน แซนวิช (Well-Downson sandwich) ดังภาพที่ 2.31 เป็นต้น



ภาพที่ 2.31 โครงสร้างแบบเค็กกินส์ เวลล์-ดาวน์สัน หรือ เวลล์-ดาวน์สัน แซนวิช [44]

เยทอโรโพลิแอซิดหรือพอลิออกโซเมทาเลตมีข้อดี คือ สามารถใช้เป็นตัวเร่งปฏิกิริยาในการออกซิเดช์ มีเสถียรที่อุณหภูมิสูง และนำโปรดอนได้ดี จึงมีงานวิจัยประยุกต์เยทอโรโพลิแอซิดหรือพอลิออกโซเมทาเลต เช่น กรดฟอสฟومิบิค หรือกรดฟอสฟวานิดิกผสมกับตัวเร่งปฏิกิริยาแพลทินัมบนคาร์บอนเพื่อออกซิเดช์แก๊สคาร์บอนมอนอกไซด์ แต่ข้อเสียของเยทอโรโพลิแอซิด คือ มีสภาพการละลายน้ำสูง และมีพื้นที่ผิวน้อย จึงมีเสถียรภาพและกัมมันตภาพในการเร่งปฏิกิริยาต่ำ การลดปัญหาดังกล่าวสามารถทำได้โดยการแทนที่ไฮดรเจนในโครงสร้างเยทอโรโพลิแอซิดด้วยแคทไอโอน โดยแคทไอโอนที่สามารถเติมลงไปมีผลอย่างนิดแสลงดังตารางที่ 2.5 พบว่าโพแทสเซียมไออกอน รูบิเดียมไออกอน ซีเชียมไออกอน และแอมโมเนียมไออกอน มีสมบัติไม่ละลายน้ำ และมีพื้นที่ผิวมาก เหมาะนำมาใช้แทนที่ในโครงสร้างเยทอโรโพลิแอซิด เพื่อลดปัญหาการละลายน้ำและเพิ่มประสิทธิภาพของตัวเร่งปฏิกิริยาให้ดีขึ้น [45]

ตารางที่ 2.5 ชนิดและสมบัติของแคทไอโอนในสารประกอบเกลือเยทอโรโพลิแอซิด [45]

ชนิดแคทไอโอน (Cation)	รัศมีไออกอน (Ionic radius, Å)	ความสามารถ ในการละลาย (Solubility)	พื้นที่ผิว (Surface area, m ² g ⁻¹)
Li ⁺	0.68	ละลาย	<10
Na ⁺	0.97	ละลาย	<10
Ag ⁺	1.26	ละลาย	<10
Mg ²⁺	0.66	ละลาย	<10
Ca ²⁺	0.99	ละลาย	<10
Cu ²⁺	0.72	ละลาย	<10
Zn ²⁺	0.74	ละลาย	<10
Al ³⁺	0.51	ละลาย	<10
Fe ³⁺	0.64	ละลาย	<10
La ³⁺	1.02	ละลาย	<10
Ce ³⁺	1.03	ละลาย	<10
K ⁺	1.33	ไม่ละลาย	>100
Rb ⁺	1.47	ไม่ละลาย	>100
Cs ⁺	1.67	ไม่ละลาย	>100
NH ₄ ⁺	1.43	ไม่ละลาย	>100

2.11 งานวิจัยที่เกี่ยวข้อง

Stanis และคณะ [2] ศึกษาเยหอโรโพลิแอชิดโดยใช้หั้งสแตน โมลิบดีนัม และวานเดียม เข้า แทนที่ลงในโครงสร้าง ซึ่งโครงสร้างของเยหอโรโพลิแอชิดที่ใช้ทดสอบ คือ แบบเค็กกินส์ (Keggins Structure) แบบเวล-ดาวสัน (Wells-Dawson) และแบบเวล-ดาวสันแซนวิช (Wells-Dawson Sandwich) เตรียมบนตัวเร่งปฏิกิริยา Pt/C ที่มีผลต่อความสามารถในการออกซิไดซ์แก๊ส คาร์บอนมอนอกไซด์ที่ป่นเปี้ยนในกราฟฟิสป้อนเชื้อเพลิงในปริมาณ 100 ส่วนต่อสิ้นส่วน พบร่วมการใช้ เยหอโรโพลิแอชิดสามารถเพิ่มสมรรถนะของตัวเร่งปฏิกิริยา Pt/C ด้านแอนโโนดในภาวะที่มีการ ป่นเปี้ยนด้วยแก๊สคาร์บอนมอนอกไซด์ โดยเฉพาะเยหอโรโพลิแอชิดที่มีโครงสร้างแบบเค็กกินส์ การ ใช้เยหอโรโพลิแอชิดที่มีโมลิบดีนัมแทนที่ในโครงสร้างให้ผลของความหนาแน่นกราฟฟิสไฟฟ้าที่ ศักย์ไฟฟ้า 0.5 โวลต์ เท่ากับ 350 มิลลิแอมแปร์ต่อตารางเซนติเมตร และที่มีวานเดียมแทนที่ลงใน โครงสร้างที่มีโมลิบดีนัม 3 อะตอม และ 2 อะตอม ให้ผลของความหนาแน่นกราฟฟิสไฟฟ้าที่ศักย์ไฟฟ้า 0.5 โวลต์ เท่ากับ 525 มิลลิแอมแปร์ต่อตารางเซนติเมตร และ 410 มิลลิแอมแปร์ต่อตารางเซนติเมตร ตามลำดับ จึงมีความหนาแน่นแก๊สคาร์บอนมอนอกไซด์ที่ดี

Choi และคณะ [46] ศึกษาผลของปริมาณเยหอโรโพลิแอชิดที่มีโมลิบดีนัมซึ่งพอกพุนบน แพลทินัม/คาร์บอนระหว่างความเข้มข้นร้อยละ 2-16.7 โดยน้ำหนักที่ความเข้มข้นของ คาร์บอนมอนอกไซด์ในกราฟฟิสป้อนไฮโดรเจน 10-100 ส่วนต่อสิ้นส่วน พบร่วมเมื่อความเข้มข้นของ คาร์บอนมอนอกไซด์เพิ่มขึ้น สมรรถนะของเซลล์เชื้อเพลิงจะลดลง เนื่องจากคาร์บอนมอนอกไซด์แย่ง พื้นที่ผิวที่ว่องไวในการเกิดปฏิกิริยาของแพลทินัม นอกจากนี้แพลทินัมบนคาร์บอนที่ฝ่านการพอกพุน ของเยหอโรโพลิแอชิดสามารถใช้เป็นตัวเร่งปฏิกิริยาที่ทนแก๊สคาร์บอนมอนอกไซด์ โดยเมื่อปริมาณ เยหอโรโพลิแอชิดมากขึ้น ความหนาแน่นแก๊สคาร์บอนมอนอกไซด์เพิ่มขึ้น

Mizuno และ Misono [3] ศึกษาพื้นที่ผิว โครงสร้างรูพรุน และการทำงานของเกลือเยหอโร โพลิแอชิด พบร่วมการควบคุมอัตราส่วนระหว่างแคตไอออนต่อเยหอโรโพลิแอชิดส่งผลให้พื้นที่ผิวใน การเกิดปฏิกิริยา และการกระจายตัวของแคตไอออนบนโครงสร้างเยหอโรโพลิแอชิดดีขึ้น นอกจากนั้นขั้นตอนในการเตรียม เช่น การตกตะกอน การล้าง การทำให้แห้ง ยังส่งผลต่อพื้นที่ผิว ความเป็นผลึก การเกิดรูพรุน และขนาดของอนุภาคนานาภาวะที่มีอุณหภูมิและความดันต่ำ ต่อมาก Misono [47] ศึกษาการเกิดปฏิกิริยาออกซิเดชันของเยหอโรโพลิแอชิดและเกลือเยหอโรโพลิแอชิด พบร่วมสารประกอบพวกเยหอโรโพลิแอชิดสามารถเกิดปฏิกิริยาที่เฉพาะเจาะจงได้ดีกว่าตัวเร่ง ปฏิกิริยาอื่นๆ และยังมีเสถียรภาพที่ดีเมื่อใช้เป็นเวลานาน

Mayalagan และคณะ [48] ตัวเร่งปฏิกิริยาแพลทินัม-รูทีเนียมบนพอลิอะมีดโอนีน (PtRu-PAMAM) โดยการสังเคราะห์บนเส้นใยคาร์บอนนาโน (Carbon nanofibers) แล้ววิเคราะห์ผลการ เกิดปฏิกิริยาเมทานอลออกซิเดชัน (Methanol oxidation) พบร่วมเมื่อนำตัวเร่งปฏิกิริยาที่สังเคราะห์

ได้เปรียบเทียบกับตัวเร่งปฏิกิริยา PtRu/C ซึ่งพิจารณาจากกราฟไซคลิกโวแทมโมแกรม ที่ทดสอบในสารละลายน้ำซัลฟูริกเข้มข้น 0.5 มอลต่อลิตร ผสมสารละลายนีโหนอลเข้มข้น 1 มอลต่อลิตร พบว่าตัวเร่งปฏิกิริยา PtRu-PAMAM/C มีความทนแก๊สคาร์บอนมอนอกไซด์มากกว่าตัวเร่งปฏิกิริยา PtRu/C เท่ากับ 1.36 และ 0.87 ตามลำดับ



บทที่ 3

อุปกรณ์และวิธีการทดลอง

3.1 สารเคมีและวัสดุที่ใช้ในการทำวิจัย

1. ตัวเร่งปฏิกิริยาแพลทินัมบนตัวรองรับคาร์บอน (20%wt Pt/C) จากบริษัท ETEK
2. ฟอสฟโนลิบดิกแอซิดไฮเดรต ($H_3PMo_{12}O_{40} \cdot nH_2O$, Phosphotungstic acid hydrate) จากบริษัท Sigma
3. ซีเซียมคาร์บอเนต (Cs_2CO_3 , Cesium carbonate) จากบริษัท Aldrich
4. สารละลายเนฟิล่อน 117 (Nafion117, 5%wt) จากบริษัท Aldrich
5. พอลิเตトラฟลูอโโรเอทธิลีน (Polytetrafluoroethylene, 60%wt) จากบริษัท Aldrich
6. ผงคาร์บอนวัลแคน (Carbon Vulcan XC-72) จากบริษัท Cabot
7. ไฮโดรเจน Peroxide ไอซ์ด (Hydrogen peroxide, 30%) จากบริษัท Carlo Erba
8. กรดไนต์ริก (Nitric acid, 98%) จากบริษัท Lab-Scan
9. กรดซัลฟูริก (H_2SO_4 , Sulfuric acid, 98%) จากบริษัท Lab-Scan
10. เมทานอล (CH_3OH , Methanol) จากบริษัท Lab-Scan
11. แก๊สไฮโดรเจน (H_2 , Hydrogen, 99.999%) จากบริษัท Praxair
12. แก๊สไฮโดรเจน/คาร์บอนมอนอกไซด์ (H_2/CO , Hydrogen/Carbon monoxide, 100 ppm) จากบริษัท Praxair
13. แก๊สออกซิเจน (O_2 , Oxygen, 99.999%) จากบริษัท Praxair
14. แก๊สไนโตรเจน (N_2 , Nitrogen, 99.99%) จากบริษัท Praxair
15. ผ้าคาร์บอน (Carbon cloth) จากบริษัท Electrochem
16. เมมเบรนเนฟิล่อน 115 (Nafion 115) จากบริษัท Electrochem
17. น้ำประศจากประจุ

3.2 เครื่องมือและอุปกรณ์ที่ใช้ในงานวิจัย

1. ถังควบคุมอุณหภูมิแบบอัลตราโซนิก (Ultrasonic water bath) จากบริษัท CREST
2. ไมโครปีเพต
3. เครื่องซั่งน้ำหนักความละเอียด 4 ตำแหน่ง
4. ตู้อบ

5. โถดูดความชื้น
6. ตู้ดูดความชื้น
7. เครื่องอัดร้อน-เย็น (Compression machine) รุ่น LP 20 จากบริษัท LABTECH
8. กระดาษวัดความเป็นกรด-เบส (pH paper) จากบริษัท MACHEREY-NAGEL
9. เตาเผา (Furnace) รุ่น ELF 11/14/201 จากบริษัท CARBOLITE
10. อ่างน้ำควบคุมอุณหภูมิ
11. ขั้วไฟฟ้าแพลทินัม (Pt ; Counter electrode)
12. ขั้วไฟฟ้าซิลเวอร์/ซิลเวอร์คลอไรด์ (Ag/AgCl ; Reference electrode)
13. เชลล์เชือเพลิงเดี่ยว (Fuel cell ; working area 25 cm²) จากบริษัท Electrochem
14. เครื่องแก้วอื่นๆ ในห้องปฏิบัติการ

3.3 เครื่องมือที่ใช้ในการวิเคราะห์ในงานวิจัย

1. Potentiostat/Galvanostat รุ่น PG STATO 30 จากบริษัท AUTOLAB
2. Scanning electron microscope (SEM) รุ่น JEM 1230 จากบริษัท Jeol
3. X-rays diffractometer AXS รุ่น D8 Discover จากบริษัท Bruker
4. Transmission electron microscopy (TEM) รุ่น JEM 2010 จากบริษัท Jeol
5. Four point probe รุ่น RM3-AR จากบริษัท Jandel

3.4 วิธีการดำเนินงาน

3.4.1 การปรับสภาพเมมเบรน

1. ตัดเมมเบรนให้มีขนาด 5 x 5 ตารางเซนติเมตร
2. แซ่เมมเบรนในน้ำปราศจากประจุปริมาณ 100 มิลลิลิตร เป็นเวลา 1 ชั่วโมง ที่ อุณหภูมิ 80 องศาเซลเซียส
3. นำเมมเบรนที่ได้มาแซ่ในสารละลายน้ำไฮโดรเจน Peroxide ออกไซด์เข้มข้นร้อยละ 3 โดย น้ำหนัก ปริมาณ 100 มิลลิลิตร เป็นเวลา 1 ชั่วโมง ที่ อุณหภูมิ 80 องศาเซลเซียส เพื่อกำจัดสารอินทรีย์ จากนั้นล้างสารละลายน้ำไฮโดรเจน Peroxide ออกไซด์ด้วยน้ำ ปราศจากประจุ และแซ่ในสารละลายน้ำกรดซัลฟูริกความเข้มข้น 0.5 โมลต่อลิตร ปริมาณ 100 มิลลิลิตร เป็นเวลา 1 ชั่วโมง ที่ อุณหภูมิ 80 องศาเซลเซียส เพื่อกำจัด ไออ่อนของโลหะ

4. นำเมมเบรนที่ได้มาล้างสารละลายกรดซัลฟูริกด้วยน้ำปราศจากประจุ จากนั้นนำเมมเบรนแขวนในน้ำปราศจากประจุปริมาตร 100 มิลลิลิตร เป็นเวลา 1 ชั่วโมง ที่อุณหภูมิ 80 องศาเซลเซียส ทำซ้ำ 3 ครั้ง เพื่อล้างคลอไรด์ออก่อน
5. เก็บเมมเบรนที่ผ่านการปรับปรุงคุณภาพแล้วในน้ำปราศจากประจุ เมื่อจะนำมาใช้งานจึงนำเมมเบรนมาวางบนกระดาษพิเศษและทิ้งเอาไว้ให้แห้งก่อนที่จะนำมาใช้งาน

3.4.2 การปรับสภาพผิwtัวรองรับคาร์บอนวัลแคน

1. ผสมผงคาร์บอนวัลแคนกับสารละลายผสมระหว่างกรดไฮดริก-กรดซัลฟิวริกที่อัตราส่วน 1 ต่อ 1 โดยปริมาตรที่ความเข้มข้น 12 มอลต่อลิตร โดยให้สัดส่วนระหว่างสารละลายผสมและคาร์บอนวัลแคนเป็น 70 ต่อ 30 โดยปริมาตรในขวดรูปชมพู่ แล้วใช้อุณหภูมิเนย์มฟอยล์ปิดปากขวดพร้อมทั้งเจาะรู
2. หลังจากนั้นนำของผสมที่ได้จากข้อ 1 ไปทำการเขย่าที่ความเร็ว 250 รอบต่อนาที เป็นเวลา 6 ชั่วโมง
3. เมื่อครบ 6 ชั่วโมงแล้วนำของผสมที่ผ่านการเขย่าแล้วทำการปล่อยแก๊สที่เกิดขึ้นในตู้ดูดครัวน์ โดยตั้งทิ้งไว้ข้ามคืน
4. นำของผสมระหว่างผงคาร์บอนกับกรดที่ได้เปล้างด้วยน้ำปราศจากประจุหลายครั้งพร้อมทั้งวัดสภาพความเป็นกรด-เบสของน้ำล้างด้วยกระดาษลิตรีมัส จนสภาพความเป็นกรด-เบสที่ได้ใกล้เคียงกับน้ำปราศจากประจุ
5. นำของผสมที่เหลือไปกรองและล้างด้วยน้ำปราศจากประจุด้วยกรวยบุชเนอร์
6. นำผงคาร์บอนที่ได้ไปอบที่อุณหภูมิ 110 องศาเซลเซียส เป็นเวลา 2 ชั่วโมง

3.4.3 การเตรียม $Cs_xH_{3-x}PMo_{12}O_{40}$

1. ชั่ง HPA ($H_3PMo_{12}O_{40} \cdot nH_2O$) น้ำหนัก 5 กรัม ใส่บีกเกอร์ขนาด 25 มิลลิลิตร
2. ชั่ง Cs_2CO_3 สำหรับละลายในน้ำปราศจากประจุ
3. นำน้ำปราศจากประจุปริมาตร 10 มิลลิลิตร เติมลงในข้อ 1 ปั่นกวนให้เข้ากัน ปิดฝาบีกเกอร์ด้วยอะลูมิเนียม ฟลอยด์ที่เจาะรูไว้
4. หลังจากนั้นเติมข้อ 2 ลงในข้อ 3 ปั่นกวนจนสารละลายเข้ากัน
5. ปั่นทิ้งไว้เป็นเวลา 6 ชั่วโมง
6. อบแห้งที่อุณหภูมิ 100 องศาเซลเซียส เป็นเวลา 24 ชั่วโมง
7. นำข้อ 6 ไปบดด้วยเครื่องบดสารให้ละเอียด ใส่ถ้วยเผา

8. นำข้อ 7 ไปเผาที่อุณหภูมิ 300 องศาเซลเซียส เป็นเวลา 2 ชั่วโมง
9. จะได้ $Cs_xH_{3-x}PMo_{12}O_{40}$ ที่อัตราส่วนระหว่าง 1 ถึง 3 เก็บ放ไว้ในขวดสีชาเพื่อรอการใช้งาน

3.4.4 การเตรียมตัวเร่งปฏิกิริยาบนตัวรองรับด้วยวิธีอิมแพร์กเนชัน

3.4.4.1 การเตรียมตัวเร่งปฏิกิริยา $H_3PMo_{12}O_{40}$ - Pt/C

1. ซึ่งตัวเร่งปฏิกิริยา Pt/C น้ำหนัก 0.5 กรัม ใส่ในบีกเกอร์ขนาด 25 มิลลิลิตร
2. ละลาย HPA ($H_3PMo_{12}O_{40} \cdot nH_2O$) ในน้ำปราศจากประจุให้ได้ความเข้มข้นของสารละลายร้อยละ 200 300 และ 400 โดยน้ำหนัก ที่ปริมาตร 5 มิลลิลิตร
3. เทสารในข้อ 1 ผสมลงในสารละลายในข้อ 2 พัร้อมทั้งโซนิเคตในอ่างอัลตราโซนิกจนสารละลายรวมเข้ากัน
4. โซนิเคตต่ออีกเป็นเวลา 30 นาที
5. จากนั้นนำสารละลายที่ได้ไปกรองเป็นเวลา 16 ชั่วโมง
6. เมื่อครบ 16 ชั่วโมง นำสารละลายข้อ 5 ไปล้างตะกอนด้วยน้ำปราศจากประจุ จนน้ำล้างตะกอนจนมีความเป็นกรด-เบส ประมาณ 7
7. นำไปอบที่อุณหภูมิ 80 องศาเซลเซียส เป็นเวลา 24 ชั่วโมง
8. นำตะกอนที่อบแห้งแล้วไปปิดให้หลอดอี้ด กีบในขวดสีชาเพื่อรอการใช้งาน

3.4.4.2 การเตรียมตัวเร่งปฏิกิริยา $Cs_xH_{3-x}PMo_{12}O_{40}$ -Pt/C

1. ซึ่งตัวเร่งปฏิกิริยา Pt/C น้ำหนัก 0.5 กรัม ใส่ในบีกเกอร์ขนาด 25 มิลลิลิตร
2. ละลาย $Cs_xH_{3-x}PMo_{12}O_{40}$ ที่อัตราส่วนต่างๆ ในน้ำปราศจากประจุให้ได้ความเข้มข้นของสารละลายร้อยละ 300 โดยน้ำหนัก ที่ปริมาตร 5 มิลลิลิตร
3. เทสารในข้อ 1 ผสมลงในสารละลายในข้อ 2 พัร้อมทั้งโซนิเคตในอ่างอัลตราโซนิกจนสารละลายรวมเข้ากัน
4. โซนิเคตต่ออีกเป็นเวลา 30 นาที
5. จากนั้นนำสารละลายที่ได้ไปกรองเป็นเวลา 16 ชั่วโมง
6. เมื่อครบ 16 ชั่วโมง นำสารละลายข้อ 5 ไปล้างตะกอนด้วยน้ำปราศจากประจุ จนน้ำล้างตะกอนจนมีความเป็นกรด-เบสเป็นกลาง ประมาณ 7
7. นำไปอบที่อุณหภูมิ 80 องศาเซลเซียส เป็นเวลา 24 ชั่วโมง
8. นำตะกอนที่อบแห้งแล้วไปปิดให้หลอดอี้ด กีบในขวดสีชาเพื่อรอการใช้งาน

3.4.5 การพอกพูนชั้นตัวเร่งปฏิกิริยาบนไส้ดินสอ

1. ชั่งตัวเร่งปฏิกิริยาน้ำหนัก 250 มิลลิกรัม ลงในขวดสีชา
2. เติมน้ำประสาจากประจุปริมาตร 440 ไมโครลิตร โซนิเคตเป็นเวลา 5 นาที
3. เติมสารละลายเนฟิโอนปริมาตร 280 ไมโครลิตร โซนิเคตเป็นเวลา 5 นาที
4. เติมสารละลายไอโซโพրพานอลปริมาตร 480 ไมโครลิตร โซนิเคตเป็นเวลา 2 ชั่วโมง
5. ชั่งไส้ดินสอ 2B แล้วจดบันทึกค่าที่อ่านได้
6. นำน้ำหมึกตัวเร่งปฏิกิริยาที่ได้ทางบนไส้ดินสอ 2B โดยวัดจากปลายดินสอขึ้นมา 1.6 เซนติเมตร ทاجนกระทั่งไส้ดินสอมีน้ำหนักเพิ่มขึ้น 15 มิลลิกรัม (ปริมาณตัวเร่งปฏิกิริยาที่โหลดลงบนไส้ดินสอ)
7. เป่าให้น้ำหมึกแห้ง เก็บในกล่องดูดความชื้น เพื่อรอการใช้งาน

3.4.6 การศึกษาพื้นที่ผิวของการเกิดปฏิกิริยา

1. เตรียมสารละลายกรดซัลฟูริกความเข้มข้น 0.5 มोลต่อลิตร ปริมาตร 200 มิลลิลิตร ในบีกเกอร์ 250 มิลลิลิตร
2. นำสารละลายที่ได้ป้อนแก๊สไนโตรเจนเป็นเวลา 1 ชั่วโมง
3. นำไส้ดินสอที่เคลือบด้วยตัวเร่งปฏิกิริยามาต่อ กับวงจรให้เป็นขั้วไฟฟ้าทำงาน โดยใช้แพลทินัมเป็นขั้วไฟฟ้าร่วม และใช้ขั้ว Ag/AgCl เป็นขั้วมาตรฐาน ทั้งหมดจุ่มในสารละลายกรดซัลฟูริกเข้มข้น 0.5 มोลต่อลิตร
4. เปิดโปรแกรม GPES พร้อมทั้งกำหนดค่าสำหรับการทดสอบไชคลิกโวลเทมเมทรี โดยกำหนดช่วงความต่างศักย์ไฟฟ้าตั้งแต่ -0.2 ถึง 1.23 โวลต์ อัตราการกราดศักย์ไฟฟ้า 20 มิลลิโวลต์ต่อวินาที
5. ทำการสแกน 50 รอบแล้วเก็บผลเพื่อคำนวนปริมาณพื้นที่ผิวที่เกิดปฏิกิริยา เครื่องไฟฟ้า

3.4.7 การศึกษาการละลายน้ำของ $Cs_xH_{3-x}PMo_{12}O_{40}$

1. ชั่งตัวเร่งปฏิกิริยา $H_3PMo_{12}O_{40}$ และตัวเร่งปฏิกิริยา $Cs_xH_{3-x}PMo_{12}O_{40}$ น้ำหนัก 0.25 กรัม ตามลำดับ ลงในขวดสีชา
2. ละลายตัวเร่งปฏิกิริยา $H_3PMo_{12}O_{40}$ และตัวเร่งปฏิกิริยา $Cs_xH_{3-x}PMo_{12}O_{40}$ ในน้ำประสาจากประจุ 10 มิลลิลิตร
3. สังเกตการละลายของตัวอย่าง ว่าเป็นเนื้อดียกันหรือไม่ เก็บผลที่ 3 ชั่วโมง
4. จดบันทึก

3.4.8 การวิเคราะห์ปฏิกิริยาความทันแก๊สคาร์บอนมอนอกไซด์ของตัวเร่งปฏิกิริยา

1. เตรียมสารละลายน้ำกรดซัลฟูริกความเข้มข้น 0.5 มอลต่อลิตร
2. นำสารละลายน้ำที่ได้ป้อนแก๊สในโตรเจนเป็นเวลา 1 ชั่วโมง หลังจากป้อนแก๊สให้ผสมสารละลายน้ำจนให้มีความเข้มข้น 1 มอลต่อลิตร ใช้แห่งแก้วคนให้เข้ากัน
3. นำไปสักดินสอที่เคลือบด้วยตัวเร่งปฏิกิริยามาต่อ กับวงจรให้เป็นขั้วไฟฟ้าทำงาน โดยใช้แพลทินัมเป็นขั้วไฟฟ้าร่วม และใช้ขั้ว Ag/AgCl เป็นขั้วมาตรฐาน ทั้งหมดจุ่มในสารละลายน้ำกรดซัลฟูริกความเข้มข้น 0.5 มอลต่อลิตร ผสมสารละลายน้ำจนความเข้มข้น 1 มอลต่อลิตร
4. เปิดโปรแกรม GPES พร้อมทั้งกำหนดค่าสำหรับการทดสอบใช้คลิกไวล์แتمเมทรี โดยกำหนดช่วงความต่างศักย์ไฟฟ้าตั้งแต่ -0.2 ถึง 1.23 โวลต์ อัตราการกรัดศักย์ไฟฟ้า 20 มิลลิโวลต์ต่อวินาที
5. ทำการสแกน 50 รอบแล้วเก็บผลเพื่อคำนวณหาความทันแก๊สคาร์บอนมอนอกไซด์ของตัวเร่งปฏิกิริยา

3.4.9 การเตรียมชั้นตัวเร่งปฏิกิริยาโดยวิธีการเคลือบบนเมมเบรน และขั้วไฟฟ้าประกอบเมมเบรน

1. นำตัวเร่งปฏิกิริยาน้ำหนัก 250 มิลลิกรัม ลงในขวดสีชา
2. เติมน้ำกากลั่นปริมาณ 440 ไมโครลิตร ลงไปในขวดข้างต้น นำไปโซนิเคตที่อุณหภูมิห้อง เป็นเวลา 5 นาที
3. เติมสารละลายนีฟิโอนปริมาณ 280 ไมโครลิตร ลงไปในขวดข้างต้น นำไปโซนิเคตที่อุณหภูมิห้อง เป็นเวลา 5 นาที
4. เติมสารละลายนีโโซโฟรพาโนลปริมาณ 480 ไมโครลิตร ลงไปในขวดข้างต้น นำไปผ่านโซนิเคตที่อุณหภูมิห้อง เป็นเวลา 2 ชั่วโมง
5. พ่นละอองสารละลายน้ำเร่งปฏิกิริยาที่เตรียมไว้ในข้อ 4 ลงบนเมมเบรนที่ผ่านการปรับสภาพ โดยพ่นในกรอบที่เตรียมไว้ขนาด 2.25×2.25 ตารางเซนติเมตร ในฝังแອโนด แล้วนำไปอบที่อุณหภูมิ 80 องศาเซลเซียส เป็นเวลา 5 นาที
6. ทำชำข้อ 5 จนกระทั่งขั้วไฟฟ้ามีปริมาณตัวเร่งปฏิกิริยาเท่ากับ 15 มิลลิกรัมต่อตารางเซนติเมตร
7. ทำชำข้อ 5 และ 6 ในฝังแคร์โนด โดยใช้ตัวเร่งปฏิกิริยาเป็นแพทิเนบันคาร์บอนเชิงพาณิชย์

8. นำเมมเบรนที่ได้ นำไปอบที่อุณหภูมิ 80 องศาเซลเซียส เป็นเวลา 5 นาที เพื่อกำจัดตัวทำละลายที่หลงเหลือออก
9. หยดสารละลายเนฟิอ่อนปริมาตร 0.5 ไมโครลิตร บนผ้าคาร์บอนที่มีชั้นการแพร่แก๊สจำนวน 2 ชิ้น
10. วางแบบหล่อที่ทำขึ้นจากแผ่นเทفلอนและตัดร่องเป็นรูปสี่เหลี่ยมจัตุรัสขนาด 2.25×2.25 ตารางเซนติเมตร ลงบนแผ่นสแตนเลส แล้วนำผ้าคาร์บอนที่หยดเนฟิอ่อนแล้วข้างหนึ่งไปวางไว้บนแผ่นสแตนเลสโดยหมายด้านที่มีชั้นการแพร่แก๊สไว้
11. วางเมมเบรนที่ได้จากข้อ 8 ลงบนผ้าคาร์บอนโดยให้ผ้าคาร์บอนอยู่ตรงตำแหน่งของชั้นตัวเร่งปฏิกิริยา
12. ปิดด้วยแผ่นเทฟลอนแล้วจึงนำผ้าคาร์บอนอีกข้างวางลงในช่องของแผ่นเทฟลอนโดยให้ทับกับชั้นตัวเร่งปฏิกิริยา
13. ประกอบด้วยแผ่นสแตนเลสอีกแผ่นก่อนนำไปกดทับด้วยเครื่องอัดร้อน-เย็น โดยใช้อุณหภูมิ 137 องศาเซลเซียส แรงอัด 65 กิโลกรัมต่อตารางเซนติเมตร เป็นเวลา 150 วินาที
14. จะได้ข้าไฟฟ้าประกอบเมมเบรนออกมาให้นำไปเก็บไว้ในตู้ดูดความชื้น เพื่อรอการใช้งาน

3.4.10 การทดสอบการทำงานของเซลล์เชือเพลิงเซลล์เดียว

1. ประกอบข้าไฟฟ้าประกอบเมมเบรนที่ได้มาจากการที่ 3.4.9 เข้ากับแผ่นสะสมกระแสงไฟฟ้าทั้งสองด้าน
2. นำpaneen yang chilicon มาวางคั่นระหว่างข้าไฟฟ้าประกอบเมมเบรนกับแผ่นสะสมกระแสงไฟฟ้าทั้งสองด้านเพื่อป้องกันการรั่วของแก๊ส
3. ประกอบด้านนอกของแผ่นสะสมกระแสงไฟฟ้าด้วยแผ่นให้ความร้อนก่อนใช้น็อตชันยึดทุกส่วนเข้าด้วยกัน
4. ใช้ประแจปอนด์เพื่อยึดทุกส่วนเข้าด้วยกันโดยใช้โน้มเนต์การหมุนที่ 40 ปอนด์แรงนิว
5. นำเซลล์เดียวที่ได้ไปติดตั้งในหน่วยทดสอบ
6. ตรวจสอบว่าล้ำต่างๆ ให้เปิด-ปิดในทิศทางที่ถูกต้องเพื่อป้องกันการไหลปนกันของแก๊สต่างๆ โดยให้ไฮโดรเจนเข้าทางข้าวแอนด์แลกแก๊สออกซิเจนเข้าทางข้าวแคนโอดีปิด瓦ล์วข้ออกให้เรียบร้อย (Relieve valve) ให้เรียบร้อย
7. ตรวจสอบความเรียบร้อยของข้อต่อต่างๆ

8. ตรวจสอบระดับน้ำในหน่วยให้ความชื้นให้มีระดับที่เหมาะสม
9. เชื่อมต่อสายไฟระหว่างเครื่องอิเล็กทรอนิกส์โหลด (Electronic load) เข้ากับขั้วไฟฟ้าทั้งสองข้าง
10. ติดตั้งอุปกรณ์วัดอุณหภูมิในเซลล์เชือเพลิง
11. เปิดเครื่องอิเล็กทรอนิกส์โหลด
12. เปิดแก๊สไฮโดรเจนและแก๊สออกซิเจนโดยให้ความดันหัวถังอยู่ที่ 50 ปอนด์ต่อตารางนิวตัน
13. เปิดเครื่องควบคุมอัตราการไหลของแก๊ส โดยให้แก๊สไฮโดรเจนและแก๊สออกซิเจนมีอัตราการไหล อยู่ที่ 100 ลูกบาศก์เซนติเมตรต่อนาทีที่ภาวะมาตรฐาน (Standard cubic centimeter per minute, sccm)
14. สังเกตค่าความต่างศักย์ที่แสดงอยู่ الرحمنจะที่ไม่มีการเปลี่ยนแปลง จึงบันทึกค่าความต่างศักย์ เรียกค่าที่ได้ว่าค่าความต่างศักย์ไฟฟ้าจะเปิด
15. ตั้งค่าความต่างศักย์ 0.2 โวลต์ โดยส่วนนี้เซลล์เชือเพลิงจะทำงานที่ความดันบรรยากาศเป็นเวลา 6 ชั่วโมง
16. เมื่อครบเวลา บันทึกค่ากระแสไฟฟ้าที่ความต่างศักย์ตั้งแต่ 0.1 โวลต์ ไปจนถึงค่าความต่างศักย์ไฟฟ้า วงจรเปิด
17. ทำการทดสอบข้ออีก 3 รอบ
18. คำนวณผลการทดสอบที่ได้เพื่อนำไปเปลี่ยนให้อยู่ในรูปกราฟโพลาไรเซชันของระบบ
19. ทดลองการติดตั้งเซลล์เชือเพลิงออกจากหน่วยทดสอบเซลล์เชือเพลิง
20. ทำการทดลองซ้ำโดยการป้อนแก๊สไฮโดรเจนที่มีการปนเปื้อนคาร์บอนมอนอกไซด์มีอัตราการไหล อยู่ที่ 100 ลูกบาศก์เซนติเมตรต่อนาทีที่ภาวะมาตรฐาน แทนแก๊สไฮโดรเจนบริสุทธิ์ เป็นเวลา 1 ชั่วโมง ก่อนเก็บข้อมูล

บทที่ 4

ผลการทดลองและวิจารณ์ผลการทดลอง

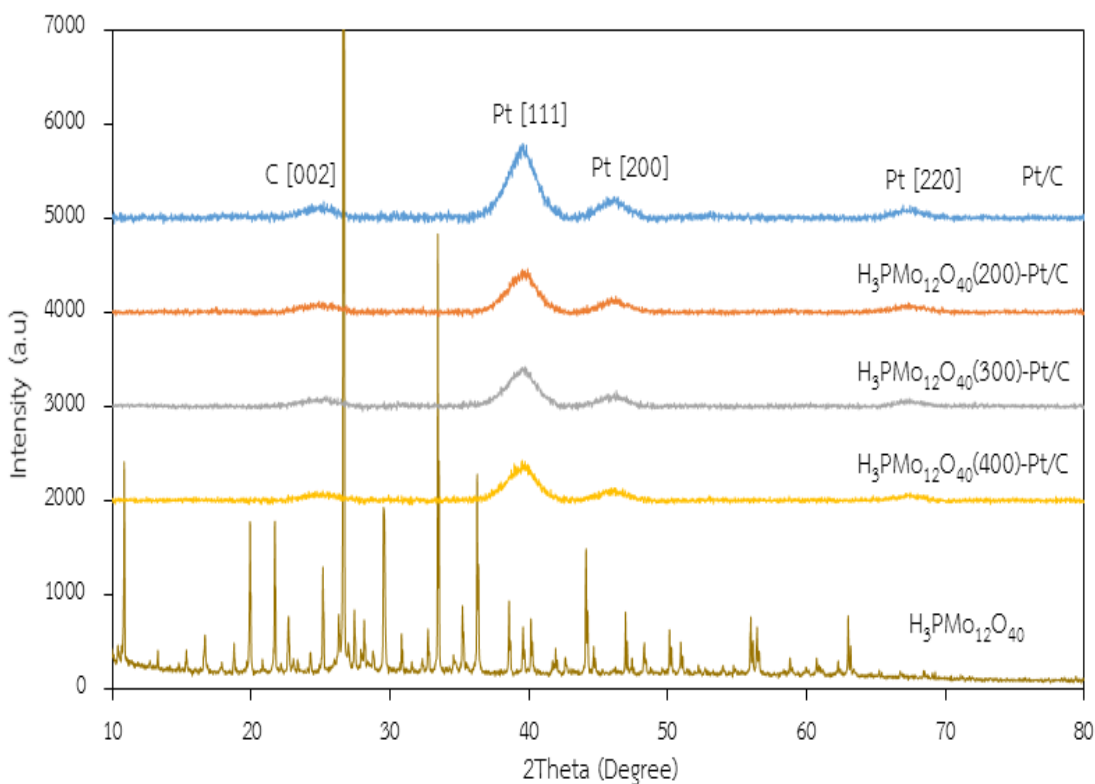
งานวิจัยนี้ศึกษาผลของการเติม $H_3PMo_{12}O_{40}$ และ $Cs_xH_{3-x}PMo_{12}O_{40}$ บนตัวเร่งปฏิกิริยา Pt/C สำหรับปฏิกิริยาออกซิเดชันของแก๊สไฮโดรเจนที่มีการปนเปื้อนด้วยแก๊สคาร์บอนมอนอกไซด์ ความเข้มข้น 100 พีพีเอ็ม ในเชลล์เชื้อเพลิงฟีวีเอ็ม ซึ่งแบ่งขอบเขตของการทำงานออกเป็น 2 ส่วน ส่วนแรกเป็นการศึกษาผลของการร้อยละโดยน้ำหนักของ $H_3PMo_{12}O_{40}$ บนตัวเร่งปฏิกิริยา Pt/C ต่อการทนแก๊สคาร์บอนมอนอกไซด์ และส่วนที่สองเป็นการศึกษาผลของการเติมซีเซียมไอโอดิน (Cs^+) แทนที่ไฮโดรเจนไอโอดินในโครงสร้าง $H_3PMo_{12}O_{40}$ บนตัวเร่งปฏิกิริยา Pt/C ซึ่งผลการทดลองแสดงดังต่อไปนี้

4.1 ผลของร้อยละโดยน้ำหนักของ $H_3PMo_{12}O_{40}$ บนตัวเร่งปฏิกิริยา Pt/C

4.1.1 โครงสร้าง อัตราส่วน และสัณฐานวิทยาของตัวเร่งปฏิกิริยา $H_3PMo_{12}O_{40}$ - Pt/C และพื้นที่การเกิดปฏิกิริยา

ภาพที่ 4.1 แสดงผลการทดสอบการเลี้ยวเบนของรังสีเอกซ์ของ $H_3PMo_{12}O_{40}$ บนตัวเร่งปฏิกิริยา Pt/C และตัวเร่งปฏิกิริยา Pt/C เชิงพาณิชย์ พบว่าตัวเร่งปฏิกิริยา Pt/C เชิงพาณิชย์จะแสดงพีกหลักที่มุม 2θ เท่ากับ 39.74° 46.28° และ 67.45° ตามลำดับ ซึ่งพีกทั้งสามจะแสดงถึงระบบ [111] [200] และ[220] ของแพลทินัมที่มีโครงสร้างผลึกแบบ Face-centered cubic (FCC)

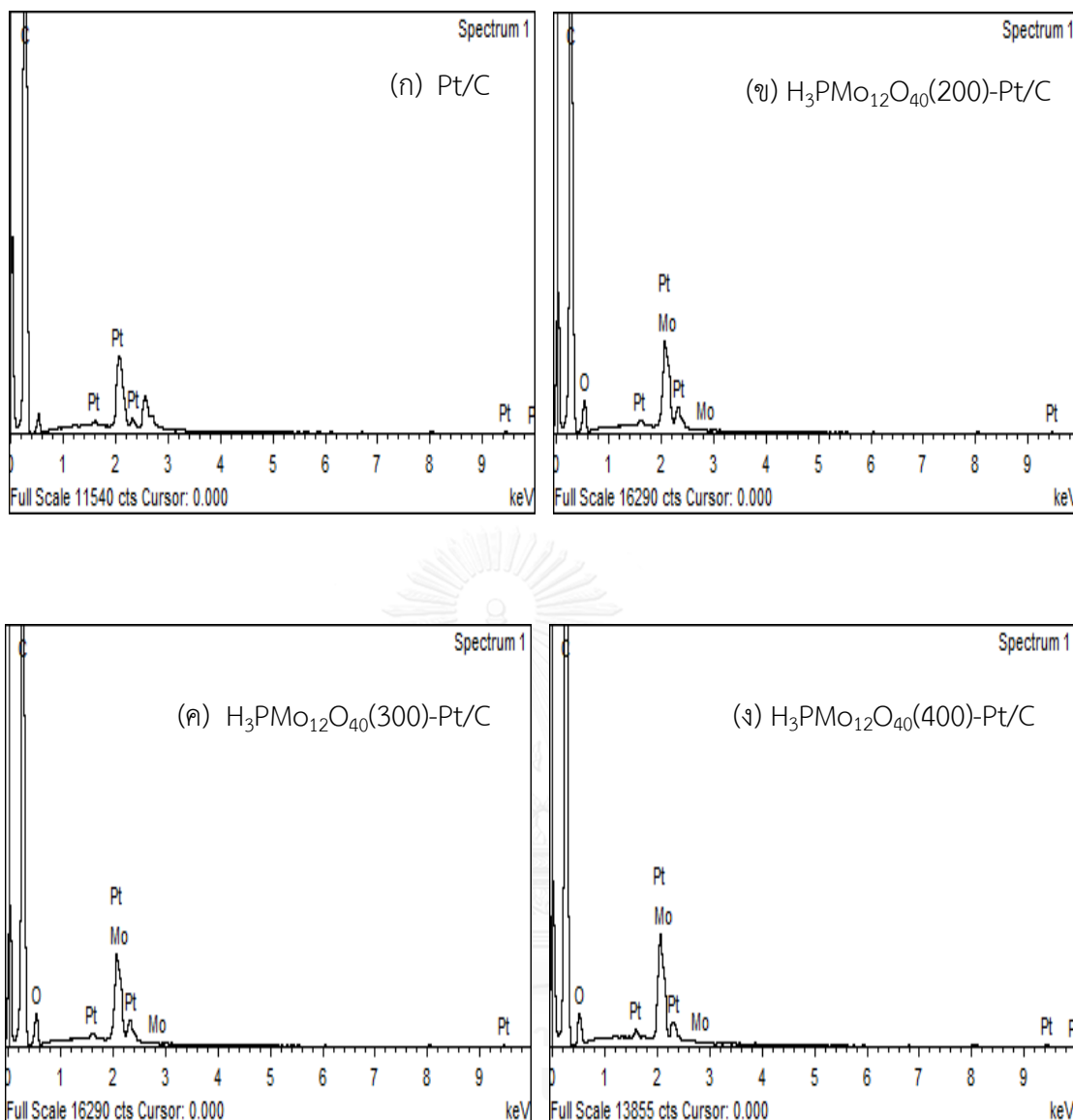
ส่วนผลการทดสอบการเลี้ยวเบนของรังสีเอกซ์ของตัวเร่งปฏิกิริยา $H_3PMo_{12}O_{40}$ -Pt/C จะแสดงพีกของตัวเร่งปฏิกิริยาแพลทินัมเข่นกัน เนื่องจาก $H_3PMo_{12}O_{40}$ มีการละลายน้ำสูง กระจายตัวได้ดี ใช้ในปริมาณเพียงเล็กน้อย และมีขนาดเล็กมากบนตัวเร่งปฏิกิริยา Pt/C จึงไม่สามารถเห็นพีกของ $H_3PMo_{12}O_{40}$ ได้จากตัวเร่งปฏิกิริยาที่เตรียมขึ้น



ภาพที่ 4.1 โครงสร้างตัวเร่งปฏิกิริยา Pt/C, $H_3PMo_{12}O_{40}$ เซิงพาณิชย์ และ $H_3PMo_{12}O_{40}$ - Pt/C ที่สังเคราะห์ขึ้น

อย่างไรก็ได้การวิเคราะห์สัมฐานวิทยาของตัวเร่งปฏิกิริยาด้วยเทคนิคการเลี้ยวเบนของรังสีเอกซ์ไม่สามารถบอกรู้ว่าตัวเร่งปฏิกิริยา Pt/C ที่เตรียมได้มี $H_3PMo_{12}O_{40}$ อยู่จริง เนื่องจากไม่ปรากฏพิกัดของ $H_3PMo_{12}O_{40}$ เพื่อยืนยันว่ามี $H_3PMo_{12}O_{40}$ บนตัวเร่งปฏิกิริยา Pt/C จริง จึงทำการวิเคราะห์ร้อยละของธาตุที่มีอยู่ในองค์ประกอบ $H_3PMo_{12}O_{40}$ บนตัวเร่งปฏิกิริยา Pt/C ด้วยเทคนิค EDX

จากการที่ 4.2 พบว่าตัวเร่งปฏิกิริยา $H_3PMo_{12}O_{40}$ - Pt/C ทุกตัวมีโมลิบดีนัมซึ่งเป็นโลหะแปรนิชั้นที่มีอยู่ในโครงสร้างของ $H_3PMo_{12}O_{40}$ และแพลทินัมอยู่บนตัวรองรับคาร์บอน จึงเป็นการช่วยยืนยันได้ว่ามี $H_3PMo_{12}O_{40}$ บนตัวเร่งปฏิกิริยา Pt/C จริง และจากการที่ 4.3 ซึ่งแสดงภาพถ่ายของตัวเร่งปฏิกิริยา Pt/C เชิงพาณิชย์ และ $H_3PMo_{12}O_{40}$ - Pt/C ด้วยกล้องจุลทรรศน์อิเล็กตรอนแบบส่องผ่าน พบว่าอนุภาคแพลทินัมมีการกระจายตัวบนตัวรองรับคาร์บอนสูง เนื่องจากอนุภาคของแพลทินัมมีขนาดอนุภาคเล็กมาก เมื่อเติม $H_3PMo_{12}O_{40}$ บนตัวเร่งปฏิกิริยา Pt/C พบการเกาะกลุ่มกันมากขึ้นของอนุภาคสีดำซึ่งอาจเป็นໄโปไดทั้ง Pt และ $H_3PMo_{12}O_{40}$ เนื่องจากมีรัตตัน้ำหนักสูงทั้งคู่ขนาดของอนุภาคจึงดูใหญ่ขึ้น แต่ยังคงมีการกระจายตัวได้ดีบนตัวรองรับคาร์บอน

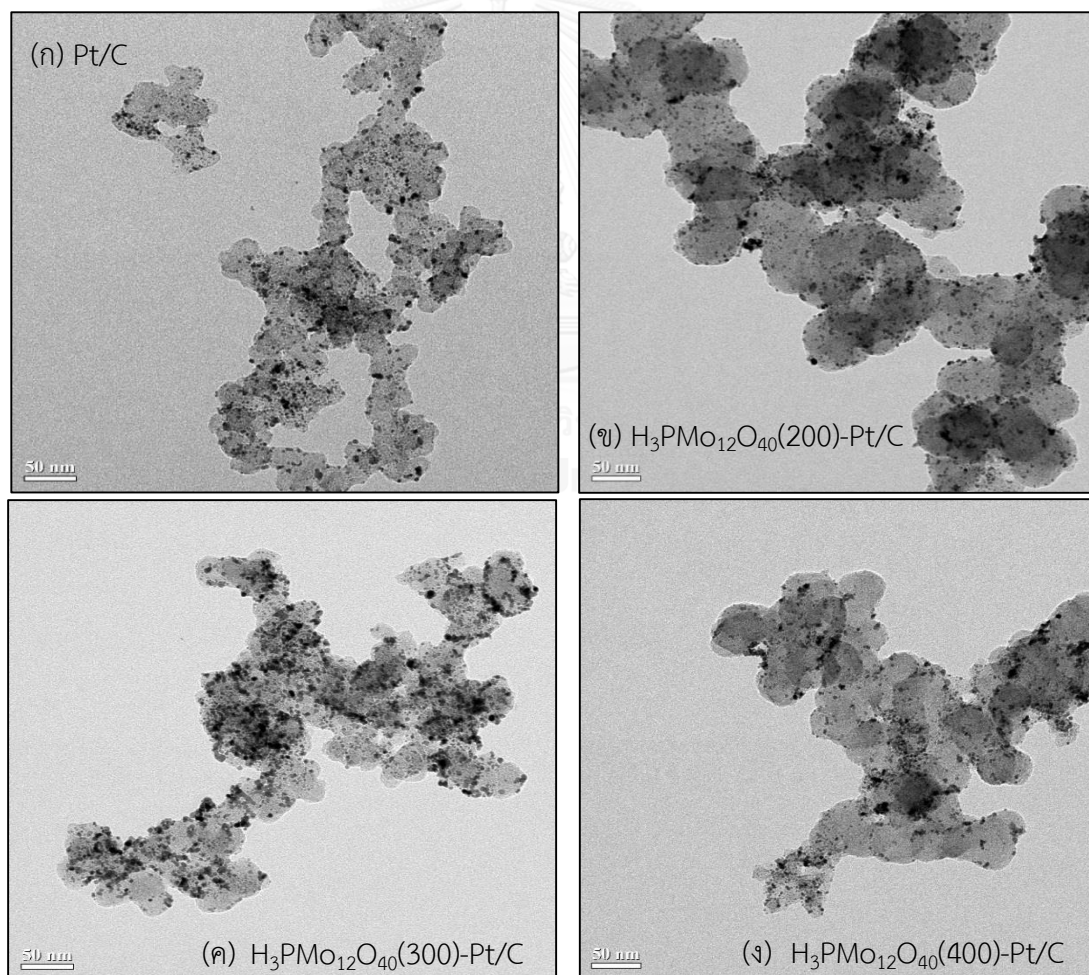


ภาพที่ 4.2 ผลการวิเคราะห์ตัวเร่งปฏิกิริยา (ก) $\text{H}_3\text{PMo}_{12}\text{O}_{40}(200)\text{-Pt/C}$ (ข) $\text{H}_3\text{PMo}_{12}\text{O}_{40}(300)\text{-Pt/C}$ และ (ค) $\text{H}_3\text{PMo}_{12}\text{O}_{40}(400)\text{-Pt/C}$ ด้วยเทคนิค EDX

ในการวิเคราะห์เชิงปริมาณเพื่อให้ทราบปริมาณที่แท้จริงของ $\text{H}_3\text{PMo}_{12}\text{O}_{40}$ นั้นจะทำได้ค่อนข้างยาก เนื่องจากพิกของ Pt และ Mo ซึ่งซ่อนทับกันบางส่วน ผลการวิเคราะห์เชิงปริมาณด้วยเทคนิค EDX ดังแสดงในตารางที่ 4.1 พบว่าเมื่อความเข้มข้นของ $\text{H}_3\text{PMo}_{12}\text{O}_{40}$ ที่ใช้เพิ่มขึ้น แนวโน้มของโลหะที่อยู่ในโครงสร้างของ $\text{H}_3\text{PMo}_{12}\text{O}_{40}$ ซึ่งในที่นี้คือโมลิบเดียมมีแนวโน้มเพิ่มมากขึ้น เช่นกัน

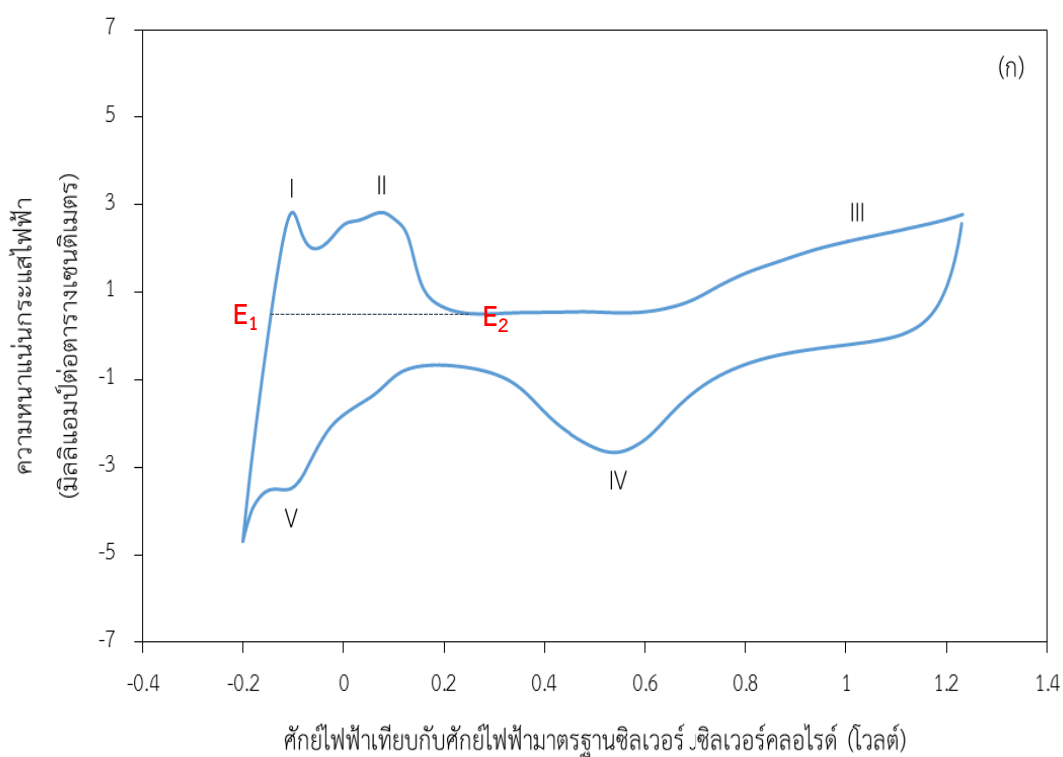
ตารางที่ 4.1 ปริมาณสัมพัทธ์โดยอะตอมของธาตุ ขนาดอนุภาคของตัวเร่งปฏิกิริยา $H_3PMo_{12}O_{40}$ - Pt/C

ปริมาณความเข้มข้น ของไฮเทอโรโพลิเอซิด ในสารละลาย (ร้อยละโดยน้ำหนัก)	ปริมาณสัมพัทธ์โดยอะตอม ร้อยละโดยอะตอม ของ Pt	อัตราส่วน ของ Mo : Pt	ขนาดอนุภาค (นาโนเมตร)			
	Pt	Mo	O	C		
200	0.96	0.31	5.55	93.18	0.32	3.63
300	1.00	0.37	6.69	91.94	0.37	3.53
400	1.05	0.46	5.17	93.32	0.44	3.68

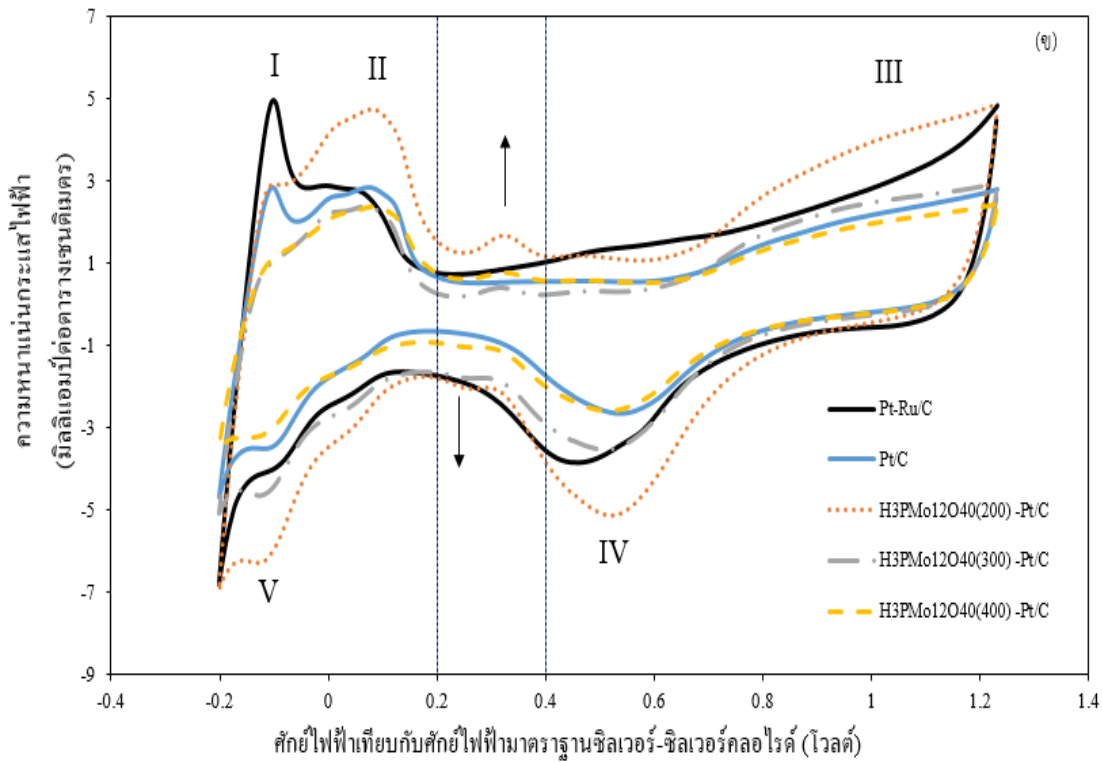


ภาพที่ 4.3 ภาพถ่ายตัวเร่งปฏิกิริยาด้วยกล้องจุลทรรศน์แบบส่องผ่าน (ก) Pt/C,
(ข) $H_3PMo_{12}O_{40}(200)$ -Pt/C, (ค) $H_3PMo_{12}O_{40}(300)$ -Pt/C และ (ง) $H_3PMo_{12}O_{40}(400)$ -Pt/C

ภาพที่ 4.4 แสดงไซคลิกโวลแتمโนแกรมของตัวเร่งปฏิกิริยา Pt/C เชิงพาณิชย์ และตัวเร่งปฏิกิริยา $H_3PMo_{12}O_{40}$ - Pt/C ที่มี $H_3PMo_{12}O_{40}$ ร้อยละ 200 300 และ 400 โดยน้ำหนัก พบว่า รูปแบบของไซคลิกโวลแتمโนแกรมของตัวเร่งปฏิกิริยาทั้ง 2 ชนิดมีลักษณะต่างกัน กล่าวคือไซคลิกโวลแتمโนแกรมของตัวเร่งปฏิกิริยา Pt/C เชิงพาณิชย์จะปรากฏพิกหลักจำนวน 4 พิก (ภาพที่ 4.4 (ก)) คือ พิก I และ II ที่ศักย์ไฟฟ้าในช่วง -0.2 ถึง 0.1 โวลต์ แสดงถึงพิกการคายซับของไฮโดรเจนบันแพลทินัมในระบบ $[110]$ และ $[100]$ ช่วงศักย์ไฟฟ้า 0.1 ถึง 0.4 โวลต์ จะเกิดเป็นชั้นประจุไฟฟ้าคู่ (Double layer region) ซึ่งเป็นบริเวณที่มีการสะสมของประจุอยู่ที่ผิวนานาสัมผัสระหว่างอิเล็กโทรไลต์กับชั้นไฟฟ้า โดยประจุส่วนนี้จะไม่เกิดปฏิกิริยา พิกที่ III ปรากฏในช่วงศักย์ไฟฟ้า 0.6 ถึง 0.9 โวลต์ แสดงถึงการดูดซับออกซิเจนบันพื้นผิวของแพลทินัม (Pt-O formation) ส่วนพิกที่ IV ช่วงศักย์ไฟฟ้า 0.4 ถึง 0.6 โวลต์ แสดงถึงการดูดซับออกซิเจนบันพื้นผิวของแพลทินัม หรือเรียกว่าการรีดักชันของออกซิเจน (Pt-O reduction) ส่วนพิก V ซึ่งปรากฏในช่วงศักย์ไฟฟ้า 0.1 ถึง -0.1 โวลต์ แสดงการดูดซับไฮโดรเจนบันพื้นผิวของตัวเร่งปฏิกิริยา



ภาพที่ 4.4 ไซคลิกโวลแتمโนแกรมของ (ก) ตัวเร่งปฏิกิริยา Pt/C เชิงพาณิชย์ และ (ข) ตัวเร่งปฏิกิริยา $H_3PMo_{12}O_{40}$ - Pt/C (ต่อ)



ภาพที่ 4.5 ไซคลิกโวลแ🤗เม莫แగرمของ (ก) ตัวเร่งปฏิกิริยา Pt/C เขิงพาณิชย์ และ (ข) ตัวเร่งปฏิกิริยา H₃PMo₁₂O₄₀ - Pt/C

ส่วนไซคลิกโวลแგэм莫แගرمของตัวเร่งปฏิกิริยา H₃PMo₁₂O₄₀ - Pt/C ที่มี H₃PMo₁₂O₄₀ ร้อยละ 200 300 และ 400 แสดงพิกที่สำคัญในช่วงศักย์ไฟฟ้า -0.2 ถึง 0.1 โวลต์ ซึ่งเป็นการคายชั้บของไฮโดรเจนและที่ช่วงศักย์ไฟฟ้า 0.2 ถึง 0.4 โวลต์ แสดงถึงเอกลักษณ์ของເເຫດໂພດລືອຊີດ ດືກໂປຣຕອນ ເນື່ອງຈາກສຸມບັດຂອງເເຫດໂພດລືອຊີດທີ່ມີຄວາມເປັນກຽດແບບເບຣິນສເຕັດ (Bronsted acid) ທີ່ໄຫ້ໂປຣຕອນ ເນື່ອປະມານຮ້ອຍລະໂດຍນໍ້າໜັກຂອງ H₃PMo₁₂O₄₀ ບນຕัวเร่งปฏิกิริยา Pt/C ເພີ່ມາກັບໜີ້ທຳໄໝພຶກດັກລ່າງຢາຍໜີ້ດັກແສດງໃນກາພທີ 4.5 (ข)

ພື້ນທີ່ກາເກີດປັກິກີຣີາສາມາດຄຳນວນຈາກກາອີນທີ່ເກຣຕພື້ນທີ່ໄດ້ກາຟຂອງພຶກກາເກຍໜັກຂອງ ໄໂສໂໂດຣເຈນໃນช่วงศักย์ไฟฟ้า -0.2 ถึง 0.1 โວລຕໍດ ດັກສມາກທີ່ (4.1) - (4.2)

$$ECSA = \frac{Q}{210 \times C_L} \quad (4.1)$$

$$Q = \frac{1}{v} \int_{E1}^{E2} (I - I_{dl}) dE \quad (4.2)$$

เมื่อ $ECSA$ คือพื้นที่การเกิดปฏิกิริยา (ตารางเมตรต่อกรัมของแพลทินัม) Q คือประจุไฟฟ้าของแพลทินัม (คูลอมบ์) 210 คือค่าคงที่ (ค่าความหนาแน่นของประจุไฟฟ้าของแพลทินัมมีค่าเท่ากับ 210 ไมโครคูลอมบ์ต่อตารางเซนติเมตร) และ C_L คือปริมาณตัวเร่งปฏิกิริยาที่ใช้ทดสอบ (มิลลิกรัมต่อตารางเซนติเมตร) v คืออัตราการกรัดศักย์ไฟฟ้า (โวลต์ต่อวินาที) I คือกระแสไฟฟ้า(แอมป์ต่อตารางเซนติเมตร) I_{dl} คือกระแสไฟฟ้าที่ชั้นประจุคู่ (แอมป์ต่อตารางเซนติเมตร)

พบว่าตัวเร่งปฏิกิริยา $H_3PMo_{12}O_{40}$ - Pt/C ที่มี $H_3PMo_{12}O_{40}$ ร้อยละ 200 300 และ 400 โดยน้ำหนัก มีพื้นที่การเกิดปฏิกิริยาเท่ากับ 123.9 74.5 และ 58.1 ตารางเมตรต่อกรัมแพลทินัม ตามลำดับ (ตารางที่ 4.2) โดยตัวเร่งปฏิกิริยา $H_3PMo_{12}O_{40}(200)$ - Pt/C จะมีพื้นที่ผิวในการเกิดปฏิกิริยาสูงกว่าตัวเร่งปฏิกิริยา Pt/C และ Pt-Ru/C เชิงพาณิชย์ประมาณ 1.37 และ 1.23 เท่า ตามลำดับ เนื่องจากการมีอยู่ของเซเทอโรโพลิแอซิดที่ร้อยละ 200 โดยน้ำหนัก จะช่วยในการเพิ่มค่าการนำอิเล็กตรอนได้จึงทำให้พื้นที่ในการเกิดปฏิกิริยาเกิดขึ้นสูง แต่เมื่อการมีอยู่ของเซเทอโรโพลิแอซิดที่ร้อยละโดยน้ำหนักมากเกินไปจะบดบังการเกิดปฏิกิริยาของตัวเร่งปฏิกิริยาแพลทินัมทำให้พื้นที่การเกิดปฏิกิริยาลดลง (ตารางที่ 4.2)

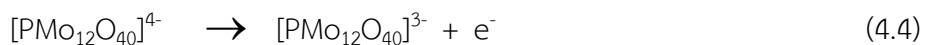
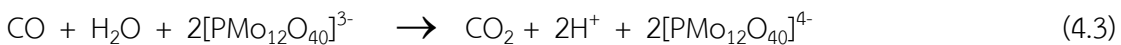
ตารางที่ 4.2 สมบัติของตัวเร่งปฏิกิริยา Pt/C PtRu/C และ $H_3PMo_{12}O_{40}$ - Pt/C

ตัวเร่ง ปฏิกิริยา	พื้นที่การ เกิดปฏิกิริยา	สภาพการ ของตัวเร่ง	I/I_0	ความหนาแน่น		ความหนาแน่น	
				กระแสงไฟฟ้าที่ศักย์ไฟฟ้า (ตาราง เมตรต่อ กรัม)	0.6 โวลต์	กระแสงไฟฟ้าที่ศักย์ไฟฟ้า (0.9 โวลต์)	0.9 โวลต์
Pt/C	90.3	2.824	0.821	389	26.67	11	3.6
PtRu/C	100.2	9.331	1.638	392	64.67	11.90	2
$H_3PMo_{12}O_{40}$ (200)-Pt/C	123.9	11.669	0.884	327	32.67	7.5	2
$H_3PMo_{12}O_{40}$ (300)-Pt/C	74.5	8.503	1.588	277	44.00	6.5	0
$H_3PMo_{12}O_{40}$ (400)-Pt/C	58.1	8.031	0.854	214	32.00	4	0

4.1.2 ความทนทานของสารบันมอนอกไซด์ของตัวเร่งปฏิกิริยาในสารละลายเมทานอล/กรดซัลฟูริก

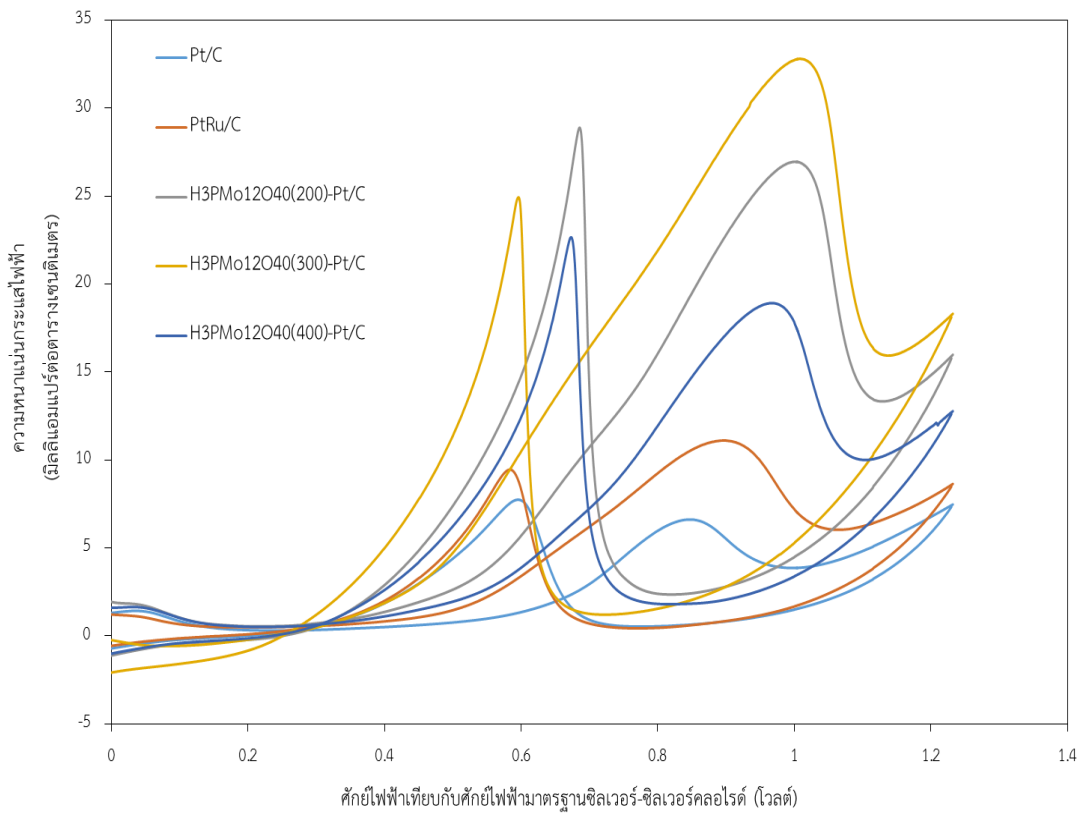
การศึกษาความทนทานแก๊สคาร์บอนมอนอกไซด์ของตัวเร่งปฏิกิริยาจะดำเนินการทดสอบในสารละลายผสมระหว่างเมทานอลความเข้มข้น 1 มอลต่อลิตร และกรดซัลฟูริกความเข้มข้น 0.5 มอลต่อลิตร ด้วยเทคนิคไซคลิกโวแท็มเมทรี เนื่องจากเมทานอลสามารถเกิดปฏิกิริยาออกซิเดชันได้สารประกอบต่างๆ เช่น คาร์บอนมอนอกไซด์ กรดฟอร์มิก และฟอร์มอลดีไฮด์ [25]

ภาพที่ 4.6 แสดงกราฟไซคลิกโวแท็มเมทรีของการเกิดปฏิกิริยาออกซิเดชันของเมทานอล และปฏิกิริยาออกซิเดชันของแก๊สคาร์บอนมอนอกไซด์บนตัวเร่งปฏิกิริยา Pt/C เชิงพาณิชย์ ตัวเร่งปฏิกิริยา PtRu/C เชิงพาณิชย์ และตัวเร่งปฏิกิริยา $H_3PMo_{12}O_{40}$ -Pt/C ที่มี $H_3PMo_{12}O_{40}$ ร้อยละ 200 300 และ 400 โดยน้ำหนัก ในสารละลายผสมระหว่างเมทานอลและกรดซัลฟูริก โดยการทนแก๊สคาร์บอนมอนอกไซด์ของตัวเร่งปฏิกิริยาสามารถพิจารณาได้จากอัตราส่วนระหว่างกระแสไฟฟ้าสูงสุดของการกรัดไปข้างหน้าและกระแสไฟฟ้าของการกรัดย้อนกลับ (I_f/I_b) จากตารางที่ 4.2 พบว่าตัวเร่งปฏิกิริยา Pt/C เชิงพาณิชย์มีค่า I_f/I_b ต่ำสุด แสดงว่าตัวเร่งปฏิกิริยาดังกล่าวทนแก๊สคาร์บอนมอนอกไซด์ได้น้อยที่สุด เนื่องจากแก๊สคาร์บอนมอนอกไซด์จะปักคุลุมผิวของตัวเร่งปฏิกิริยา แพลทินัมทำให้พื้นที่เกิดปฏิกิริยาลดลง และทำให้โอกาสการเกิดปฏิกิริยาออกซิเดชันของสารตั้งต้น เช่น เมทานอล หรือไฮโดรเจนในเซลล์เชื้อเพลิงได้ลดลง แต่เมื่อพิจารณาความทนแก๊สคาร์บอนมอนอกไซด์ของตัวเร่งปฏิกิริยา $H_3PMo_{12}O_{40}$ -Pt/C ที่มี $H_3PMo_{12}O_{40}$ ร้อยละ 200 300 และ 400 โดยน้ำหนัก พบว่าตัวเร่งปฏิกิริยา $H_3PMo_{12}O_{40}$ -Pt/C สามารถทนแก๊สคาร์บอนมอนอกไซด์ได้ดีกว่าตัวเร่งปฏิกิริยา Pt/C เนื่องจากการมีอยู่ของ $H_3PMo_{12}O_{40}$ ในโครงสร้างโลหะแพลทินัมมีผลในการเกิดปฏิกิริยาออกซิเดชันของคาร์บอนมอนอกไซด์สูงกว่าตัวเร่งปฏิกิริยา Pt/C แสดงดังสมการที่ (4.3) – (4.4) [46]



เมื่อพิจารณาผลของปริมาณ $H_3PMo_{12}O_{40}$ บนตัวเร่งปฏิกิริยา Pt/C ต่อความทนทานของสารบันมอนอกไซด์ พบร่ว่าตัวเร่งปฏิกิริยา $H_3PMo_{12}O_{40}(200)$ -Pt/C จะทำเกิดปฏิกิริยาออกซิเดชันของคาร์บอนมอนอกไซด์ได้น้อย เนื่องจากปริมาณแก๊สคาร์บอนมอนอกไซด์ที่เกิดขึ้นในปฏิกิริยามีจำนวนมาก เพราะฉะนั้นแก๊สคาร์บอนมอนอกไซด์ที่เหลือจากปฏิกิริยาออกซิเดชันกับไฮโดรเจนจะมีผลต่อความสามารถในการเกิดปฏิกิริยา ทำให้ความทนทานของสารบันมอนอกไซด์ลดลง ส่วนของตัวเร่งปฏิกิริยา $H_3PMo_{12}O_{40}(300)$ -Pt/C จะมีความทนแก๊สคาร์บอนมอนอกไซด์ลดลง ส่วนของตัวเร่งปฏิกิริยา $H_3PMo_{12}O_{40}(400)$ -Pt/C จะมีความทนแก๊ส

คาร์บอนมอนอกไซด์มากที่สุดโดยให้ค่า I_f/I_b เท่ากับ 1.588 เนื่องจากตัวเร่งปฏิกิริยาดังกล่าวมีสัดส่วน $H_3PMo_{12}O_{40}$ และพื้นที่ผิวที่เหมาะสมต่อการเกิดปฏิกิริยาออกซิเดชันของแก๊สคาร์บอนมอนอกไซด์ ความทนแก๊สคาร์บอนมอนอกไซด์จึงมีค่าสูงสุด แต่เมื่อพิจารณาความทนแก๊สคาร์บอนมอนอกไซด์ของตัวเร่งปฏิกิริยา $H_3PMo_{12}O_{40}(400)$ - Pt/C พบร่วมกับปริมาณที่มากเกินและขนาดของ $H_3PMo_{12}O_{40}$ ทำให้เกิดการบดบังบริเวณการเกิดปฏิกิริยาบนพื้นที่ผิวของตัวเร่งปฏิกิริยาแพลทินัม การเกิดปฏิกิริยาออกซิเดชันของเมทานอลบนตัวเร่งปฏิกิริยา Pt/C จึงลดลง ส่งผลให้ความทนแก๊สคาร์บอนมอนอกไซด์ลดลง จากการศึกษาความทนแก๊สคาร์บอนมอนอกไซด์ของตัวเร่งปฏิกิริยา $H_3PMo_{12}O_{40}$ - Pt/C พบร่วม $H_3PMo_{12}O_{40}$ ที่เหมาะสมคือร้อยละ 300 โดยน้ำหนัก ($H_3PMo_{12}O_{40}(300)$ -Pt/C) ซึ่งให้ค่า I_f/I_b เท่ากับ 1.588 ซึ่งสูงกว่าตัวเร่งปฏิกิริยา Pt/C ประมาณ 1.93 เท่า และมีค่าใกล้เคียงกับตัวเร่งปฏิกิริยา PtRu/C เชิงพาณิชย์

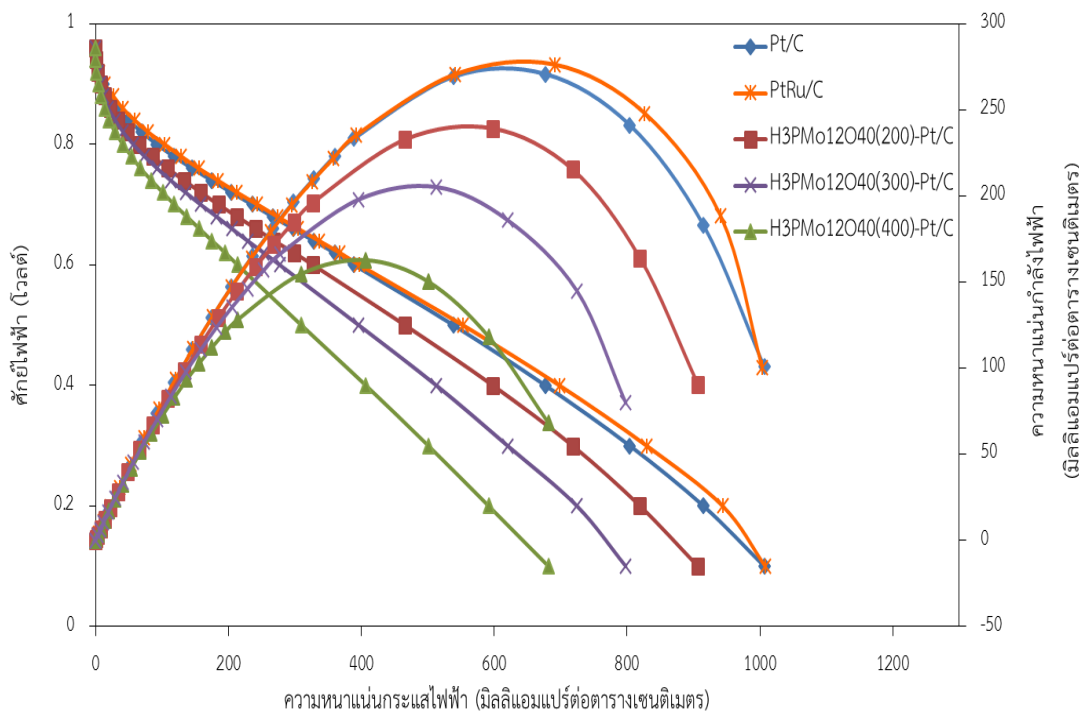


ภาพที่ 4.6 ใช้คลิกไว้แทนเมทริกของตัวเร่งปฏิกิริยา Pt/C เชิงพาณิชย์ ตัวเร่งปฏิกิริยา PtRu/C เชิงพาณิชย์ และตัวเร่งปฏิกิริยา $H_3PMo_{12}O_{40}$ - Pt/C ที่ $H_3PMo_{12}O_{40}$ ร้อยละ 200 300 และ 400 โดยน้ำหนัก ในสารละลายนผสมระหว่างเมทานอลความเข้มข้น 1 มอลต่อลิตร และสารละลายนกรดซัลฟูริกความเข้มข้น 0.5 มอลต่อลิตร

4.1.3 กัมมันตภาพของตัวเร่งปฏิกิริยาในเซลล์เชือเพลิงพื้นที่อิเม็ม

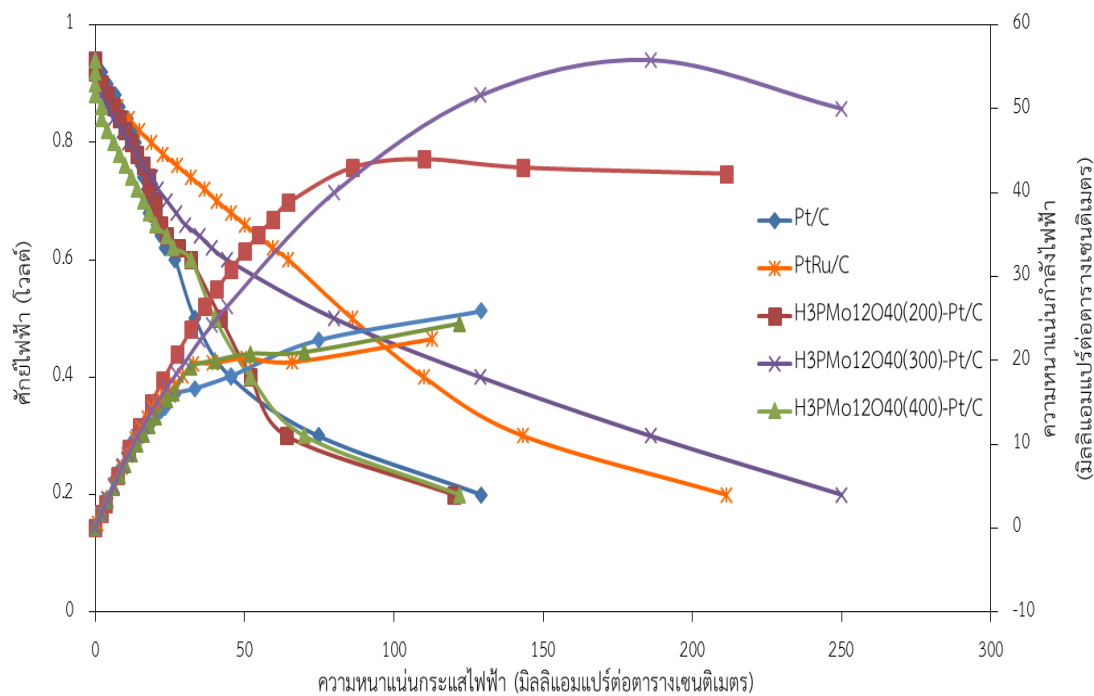
กัมมันตภาพของตัวเร่งปฏิกิริยาในเซลล์เชือเพลิงพื้นที่อิเม็มที่ภาระการทำงานหนึ่งๆ สามารถแสดงผลออกมานิรูปของกราฟโพลาไรเซชัน ซึ่งเป็นกราฟที่แสดงความสัมพันธ์ระหว่างศักย์ไฟฟ้าและความหนาแน่นกระแสไฟฟ้า งานวิจัยนี้ทำการทดสอบภายใต้บรรยากาศไฮโดรเจนและออกซิเจน และภายใต้บรรยากาศไฮโดรเจนที่มีการปนเปื้อนด้วยแก๊สคาร์บอนมอนอกไซด์ความเข้มข้น 100 ส่วนในล้านส่วนและออกซิเจน

ภาพที่ 4.7 แสดงกราฟโพลาไรเซชันของตัวเร่งปฏิกิริยา Pt/C และตัวเร่งปฏิกิริยา $H_3PMo_{12}O_{40}$ -Pt/C ที่มี $H_3PMo_{12}O_{40}$ ร้อยละ 200 300 และ 400 โดยนำหัวนัก ในเซลล์เชือเพลิงเดี่ยว ซึ่งใช้ตัวเร่งปฏิกิริยาดังกล่าวเป็นขั้วแอดโนด และใช้ตัวเร่งปฏิกิริยา Pt/C เป็นขั้วแคโทด ทดสอบในแก๊สไฮโดรเจนและออกซิเจนที่อุณหภูมิ 60 องศาเซลเซียส ความดัน 1 บรรยากาศ และอัตราการไหลของแก๊สไฮโดรเจนและออกซิเจนเท่ากับ 100 ลูกบาศก์เซนติเมตรต่อนาทีที่ภาระมาตรฐาน เมื่อพิจารณาค่าศักย์ไฟฟ้าของตัวเร่งปฏิกิริยา Pt/C PtRu/C และตัวเร่งปฏิกิริยา $H_3PMo_{12}O_{40}$ -Pt/C ที่มี $H_3PMo_{12}O_{40}$ ร้อยละ 200 300 และ 400 โดยนำหัวนัก พบร่วมกับตัวเร่งปฏิกิริยาดังกล่าวมีค่าศักย์ไฟฟ้า วงจรเปิดเท่ากับ 0.959 0.960 0.958 0.965 และ 0.961 ตามลำดับ ซึ่งแตกต่างกันน้อยมาก ดังนั้น การแพร่ผ่านของแก๊สเชือเพลิงจึงไม่ส่งผลกระทบโดยรวมของเซลล์เชือเพลิง เมื่อพิจารณาที่ศักย์ไฟฟ้า 0.6 โวลต์ พบร่วมกับตัวเร่งปฏิกิริยา Pt/C PtRu/C และตัวเร่งปฏิกิริยา $H_3PMo_{12}O_{40}$ -Pt/C ที่มี $H_3PMo_{12}O_{40}$ ร้อยละ 200 300 และ 400 โดยนำหัวนัก ให้ค่าความหนาแน่นกระแสไฟฟ้าเท่ากับ 389 392 327 277 และ 214 มิลลิแอม培ร์ต่อตารางเซนติเมตร ตามลำดับ (ตารางที่ 4.2) แสดงให้เห็นว่าตัวเร่งปฏิกิริยา Pt/C จะมีค่ากัมมันตภาพสูงที่สุด เนื่องจากผลของการมีอยู่ของไฮดรอกซิโลมิเดียมไม่ได้ช่วยเร่งปฏิกิริยาออกซิเดชันของแก๊สไฮโดรเจน และเมื่อเปรียบเทียบกับตัวเร่งปฏิกิริยา PtRu/C เชิงพาณิชย์ พบร่วมกับตัวเร่งปฏิกิริยา PtRu/C เชิงพาณิชย์ จะมีค่ากัมมันตภาพสูงสุด เนื่องจากสมบัติความเป็นโลหะผสมและพื้นที่ผิวในการเกิดปฏิกิริยาที่สูงกว่าตัวเร่งปฏิกิริยา Pt/C เชิงพาณิชย์ และตัวเร่งปฏิกิริยา $H_3PMo_{12}O_{40}$ -Pt/C



ภาพที่ 4.7 โพลาริเซชันของตัวเร่งปฏิกิริยา Pt/C เขิงพานิชย์ ตัวเร่งปฏิกิริยา PtRu/C เขิงพานิชย์ และตัวเร่งปฏิกิริยา $H_3PMo_{12}O_{40}$ -Pt/C ที่มี $H_3PMo_{12}O_{40}$ ร้อยละ 200 300 และ 400 โดยน้ำหนัก ภายในกระบวนการไฮโดรเจนและออกซิเจน

ภาพที่ 4.8 แสดงสมรรถนะของตัวเร่งปฏิกิริยาที่ทดสอบภายในบรรยายกาศไฮโดรเจนที่มีการปนเปื้อนด้วยแก๊สคาร์บอนมอนอกไซด์ความเข้มข้น 100 ส่วนในล้านส่วนและออกซิเจน ที่อุณหภูมิ 60 องศาเซลเซียส ความดัน 1 บรรยากาศ และอัตราการไหลของแก๊สไฮโดรเจนและออกซิเจนเท่ากับ 100 ลูกบาศก์เซนติเมตรต่อนาที เป็นเวลา 1 ชั่วโมง เมื่อพิจารณาที่ศักย์ไฟฟ้าจะรีเปิด พบร่วมตัวเร่งปฏิกิริยา Pt/C และตัวเร่งปฏิกิริยา $H_3PMo_{12}O_{40}$ - Pt/C ที่มี $H_3PMo_{12}O_{40}$ ร้อยละ 200 300 และ 400 โดยน้ำหนัก มีค่าศักย์ไฟฟ้าจะรีเปิดเท่ากับ 0.955 0.954 0.957 และ 0.948 ตามลำดับ ซึ่งแตกต่างกันน้อยมาก ดังนั้นการแพร์ฟั่นเมมเบรนของแก๊สเชือเพลิงไม่ได้ส่งผลต่อสมรรถนะโดยรวมของเซลล์เชือเพลิง เมื่อพิจารณาที่ศักย์ไฟฟ้า 0.6 โวลต์ พบร่วมตัวเร่งปฏิกิริยา Pt/C PtRu/C และตัวเร่งปฏิกิริยา $H_3PMo_{12}O_{40}$ - Pt/C ที่มี $H_3PMo_{12}O_{40}$ ร้อยละ 200 300 และ 400 โดยน้ำหนัก ให้ค่าความหนาแน่นกระแสไฟฟ้าเท่ากับ 26.67 64.67 32.67 44 และ 32 มิลลิแอมป์รต่อตารางเซนติเมตร ตามลำดับ (ตารางที่ 4.2) ซึ่งจะเห็นว่าตัวเร่งปฏิกิริยา $H_3PMo_{12}O_{40}$ - Pt/C ที่มี $H_3PMo_{12}O_{40}$ ร้อยละ 200 300 และ 400 โดยน้ำหนัก มีความทนทานของแก๊สเชือเพลิงสูงกว่าตัวเร่งปฏิกิริยา Pt/C เนื่องจากการมีอยู่ของເຊເຫຼວໂພລິແອ້ຊິດໃນโครงสร้างของตัวเร่งปฏิกิริยา จะมีผลต่อการเร่งปฏิกิริยาออกซิเดชันของแก๊สคาร์บอนมอนอกไซด์ ดังปฏิกิริยาที่ (4.3) – (4.4)



ภาพที่ 4.8 โพลาริเซชันของตัวเร่งปฏิกิริยา Pt/C เชิงพาณิชย์ ตัวเร่งปฏิกิริยา PtRu/C เชิงพาณิชย์ และตัวเร่งปฏิกิริยา $\text{H}_3\text{PMo}_{12}\text{O}_{40}$ - Pt/C ที่มี $\text{H}_3\text{PMo}_{12}\text{O}_{40}$ ร้อยละ 200 300 และ 400 โดยน้ำหนัก ภายในบรรยายกาศไซโตรเจนที่มีการปนเปื้อนด้วยแก๊สคาร์บอนมอนอกไซด์ความเข้มข้น 100 ส่วนใน

ล้านส่วนและออกซิเจน

4.2 ผลของการเติมซีเชียมบนตัวเร่งปฏิกิริยา $H_3PMo_{12}O_{40}$ - Pt/C

4.2.1 การทดสอบการละลายน้ำของ $Cs_xH_{3-x}PMo_{12}O_{40}$

เนื่องจาก $H_3PMo_{12}O_{40}$ มีข้อเสียคือมีสภาพการละลายน้ำสูงและมีพื้นที่ผิวน้อยจึงมีเสถียรภาพและกัมมันตภาพในการเร่งปฏิกิริยาต่ำ การลดปัญหาดังกล่าวสามารถทำได้โดยการแทนที่ไฮโดรเจนในโครงสร้าง $H_3PMo_{12}O_{40}$ ด้วยแคนท์ไอออน เช่น โพแทสเซียมไอออน (K^+) รูบิเดียมไอออน (Rb^+) ซีเชียมไอออน (Cs^+) และแอมโมเนียมไอออน (NH_4^+) ซึ่งมีสมบัติไม่ละลายน้ำและการมีพื้นที่ผิวมากจึงเหมาะสมในการนำมาใช้แทนที่ในโครงสร้างເຫຼວໂພລິແອຊີດเพื่อลดปัญหาการละลายน้ำและเพิ่มประสิทธิภาพของตัวเร่งปฏิกิริยาให้ดีขึ้น [53] งานวิจัยนี้สนใจศึกษาการแทนที่ของ Cs^+ ในโครงสร้าง $H_3PMo_{12}O_{40}$

จากภาพที่ 4.9 พบว่า $H_3PMo_{12}O_{40}$ จะละลายน้ำได้ดีกว่า $Cs_xH_{3-x}PMo_{12}O_{40}$ เนื่องจากการแทนที่ของ Cs^+ ส่งผลต่อสมบัติเดิมของ $H_3PMo_{12}O_{40}$ ยิ่งมีการแทนที่ไฮโดรเจนไอออนในโครงสร้างเพิ่มมากขึ้น ความสามารถในการละลายน้ำจะลดลง ดังแสดงในตารางที่ 4.3



ภาพที่ 4.9 เปรียบเทียบการละลายน้ำของ $H_3PMo_{12}O_{40}$ และ $Cs_xH_{3-x}PMo_{12}O_{40}$

ตารางที่ 4.3 การละลายน้ำของ $H_3PMo_{12}O_{40}$ และ $Cs_xH_{3-x}PMo_{12}O_{40}$

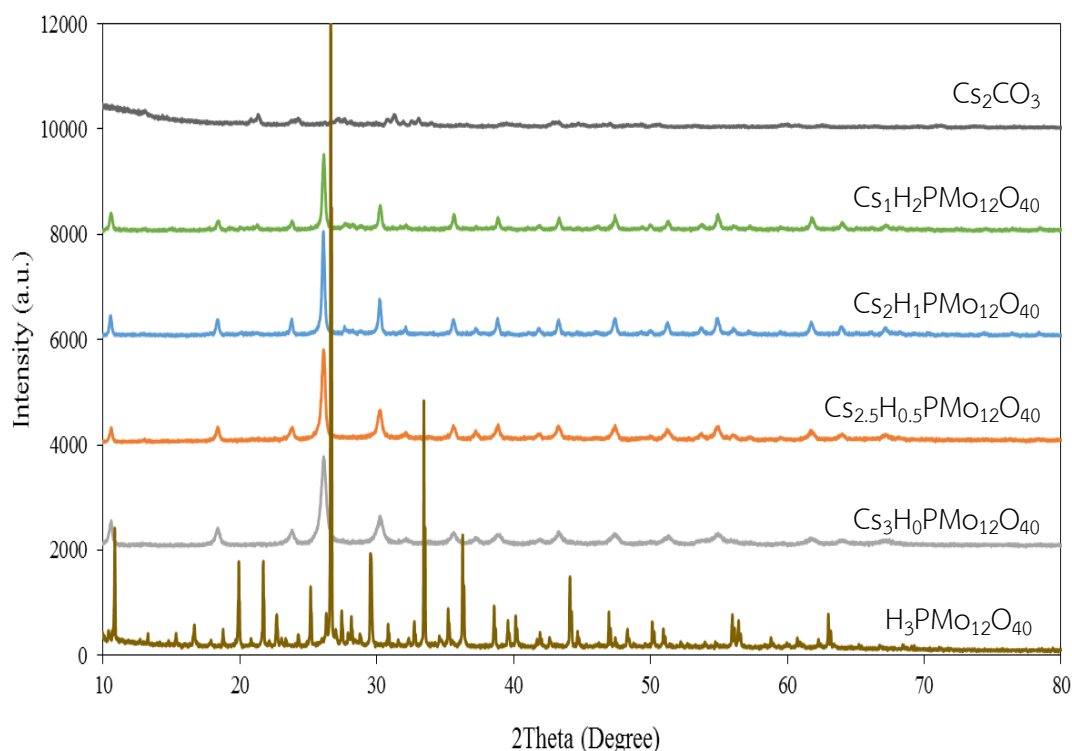
ตัวเร่งปฏิกิริยา	การละลาย (มิลลิกรัมต่อชั่วโมง)
$H_3PMo_{12}O_{40}$	27.78 ± 6.24
$Cs_1H_2PMo_{12}O_{40}$	12.97 ± 1.15
$Cs_2H_1PMo_{12}O_{40}$	12.61 ± 1.33
$Cs_{2.5}H_{0.5}PMo_{12}O_{40}$	11.59 ± 1.84
$Cs_3H_0PMo_{12}O_{40}$	11.30 ± 1.94

4.2.2 โครงสร้าง อัตราส่วน และสัณฐานวิทยาของตัวเร่งปฏิกิริยา $Cs_xH_{3-x}PMo_{12}O_{40}$ และ $Cs_xH_{3-x}PMo_{12}O_{40}-Pt/C$

ภาพที่ 4.10 แสดงผลการเลี้ยวเบนของรังสีเอกซ์ของ $H_3PMo_{12}O_{40}$ Cs_2CO_3 และตัวเร่งปฏิกิริยา $Cs_xH_{3-x}PMo_{12}O_{40}$ พบว่า $H_3PMo_{12}O_{40}$ เชิงพาณิชย์จะแสดงพีกหลักที่มุม 2θ เท่ากับ 26.59° 33.39° และ 36.21° ตามลำดับ ในขณะที่ $Cs_xH_{3-x}PMo_{12}O_{40}$ จะแสดงพีกที่มุม 2θ ลดลง แสดงว่ามีการแทนที่ของ Cs^+ ในโครงสร้าง $H_3PMo_{12}O_{40}$ จริง เนื่องจากที่มุม 2θ ลดลง ส่งผลให้ระยะห่างระหว่างระนาบผลึก (d -spacing) มีค่าห่างมากขึ้น ตามสมการของแบรก (Bragg equation) (สมการที่ 4.5) ซึ่งเกิดจากการแทนที่ของ Cs^+ ที่มีขนาดอะตอมใหญ่กว่าไฮโดรเจนไอออนในโครงสร้าง $H_3PMo_{12}O_{40}$

$$2D \sin \theta = n\lambda \quad (4.5)$$

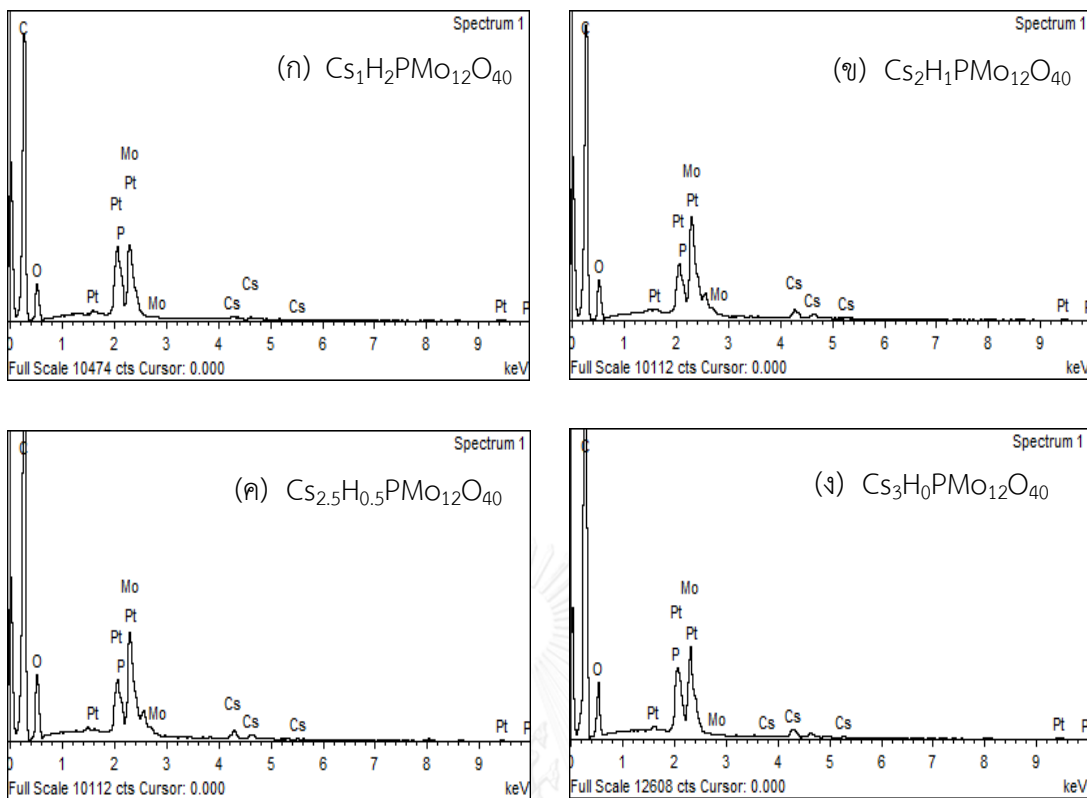
เมื่อ D คือระยะห่างระหว่างระนาบในอะตอมมิกแลตทิซ (Atomic lattice) 2θ คือผลรวมของมุมทุกกระทำและมุมสะท้อน λ คือความยาวคลื่นของรังสีเอกซ์ n คือจำนวนเต็มใดๆ ของความยาวคลื่นที่ทำให้เกิดการเลี้ยวเบนแบบเสริมกันมีค่าตั้งแต่ 1, 2, 3...



ภาพที่ 4.10 โครงสร้าง $\text{H}_3\text{PMo}_{12}\text{O}_{40}$ เชิงพาณิชย์ Cs_2CO_3 เชิงพาณิชย์ และตัวเร่งปฏิกิริยา $\text{Cs}_{x}\text{H}_{3-x}\text{PMo}_{12}\text{O}_{40}$ ที่สังเคราะห์ขึ้น

จากการวิเคราะห์ด้วยเทคนิคการเลี้ยวเบนของรังสีเอกซ์ไม่สามารถบอกได้ว่ามี Cs^+ ในโครงสร้าง $\text{H}_3\text{PMo}_{12}\text{O}_{40}$ อยู่จริง เพราะไม่มีแบบรูปการเลี้ยวเบนมาตรฐานบนฐานข้อมูลใดๆ จึงทำการวิเคราะห์ร้อยละของรัตุที่มีอยู่ในองค์ประกอบ $\text{Cs}_{x}\text{H}_{3-x}\text{PMo}_{12}\text{O}_{40}$ ด้วยเทคนิค EDX

จากการที่ 4.11 พบว่า $\text{Cs}_{x}\text{H}_{3-x}\text{PMo}_{12}\text{O}_{40}$ ทุกตัวมีซีเชียม ฟอฟอรัส молibดีนัม และออกซิเจนกระจายตัวอยู่ จึงเป็นการช่วยยืนยันได้ว่ามีการแทนที่ Cs^+ ในโครงสร้าง $\text{H}_3\text{PMo}_{12}\text{O}_{40}$ จริง จากราคาที่ 4.4 พบว่าปริมาณสัมพัทธ์โดยอะตอมของ $\text{Cs}_{x}\text{H}_{3-x}\text{PMo}_{12}\text{O}_{40}$ ที่สังเคราะห์ขึ้นมีค่าตรงตามอัตราส่วนที่ต้องการโดยสามารถคำนวณได้จากร้อยละโดยอะตอมของฟอฟอรัสในโครงสร้าง $\text{H}_3\text{PMo}_{12}\text{O}_{40}$ เป็นหลัก เนื่องจากมีฟอฟอรัสในโครงสร้างเพียงตัวเดียว จึงยืนยันได้ว่าตัวเร่งปฏิกิริยา $\text{Cs}_{x}\text{H}_{3-x}\text{PMo}_{12}\text{O}_{40}$ ที่เตรียมขึ้นนั้นมีอัตราส่วนระหว่าง $\text{Cs}^+ : \text{H}^+$ ดังนี้ 1:2 2:1 2.5:0.5 และ 3:0 โดยอะตอมเท่ากับที่ต้องการจริง

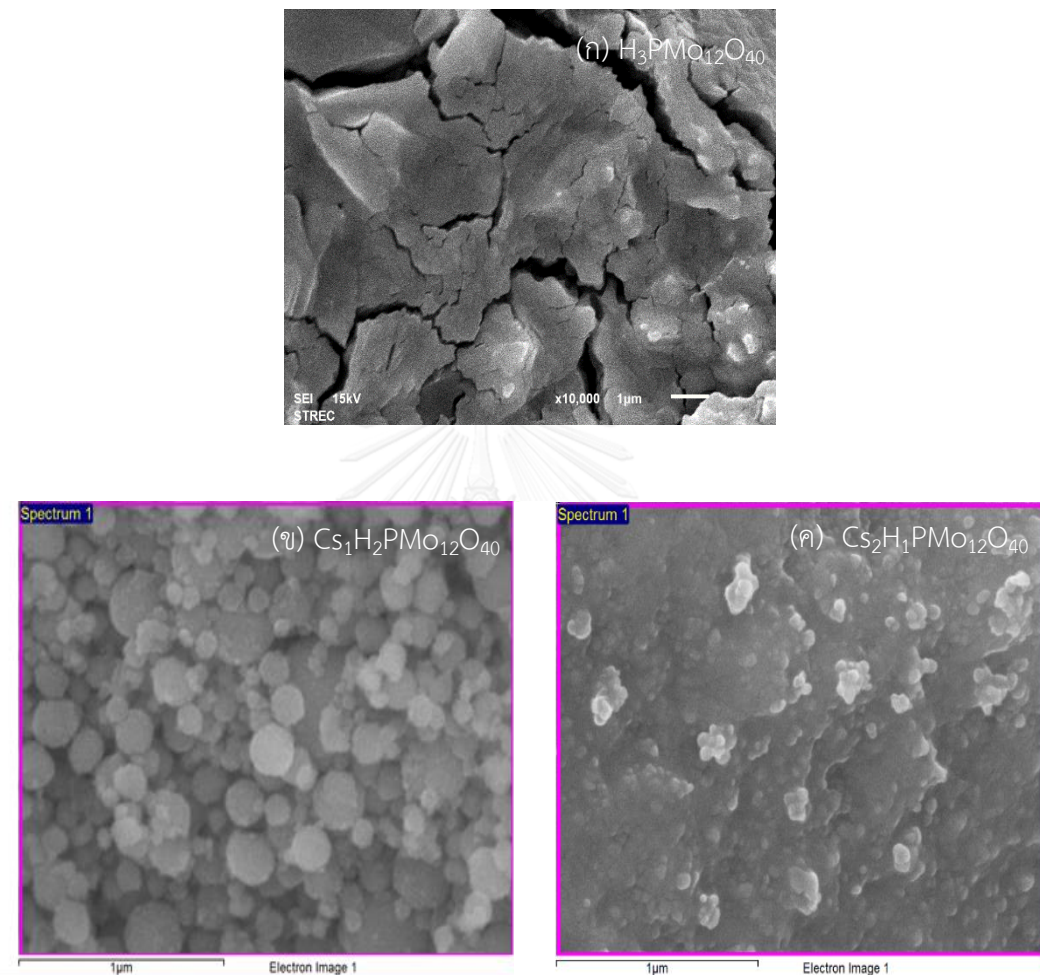


ภาพที่ 4.11 ผลการวิเคราะห์ตัวเร่งปฏิกิริยา $\text{Cs}_x\text{H}_{3-x}\text{PMo}_{12}\text{O}_{40}$ (ก) $\text{Cs}_1\text{H}_2\text{PMo}_{12}\text{O}_{40}$
 (ข) $\text{Cs}_2\text{H}_1\text{PMo}_{12}\text{O}_{40}$ (ค) $\text{Cs}_{2.5}\text{H}_{0.5}\text{PMo}_{12}\text{O}_{40}$ และ (ง) $\text{Cs}_3\text{H}_0\text{PMo}_{12}\text{O}_{40}$ ด้วยเทคนิค EDX

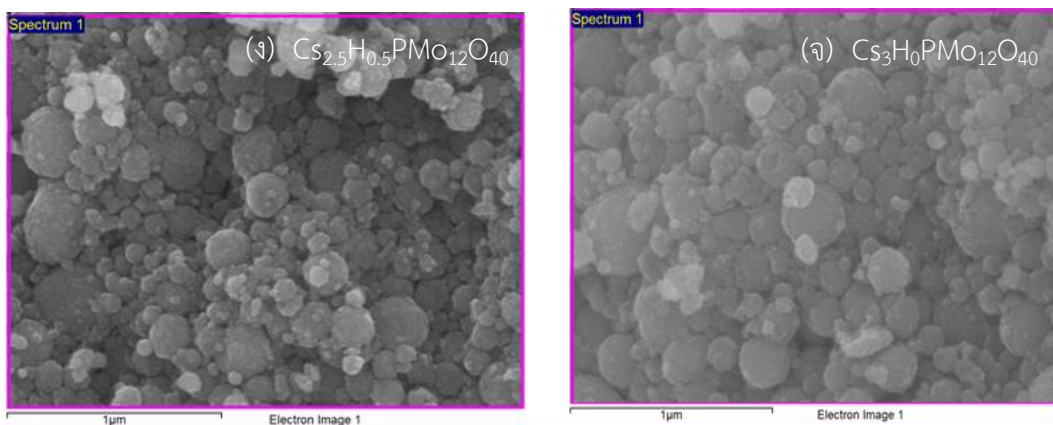
ตารางที่ 4.4 ปริมาณสัมพันธ์โดยอัตราในการวิเคราะห์เชิงปริมาณ และขนาดผลลัพธ์ของตัวเร่งปฏิกิริยา $\text{Cs}_x\text{H}_{3-x}\text{PMo}_{12}\text{O}_{40}$

เกลือไฮเทอโรโพลิ แออซิด	ปริมาณสัมพันธ์โดยอัตรา				ขนาดผลลัพธ์ (นาโนเมตร)
	Cs	P	Mo	O	
$\text{H}_3\text{PMo}_{12}\text{O}_{40}$	-	1	12	40	83.51
$\text{Cs}_1\text{H}_2\text{PMo}_{12}\text{O}_{40}$	1.21	1	11.29	60.03	34.76
$\text{Cs}_2\text{H}_1\text{PMo}_{12}\text{O}_{40}$	2.07	1	13.83	35.45	37.95
$\text{Cs}_{2.5}\text{H}_{0.5}\text{PMo}_{12}\text{O}_{40}$	2.49	1	12.26	40.12	27.49
$\text{Cs}_3\text{H}_0\text{PMo}_{12}\text{O}_{40}$	3.38	1	15.56	52.41	19.29

ภาพที่ 4.12 แสดงภาพถ่ายของ $H_3PMo_{12}O_{40}$ และ $Cs_xH_{3-x}PMo_{12}O_{40}$ ที่สังเคราะห์ขึ้นด้วยกล้องจุลทรรศน์อิเล็กตรอนแบบส่องกราด พบร่องรอยแตกต่างของอนุภาคของ $H_3PMo_{12}O_{40}$ จะมีพื้นผิวเรียบ และเมื่อเพิ่ม Cs^+ ลงในโครงสร้าง $H_3PMo_{12}O_{40}$ อนุภาคที่เกิดขึ้นส่วนใหญ่เป็นทรงกลม

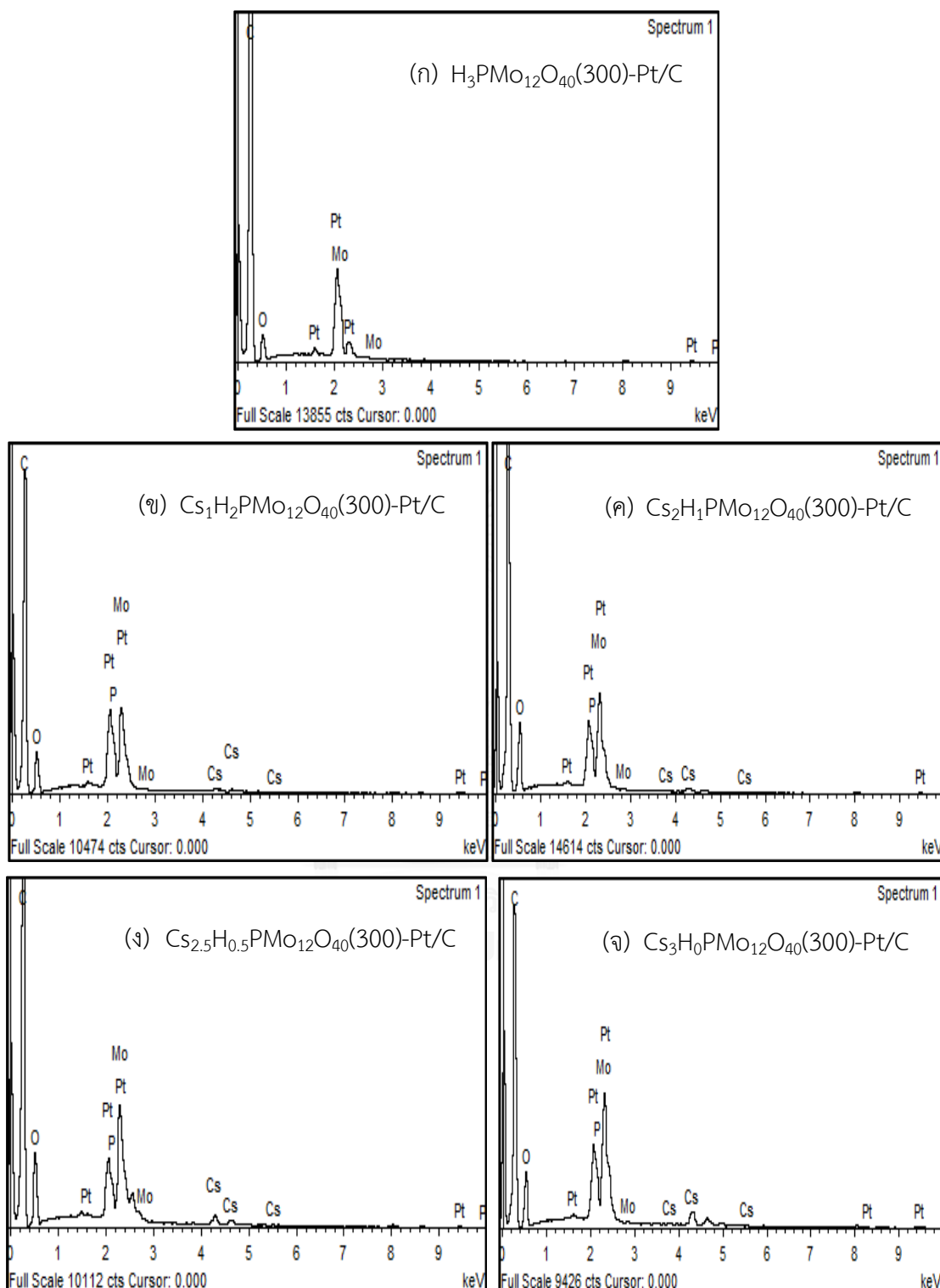


ภาพที่ 4.12 ภาพถ่ายของ $H_3PMo_{12}O_{40}$, เกลือไฮโตรโพลิแอซิตด้วยกล้องจุลทรรศน์อิเล็กตรอนแบบส่องกราด (ก) $H_3PMo_{12}O_{40}$ (ข) $Cs_1H_2PMo_{12}O_{40}$ (ค) $Cs_2H_1PMo_{12}O_{40}$ (ง) $Cs_{2.5}H_{0.5}PMo_{12}O_{40}$, และ (จ) $Cs_3H_0PMo_{12}O_{40}$ (ต่อ)



ภาพที่ 4.13 ภาพถ่ายของ $H_3PMo_{12}O_{40}$, เกลือเซเทอโรโพลิแอซิดด้วยกล้องจุลทรรศน์อิเล็กตรอนแบบส่องกราด (ก) $H_3PMo_{12}O_{40}$ (ข) $Cs_1H_2PMo_{12}O_{40}$ (ค) $Cs_2H_1PMo_{12}O_{40}$
(ง) $Cs_{2.5}H_{0.5}PMo_{12}O_{40}$, และ(จ) $Cs_3H_0PMo_{12}O_{40}$

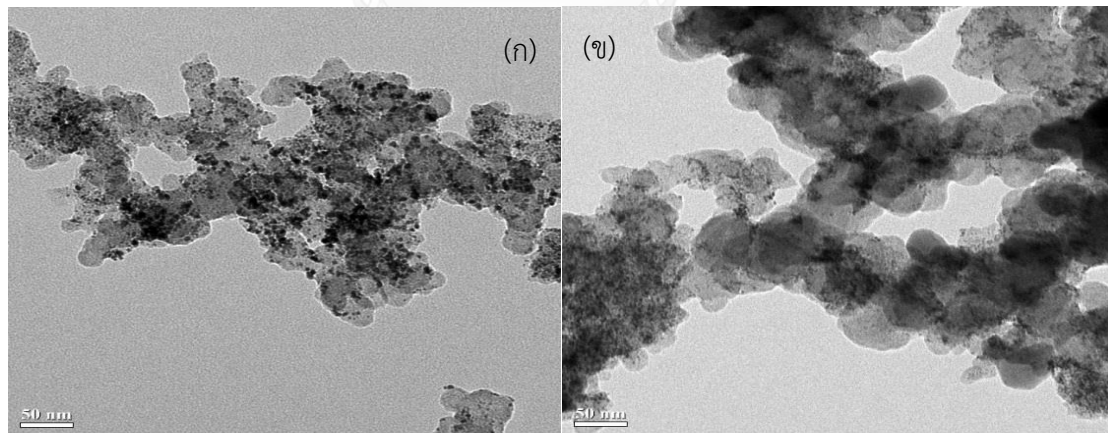
ภาพที่ 4.14 แสดงผลการวิเคราะห์ $Cs_xH_{3-x}PMo_{12}O_{40}$ บนตัวเร่งปฏิกิริยา Pt/C ด้วยเทคนิค EDX พบว่ามี $Cs_xH_{3-x}PMo_{12}O_{40}$ บนตัวเร่งปฏิกิริยา Pt/C จริง และมีปริมาณสัมพัทธ์โดยอะตอมของธาตุต่างๆ แสดงดังตารางที่ 4.5 โดยการกระจายตัวของ $Cs_xH_{3-x}PMo_{12}O_{40}$ บนตัวเร่งปฏิกิริยา Pt/C มีลักษณะเป็นกลุ่มที่มีขนาดใหญ่ กระจายตัวเต็มพื้นที่ ดังภาพที่ 4.15 เมื่อนำ $Cs_xH_{3-x}PMo_{12}O_{40}$ บนตัวเร่งปฏิกิริยา Pt/C ไปวิเคราะห์การเลี้ยวเบนของรังสีเอกซ์ พบร้าพิกที่เกิดขึ้นส่วนใหญ่เป็นพิกของ $H_3PMo_{12}O_{40}$ และพิก Cs_2CO_3 ปรากฏร่วมอยู่ด้วย โดยพิกจะเลื่อนไปทางซ้ายที่ 2θ มีค่าน้อยลง แสดงว่าระยะห่างระหว่างผลึกมีค่ามากขึ้น เนื่องจากการแทนที่ของ Cs^+ ที่มีขนาดใหญ่กว่าไฮโดรเจน ไอออนในโครงสร้างของ $H_3PMo_{12}O_{40}$ ทำให้ $Cs_xH_{3-x}PMo_{12}O_{40}$ ที่ได้มีขนาดใหญ่และบดบังพิกของตัวเร่งปฏิกิริยา Pt/C ดังภาพที่ 4.17



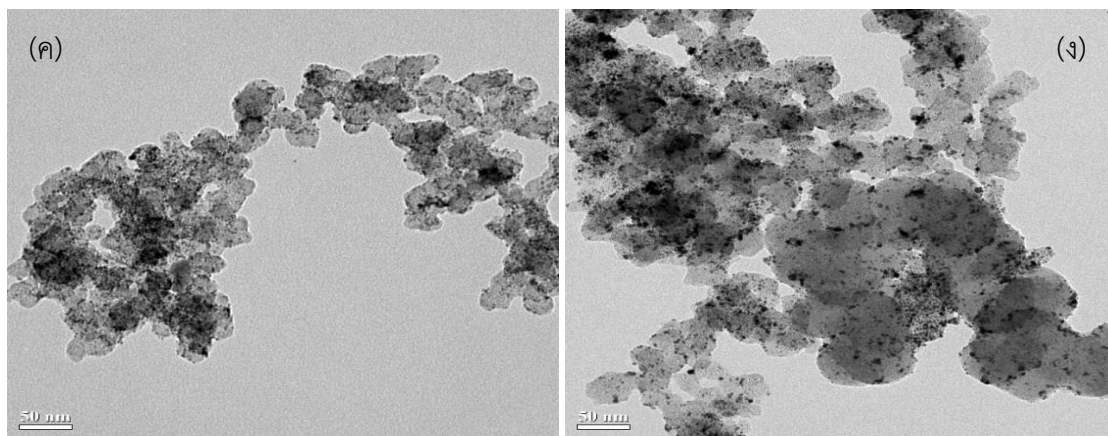
ภาพที่ 4.14 ผลการวิเคราะห์ด้วยเทคนิค EDX ของตัวเร่งปฏิกิริยา (ก) $H_3PMo_{12}O_{40}(300)$ -Pt/C (จ) $Cs_3H_0PMo_{12}O_{40}(300)$ -Pt/C (ค) $Cs_2H_1PMo_{12}O_{40}(300)$ -Pt/C (ฉ) $Cs_1H_2PMo_{12}O_{40}(300)$ -Pt/C และ (ก) $Cs_2.5H_0.5PMo_{12}O_{40}(300)$ -Pt/C

ตารางที่ 4.5 ปริมาณสัมพัทธ์โดยอะตอมในการวิเคราะห์เชิงปริมาณ และขนาดผลึกของเกลือของตัวเร่งปฏิกิริยา $Cs_xH_{3-x}PMo_{12}O_{40}$ - Pt/C

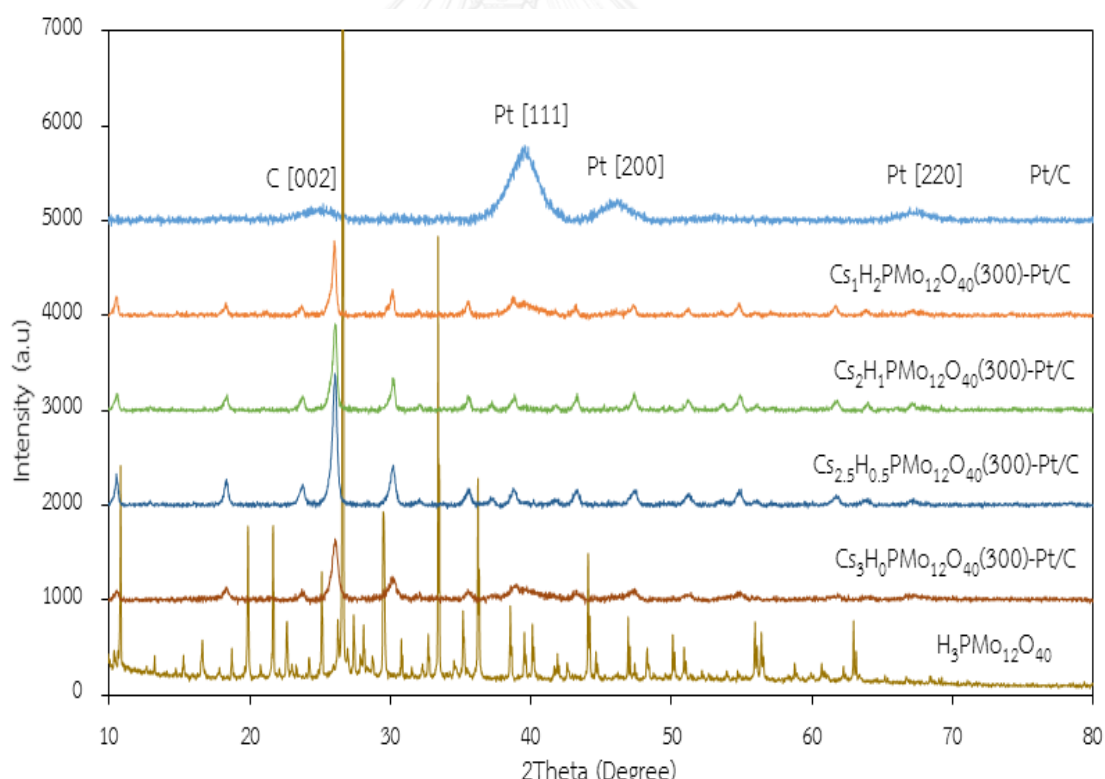
ตัวเร่งปฏิกิริยา	ปริมาณสัมพัทธ์โดยอะตอม						ขนาดผลึก (นาโนเมตร)
	Cs	P	Mo	O	Pt	C	
$H_3PMo_{12}O_{40}$ (300)-Pt/C	-	-	0.45	6.69	1	91.86	
$Cs_1H_2PMo_{12}O_{40}$ (300)- Pt/C	1.40	1	21.10	100.09	9.70	865.8	27.19
$Cs_2H_1PMo_{12}O_{40}$ (300)- Pt/C	1.88	1	23.75	165.25	4.47	559.87	22.56
$Cs_{2.5}H_{0.5}PMo_{12}O_{40}$ (300)- Pt/C	2.55	1	17.45	110.91	4.63	772.45	21.60
$Cs_3H_0PMo_{12}O_{40}$ (300)- Pt/C	3.33	1	15.50	63.00	4.56	468.17	17.60



ภาพที่ 4.15 ภาพถ่ายตัวเร่งปฏิกิริยาด้วยกล้องจุลทรรศน์แบบส่องผ่าน (ก) $Cs_1H_2PMo_{12}O_{40}$ (300)-Pt/C (ข) $Cs_2H_1PMo_{12}O_{40}$ (300)-Pt/C (ค) $Cs_{2.5}H_{0.5}PMo_{12}O_{40}$ (300)-Pt/C และ (ง) $Cs_3H_0PMo_{12}O_{40}$ (300)-Pt/C (ต่อ)



ภาพที่ 4.16 ภาพถ่ายตัวเร่งปฏิกิริยาด้วยกล้องจุลทรรศน์แบบส่องผ่าน (κ) $\text{Cs}_1\text{H}_2\text{PMo}_{12}\text{O}_{40}(300)$ -
Pt/C (η) $\text{Cs}_2\text{H}_1\text{PMo}_{12}\text{O}_{40}(300)$ -Pt/C (κ) $\text{Cs}_{2.5}\text{H}_{0.5}\text{PMo}_{12}\text{O}_{40}(300)$ -Pt/C และ (η)
 $\text{Cs}_3\text{H}_0\text{PMo}_{12}\text{O}_{40}(300)$ -Pt/C

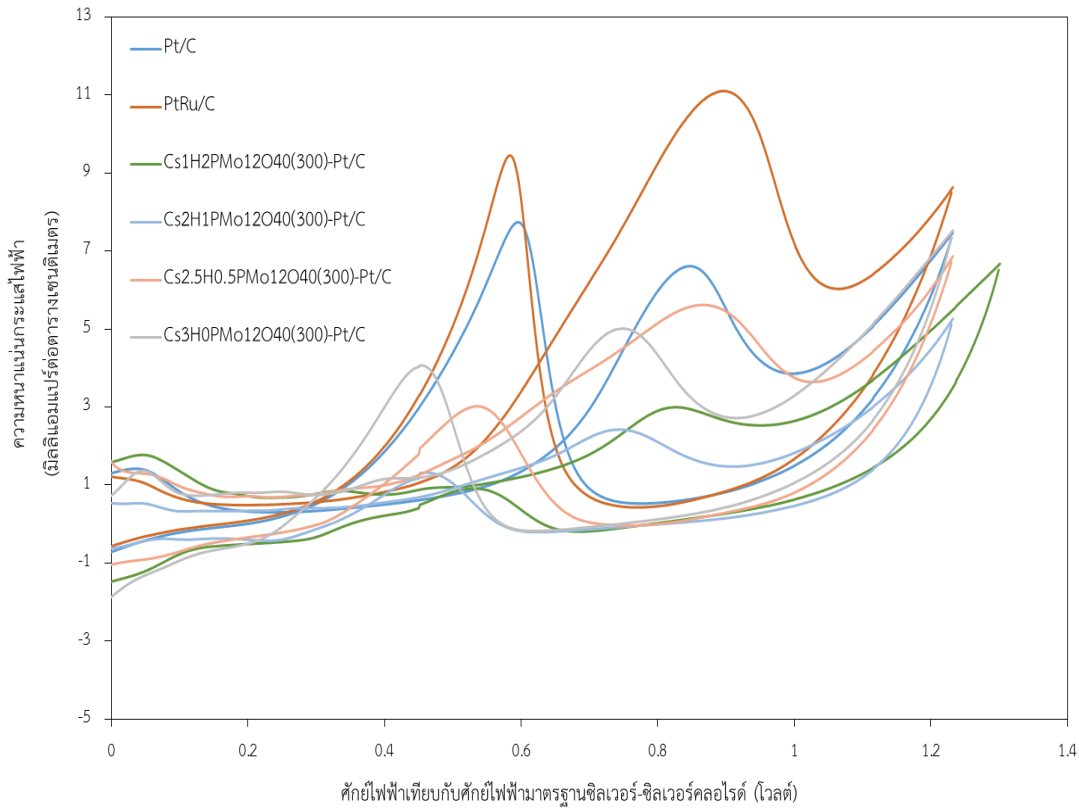


ภาพที่ 4.17 โครงสร้างตัวเร่งปฏิกิริยา Pt/C เชิงพาณิชย์ $\text{H}_3\text{PMo}_{12}\text{O}_{40}$ เชิงพาณิชย์ และตัวเร่ง
ปฏิกิริยา $\text{Cs}_{x}\text{H}_{3-x}\text{PMo}_{12}\text{O}_{40}$ - Pt/C ที่สังเคราะห์ขึ้น

4.2.3 ความทนแก๊สคาร์บอนมอนอกไซด์ของตัวเร่งปฏิกิริยา

ภาพที่ 4.18 แสดงกราฟไฟคอลิกโวแรมเมทรีของการเกิดปฏิกิริยาออกซิเดชันของเมทานอล และปฏิกิริยาออกซิเดชันของแก๊สคาร์บอนมอนอกไซด์บนตัวเร่งปฏิกิริยา Pt/C เชิงพาณิชย์ และตัวเร่งปฏิกิริยา $H_3PMo_{12}O_{40}(300)$ -Pt/C และตัวเร่งปฏิกิริยา $Cs_xH_{3-x}PMo_{12}O_{40}(300)$ -Pt/C ที่อัตราส่วนต่างๆ ในสารละลายน้ำมีความเข้มข้น 1 มอลต่อลิตร ผสมสารละลายนครดชัลฟูริกความเข้มข้น 0.5 มอลต่อลิตร โดยการทวนแก๊สคาร์บอนมอนอกไซด์ของตัวเร่งปฏิกิริยาสามารถพิจารณาได้จากอัตราส่วนระหว่างกระแสไฟฟ้าสูงสุดของการกรัดไปข้างหน้าและกระแสไฟฟ้าของการกรัดย้อนกลับ (I_f/I_b)

เมื่อพิจารณาความทนแก๊สคาร์บอนมอนอกไซด์ของตัวเร่งปฏิกิริยา $Cs_xH_{3-x}PMo_{12}O_{40}(300)$ -Pt/C พบร่วง Cs⁺ ในโครงสร้าง $H_3PMo_{12}O_{40}$ ส่งผลต่อการเกิดปฏิกิริยาออกซิเดชันของแก๊สคาร์บอนมอนอกไซด์ โดยตัวเร่งปฏิกิริยา $Cs_xH_{3-x}PMo_{12}O_{40}$ ที่มีการแทนที่ H อะตอมด้วย Cs เท่ากับ 1 อะตอม จะทำให้ความทนแก๊สคาร์บอนมอนอกไซด์ของตัวเร่งปฏิกิริยา $Cs_xH_{3-x}PMo_{12}O_{40}$ -Pt/C เพิ่มขึ้น โดยพิจารณาจากค่า I_f/I_b ที่เพิ่มขึ้นจาก 1.588 เป็น 2.449 (ตารางที่ 4.4) เนื่องจากปริมาณ Cs⁺ ในโครงสร้าง $H_3PMo_{12}O_{40}$ ลดการละลายน้ำของ $H_3PMo_{12}O_{40}$ ทำให้เร่งปฏิกิริยาออกซิเดชันของแก๊สคาร์บอนมอนอกไซด์ได้ดี แต่เมื่อเพิ่มจำนวน Cs จาก 1 ถึง 3 อะตอม พบร่วงความทนแก๊สคาร์บอนมอนอกไซด์ลดลง เนื่องจาก Cs⁺ มีขนาดใหญ่ เมื่อจำนวนอะตอมเข้าแทนที่ H⁺ เพิ่มขึ้น เกิดการบดบังปฏิกิริยาออกซิเดชันของแก๊สคาร์บอนมอนอกไซด์กับไฮโดรโพลิเอธิดไออ่อน แก๊สคาร์บอนมอนอกไซด์ลดลง อย่างไรก็ได้ตัวเร่งปฏิกิริยา $Cs_xH_{3-x}PMo_{12}O_{40}$ -Pt/C ที่มี x = 1 ถึง 2.5 จะมีความทนแก๊สคาร์บอนมอนอกไซด์มากกว่าตัวเร่งปฏิกิริยา $H_3PMo_{12}O_{40}(300)$ -Pt/C และเมื่อพิจารณาความทนแก๊สคาร์บอนมอนอกไซด์ของตัวเร่งปฏิกิริยา $Cs_xH_{3-x}PMo_{12}O_{40}$ -Pt/C ทุกตัว พบร่วงปฏิกิริยา $Cs_1H_2PMo_{12}O_{40}$ -Pt/C จะมีความทนแก๊สคาร์บอนมอนอกไซด์มากกว่าตัวเร่งปฏิกิริยา $Cs_xH_{3-x}PMo_{12}O_{40}$ -Pt/C ตัวอื่น โดยจะให้ค่า I_f/I_b เท่ากับ 2.449 ซึ่งมากกว่าตัวเร่งปฏิกิริยา Pt/C และ PtRu/C ประมาณ 2.98 และ 1.49 เท่า ตามลำดับ



ภาพที่ 4.18 ไซค์ลิกโวแคมเมทรีของตัวเร่งปฏิกิริยา Pt/C เชิงพาณิชย์ ตัวเร่งปฏิกิริยา PtRu/C เชิงพาณิชย์ตัวเร่งปฏิกิริยา H₃PMo₁₂O₄₀ บนตัวเร่งปฏิกิริยา Pt/C ที่ร้อยละ 300 โดยเนื้อหัก และตัวเร่งปฏิกิริยา Cs_xH_{3-x}PMo₁₂O₄₀- Pt/C ที่มี Cs_xH_{3-x}PMo₁₂O₄₀ ร้อยละ 300 ในสารละลายน้ำออลความเข้มข้น 1 มิลลิตร ผสมสารละลายน้ำกรดซัลฟูริกความเข้มข้น 0.5 มิลลิตร

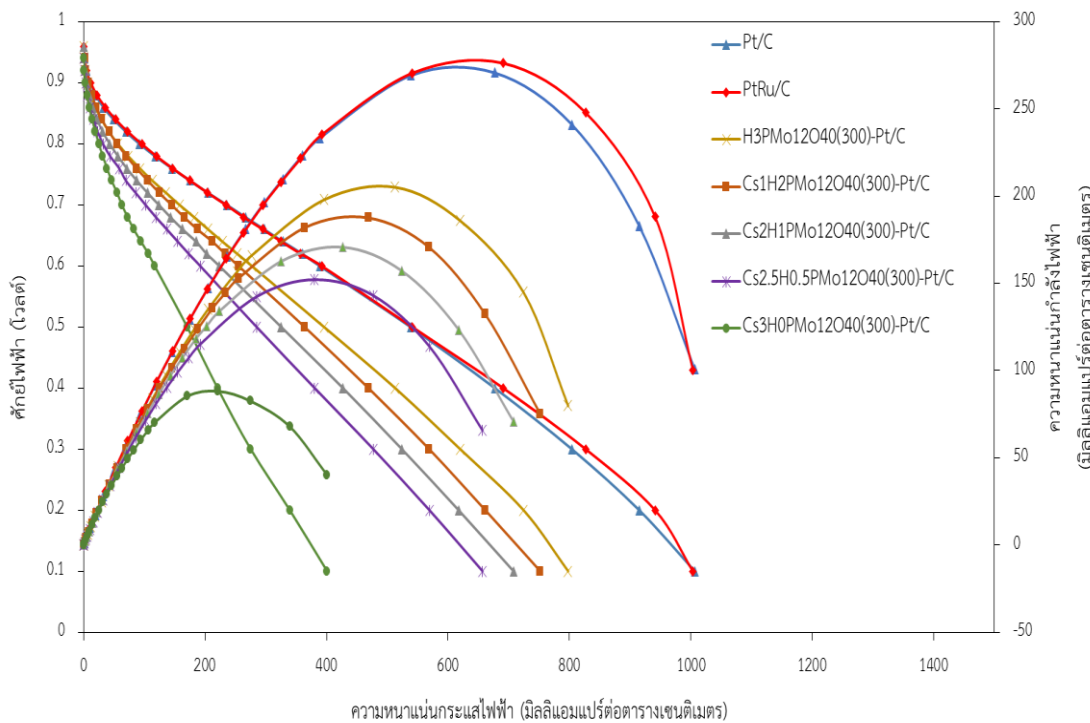
ตารางที่ 4.6 สมบัติไฟฟ้าของตัวเร่งปฏิกิริยา $Cs_xH_{3-x}PMo_{12}O_{40}(300)$ - Pt/C เมื่อ $x = 1$ ถึง 3

ตัวเร่งปฏิกิริยา	I_r/I_b	ความหนาแน่นกระแสไฟฟ้าที่		ความหนาแน่นกระแสไฟฟ้าที่	
		ศักย์ไฟฟ้า 0.6 โวลต์	ศักย์ไฟฟ้า 0.9 โวลต์	ศักย์ไฟฟ้า 0.6 โวลต์	ศักย์ไฟฟ้า 0.9 โวลต์
Pt/C	0.821	389	26.67	11	3.6
PtRu/C	1.638	392	64.67	11.90	2
$H_3PMo_{12}O_{40}(300)$ -Pt/C	1.588	277	44.00	7.5	2
$Cs_1H_2PMo_{12}O_{40}(300)$ -	2.449	255	145.00	8	4
Pt/C					
$Cs_2H_1PMo_{12}O_{40}(300)$ -	2.060	223	48.00	5	1
Pt/C					
$Cs_{2.5}H_{0.5}PMo_{12}O_{40}(300)$ -	1.938	192	44.00	3.5	0
Pt/C					
$Cs_3H_0PMo_{12}O_{40}(300)$ -	1.445	117	43.00	2.5	2
Pt/C					

4.2.4 กัมมันตภาพของตัวเร่งปฏิกิริยาในเซลล์เชือเพลิงพื้นอิฐเมือง

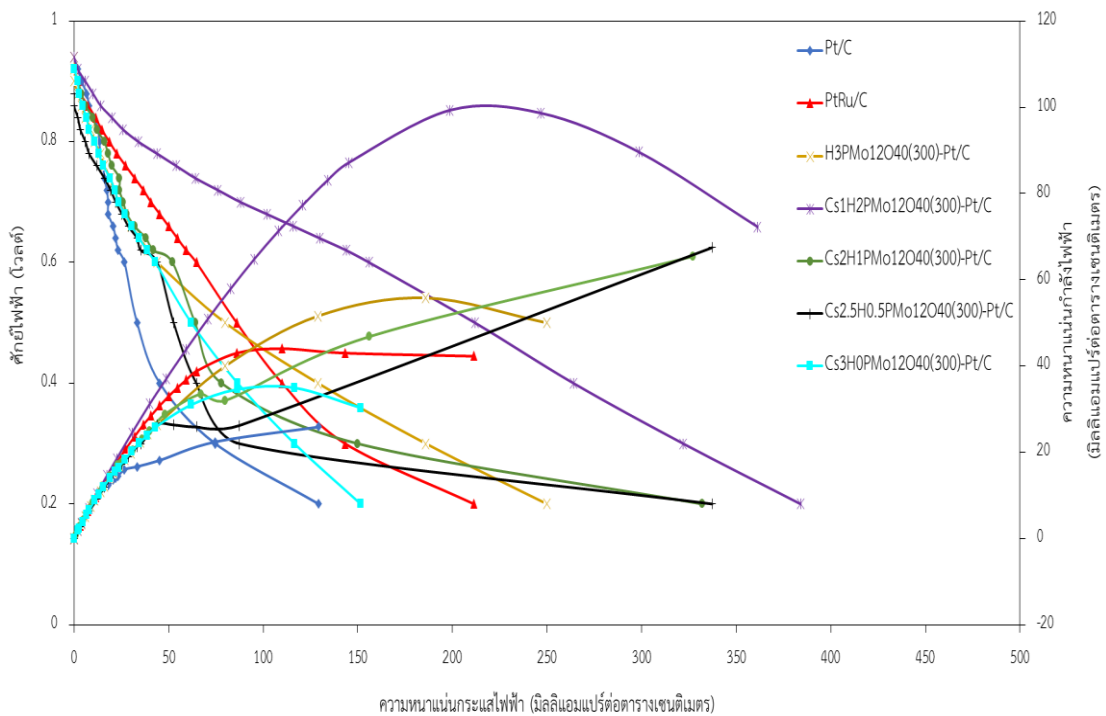
ภาพที่ 4.19 แสดงกราฟโพลาไรเซชันของตัวเร่งปฏิกิริยา Pt/C ตัวเร่งปฏิกิริยา $H_3PMo_{12}O_{40}(300)$ -Pt/C และตัวเร่งปฏิกิริยา $Cs_xH_{3-x}PMo_{12}O_{40}(300)$ -Pt/C ในเซลล์เชือเพลิงเดี่ยว ซึ่งใช้ตัวเร่งปฏิกิริยาดังกล่าวเป็นขั้วแอนод และใช้ตัวเร่งปฏิกิริยา Pt/C เป็นขั้วแคโทด ทดสอบภายใต้บรรยากาศไฮโดรเจนและออกซิเจน ที่อุณหภูมิ 60 องศาเซลเซียส ความดัน 1 บรรยากาศ และอัตราการไหลของแก๊สไฮโดรเจนและออกซิเจนเท่ากับ 100 ลูกบาศก์เซนติเมตรต่อนาที เมื่อ

พิจารณาที่ศักย์ไฟฟ้าของจะเปิด พบว่าตัวเร่งปฏิกิริยา Pt/C PtRu/C $H_3PMo_{12}O_{40}(300)$ -Pt/C $Cs_1H_2PMo_{12}O_{40}(300)$ -Pt/C $Cs_2H_1PMo_{12}O_{40}(300)$ -Pt/C $Cs_{2.5}H_{0.5}PMo_{12}O_{40}(300)$ -Pt/C และ $Cs_3H_0PMo_{12}O_{40}(300)$ -Pt/C มีค่าศักย์ไฟฟ้าของจะเปิดเท่ากับ 0.959 0.960 0.965 0.961 0.970 0.970 และ 0.943 ตามลำดับ ซึ่งแตกต่างกันน้อยมาก ดังนั้นการแพร่ผ่านของแก๊สเชื้อเพลิงไม่ได้ส่งผลต่อสมรรถนะโดยรวมของเซลล์เชื้อเพลิง เมื่อพิจารณาที่ศักย์ไฟฟ้า 0.6 โวลต์ พบว่าตัวเร่งปฏิกิริยา Pt/C PtRu/C $H_3PMo_{12}O_{40}(300)$ -Pt/C $Cs_1H_2PMo_{12}O_{40}(300)$ -Pt/C $Cs_2H_1PMo_{12}O_{40}(300)$ -Pt/C $Cs_{2.5}H_{0.5}PMo_{12}O_{40}(300)$ -Pt/C และ $Cs_3H_0PMo_{12}O_{40}(300)$ -Pt/C ให้ค่าความหนาแน่นกระแสไฟฟ้าเท่ากับ 389 392 277 255 223 192 และ 117 มิลลิแอมแปร์ต่อตารางเซนติเมตร ตามลำดับ (ตารางที่ 4.6) แสดงให้เห็นว่าตัวเร่งปฏิกิริยา Pt/C จะมีค่ากัมมันตภาพสูงที่สุด เนื่องจากการมี $Cs_xH_{3-x}PMo_{12}O_{40}$ บนตัวเร่งปฏิกิริยา Pt/C ไม่ได้ช่วยตัวเร่งปฏิกิริยาแพลทินัมในเร่งปฏิกิริยาออกซิเดชันไฮโดรเจน



ภาพที่ 4.19 โพลาไรเซชันของตัวเร่งปฏิกิริยา Pt/C เชิงพาณิชย์ ตัวเร่งปฏิกิริยา PtRu/C เชิงพาณิชย์ ตัวเร่งปฏิกิริยา $H_3PMo_{12}O_{40}$ บนตัวเร่งปฏิกิริยา Pt/C ที่ร้อยละ 300 โดยน้ำหนัก และ ตัวเร่งปฏิกิริยา $Cs_xH_{3-x}PMo_{12}O_{40}$ -Pt/C ที่มี $Cs_xH_{3-x}PMo_{12}O_{40}$ ร้อยละ 300 โดยน้ำหนัก ภายใต้บรรยากาศไฮโดรเจนและออกซิเจน

ในขณะที่สมรรถนะของตัวเร่งปฏิกิริยาที่ทดสอบภายใต้บรรยากาศไฮโดรเจนที่มีการปนเปื้อนด้วยแก๊สคาร์บอนมอนอกไซด์ความเข้มข้น 100 ส่วนในล้านส่วนและออกซิเจน ที่อุณหภูมิ 60 องศาเซลเซียส ความดัน 1 บรรยากาศ และอัตราการไหลของแก๊สไฮโดรเจนและออกซิเจนเท่ากับ 100 ลูกบาศก์เซนติเมตรต่อนาที เป็นเวลา 1 ชั่วโมง ดังแสดงในภาพที่ 4.20 พบร่วงศักย์ไฟฟ้าวงจรเปิดของตัวเร่งปฏิกิริยา Pt/C PtRu/C $H_3PMo_{12}O_{40}(300)$ -Pt/C $Cs_1H_2PMo_{12}O_{40}(300)$ -Pt/C $Cs_2H_1PMo_{12}O_{40}(300)$ -Pt/C $Cs_{2.5}H_{0.5}PMo_{12}O_{40}(300)$ -Pt/C และ $Cs_3H_0PMo_{12}O_{40}(300)$ -Pt/C มีค่าศักย์ไฟฟ้าวงจรเปิดเท่ากับ 0.955 0.954 0.957 0.948 0.950 0.937 และ 0.949 ตามลำดับ ซึ่งแตกต่างกันน้อยมาก ดังนั้นการแพร่ผ่านของแก๊สเชือเพลิงไม่ได้ส่งผลต่อสมรรถนะโดยรวมของตัวเร่งปฏิกิริยา เมื่อพิจารณาที่ศักย์ไฟฟ้า 0.6 โวลต์ พบร่วงปฏิกิริยา Pt/C PtRu/C $H_3PMo_{12}O_{40}(300)$ -Pt/C $Cs_1H_2PMo_{12}O_{40}(300)$ -Pt/C $Cs_2H_1PMo_{12}O_{40}(300)$ -Pt/C $Cs_{2.5}H_{0.5}PMo_{12}O_{40}(300)$ -Pt/C และ $Cs_3H_0PMo_{12}O_{40}(300)$ -Pt/C ให้ค่าความหนาแน่นกระแสไฟฟ้าเท่ากับ 26.67 64.67 44 145.30 48 44 และ 43 มิลลิแอม培رت่อตารางเซนติเมตร ตามลำดับ (ตารางที่ 4.6) พบร่วงปฏิกิริยา $Cs_1H_2PMo_{12}O_{40}(300)$ -Pt/C มีความทนทานของบอนมอนอกไซด์สูงกว่าตัวเร่งปฏิกิริยา Pt/C และตัวเร่งปฏิกิริยา $H_3PMo_{12}O_{40}(300)$ -Pt/C การเพิ่มจำนวน Cs จาก 1 ถึง 3 อะตอม ส่งผลต่อความทนแก๊สคาร์บอนมอนอกไซด์ เนื่องจาก Cs^+ มีขนาดใหญ่ เข้าแทนที่ H^+ เพิ่มขึ้นเกิดการบดบังปฏิกิริยาออกซิเดชันของคาร์บอนมอนอกไซด์กับไฮโดรเจโนโลลิแอซิดไอออนในเซลล์เชือเพลิง แก๊สคาร์บอนมอนอกไซด์จึงเข้าทำปฏิกิริยานั่นตัวเร่งปฏิกิริยา Pt/C ส่งผลให้การทนทานของบอนมอนอกไซด์ลดลง



ภาพที่ 4.20 โพลาร์ไซซ์เซ็นของตัวเร่งปฏิกิริยา Pt/C เชิงพาณิชย์ ตัวเร่งปฏิกิริยา PtRu/C เชิงพาณิชย์ ตัวเร่งปฏิกิริยา H₃PMo₁₂O₄₀ บนตัวเร่งปฏิกิริยา Pt/C ที่ร้อยละ 300 โดยน้ำหนัก และตัวเร่งปฏิกิริยา Cs_xH_{3-x}PMo₁₂O₄₀-Pt/C ที่มี Cs_xH_{3-x}PMo₁₂O₄₀ ร้อยละ 300 ภายใต้บรรยายกาศไฮโดรเจนที่มีการปนเปื้อนแก๊สคาร์บอนมอนอกไซด์ความเข้มข้น 100 ส่วนในล้านส่วนและออกซิเจน

บทที่ 5

สรุปผลการทดลองและข้อเสนอแนะ

5.1 สรุปผลการทดลอง

งานวิจัยนี้ศึกษาผลของการเติม $H_3PMo_{12}O_{40}$ และ $Cs_xH_{3-x}PMo_{12}O_{40}$ บนตัวเร่งปฏิกิริยา Pt/C สำหรับปฏิกิริยาออกซิเดชันแก๊สคาร์บอนมอนอกไซด์ในเซลล์เชื้อเพลิงพื้นอิเม็ม ซึ่งแบ่งขอบเขตของการทำงานออกเป็น 2 ส่วน ส่วนแรกเป็นการศึกษาผลของร้อยละโดยน้ำหนักของ $H_3PMo_{12}O_{40}$ บนตัวเร่งปฏิกิริยา Pt/C ต่อการทนแก๊สคาร์บอนมอนอกไซด์ของตัวเร่งปฏิกิริยาโดยการทดสอบในสารละลายน้ำมานอความเข้มข้น 1 มोลต่อลิตร ผสมสารละลายน้ำกรดซัลฟูริกความเข้มข้น 0.5 มोลต่อลิตร ใช้เทคนิคไซคลิกโวเทมเมทรี พบร้า $H_3PMo_{12}O_{40}$ บนตัวเร่งปฏิกิริยา Pt/C ที่ร้อยละ 300 โดยน้ำหนักมีค่า $1/\%$ สูงสุด แสดงว่าตัวเร่งปฏิกิริยาดังกล่าวทนแก๊สคาร์บอนมอนอกไซด์ได้สูงที่สุด ผลมาจากการปริมาณของ $H_3PMo_{12}O_{40}$ บนตัวเร่งปฏิกิริยา Pt/C ถ้าปริมาณ $H_3PMo_{12}O_{40}$ บนตัวเร่งปฏิกิริยา Pt/C มีปริมาณน้อย (ร้อยละ 200 โดยน้ำหนัก) จะส่งผลให้เกิดปฏิกิริยาออกซิเดชันกับคาร์บอนมอนอกไซด์เกิดขึ้นน้อย เมื่อเทียบกับปริมาณของแก๊สคาร์บอนมอนอกไซด์ที่เกิดขึ้นในปฏิกิริยา เพราะฉะนั้นแก๊สคาร์บอนมอนอกไซด์ที่มากเกินพอจะเข้าทำปฏิกิริยากับตัวเร่งปฏิกิริยา แพลทินัมปகคลุมพื้นที่การเกิดปฏิกิริยา ทำให้ค่าการทนแก๊สคาร์บอนมอนอกไซด์ลดลง แต่เมื่อมีปริมาณ $H_3PMo_{12}O_{40}$ บนตัวเร่งปฏิกิริยา Pt/C มากเกินไป (ร้อยละ 400 โดยน้ำหนัก) ส่งผลให้เกิดการบาดบัง บริเวณการเกิดปฏิกิริยาของตัวเร่งปฏิกิริยา Pt/C จึงส่งผลให้ค่าทนแก๊สคาร์บอนมอนอกไซด์ลดลง และเมื่อเปรียบเทียบกับตัวเร่งปฏิกิริยา Pt/C สามารถเกิดปฏิกิริยาออกซิเดชันแก๊สคาร์บอนมอนอกไซด์ และทนแก๊สคาร์บอนมอนอกไซด์ได้ดีกว่าถึง 1.93 เท่า

เมื่อพิจารณาภัมมันตภาพของตัวเร่งปฏิกิริยาในเซลล์เชื้อเพลิงเดี่ยวจะดำเนินการภายใต้ภาวะบรรยากาศไฮโดรเจนและออกซิเจนอุณหภูมิ 60 องศาเซลเซียส ความดัน 1 บรรยากาศ และอัตราการไหลของแก๊สไฮโดรเจนและออกซิเจนเท่ากับ 100 ลูกบาศก์เซนติเมตรต่อนาทีที่ภาวะมาตรฐาน เมื่อพิจารณาค่าความหนาแน่นกระแสไฟฟ้า 0.6 โวลต์ พบร้า $H_3PMo_{12}O_{40}$ บนตัวเร่งปฏิกิริยา Pt/C ที่มี $H_3PMo_{12}O_{40}$ ร้อยละ 200 300 และ 400 โดยน้ำหนัก และตัวเร่งปฏิกิริยา Pt/C ให้ค่าความหนาแน่นกระแสไฟฟ้าเท่ากับ 327 277 214 และ 389 มิลลิแอมเปอร์ต่อตารางเซนติเมตร ตามลำดับ แสดงให้เห็นว่าตัวเร่งปฏิกิริยา Pt/C จะมีค่าภัมมันตภาพสูงที่สุด เนื่องจากผลของการมีอยู่ของเยเทอโรโพลิออกซิดไม่ได้ช่วยตัวเร่งปฏิกิริยาแพลทินัมในเกิดปฏิกิริยาออกซิเดชันไฮโดรเจน ในขณะที่สมรรถนะของตัวเร่งปฏิกิริยาทดสอบภายใต้บรรยากาศไฮโดรเจนที่มีการปนเปื้อนแก๊สคาร์บอนมอนอกไซด์ความเข้มข้น 100 ส่วนในล้านส่วนและออกซิเจน ที่อุณหภูมิ 60 องศาเซลเซียส ความดัน 1 บรรยากาศ

และอัตราการไหลของแก๊สไฮโดรเจนและออกซิเจนเท่ากับ 100 ลูกบาศก์เซนติเมตรต่อนาที เป็นเวลา 1 ชั่วโมง พบร่วมตัวเร่งปฏิกิริยา $H_3PMo_{12}O_{40}$ -Pt/C ที่มี $H_3PMo_{12}O_{40}$ ร้อยละ 200 300 และ 400 โดยน้ำหนัก และตัวเร่งปฏิกิริยา Pt/C ให้ค่าความหนาแน่นกระแสไฟฟ้าที่ 0.6 โวลต์ เท่ากับ 32.67 44 และ 32 มิลลิแอมเปอร์ต่อตารางเซนติเมตร ตามลำดับ มีความทนแก๊สคาร์บอนมอนอกไซด์สูงกว่า ตัวเร่งปฏิกิริยา Pt/C ถึง 1.22 1.65 และ 1.20 เท่า ตามลำดับ เนื่องจากการมีอยู่ของโลหะโมลิบดีนัม ในโครงสร้างของเซเทอโรโพลิเออซิตมิเพลในการเกิดปฏิกิริยาออกซิเดชันแก๊สคาร์บอนมอนอกไซด์ได้สูงกว่า ดังนั้นตัวเร่งปฏิกิริยาที่ทนแก๊สคาร์บอนมอนอกไซด์ และให้กัมมันตภาพสูงที่สุด คือตัวเร่งปฏิกิริยา $H_3PMo_{12}O_{40}(300)$ -Pt/C

ส่วนที่สองเป็นศึกษาผลของการเติมซีเซียมไอออน (Cs^+) แทนที่ไฮโดรเจนไอออนในโครงสร้าง $H_3PMo_{12}O_{40}$ บนตัวเร่งปฏิกิริยา Pt/C ที่ $H_3PMo_{12}O_{40}$ ร้อยละ 300 โดยน้ำหนัก เนื่องจาก $H_3PMo_{12}O_{40}$ มีข้อเสีย คือ สภาพการละลายน้ำสูง และมีพื้นที่ผิวน้อย จึงมีเสถียรภาพและกัมมันตภาพในการเร่งปฏิกิริยาต่ำ การแทนที่ของ Cs^+ ในโครงสร้าง $H_3PMo_{12}O_{40}$ สามารถลดการละลายของ $H_3PMo_{12}O_{40}$ ถึง 2.14 เท่า นำตัวเร่งปฏิกิริยา $Cs_xH_{3-x}PMo_{12}O_{40}$ - Pt/C ที่ร้อยละ 300 โดยน้ำหนัก ทดสอบการทนคาร์บอนมอนอกไซด์ของตัวเร่งปฏิกิริยาจะดำเนินการทดสอบในสารละลายเมทานอล ความเข้มข้น 1 มอลต่อลิตร ผสมสารละลายกรดซัลฟูริกความเข้มข้น 0.5 มอลต่อลิตร ใช้เทคโนโลยีคลิกโวแท่มเมทรี พบร่วมปริมาณ Cs^+ ในโครงสร้าง $H_3PMo_{12}O_{40}$ ส่งผลต่อการเกิดปฏิกิริยาออกซิเดชัน กับแก๊สคาร์บอนมอนอกไซด์ เนื่องจากขนาดของ Cs^+ มีขนาดใหญ่ไอออนมากเมื่อเทียบกับไฮโดรเจนไอออน เมื่อปริมาณของ Cs^+ เพิ่มขึ้นจึงส่งผลให้ค่าการทนแก๊สคาร์บอนมอนอกไซด์ การละลายน้ำ และพื้นที่ผิวในการเกิดปฏิกิริยาลดลง ผลมาจากการสมบัติความเป็น $H_3PMo_{12}O_{40}$ ลดลง ทำให้ผลการเกิดปฏิกิริยาออกซิเดชันกับแก๊สคาร์บอนมอนอกไซด์ลดลง ตัวเร่งปฏิกิริยา $Cs_1H_2PMo_{12}O_{40}(300)$ -Pt/C มีค่า $I_{f/2}$ สูงสุด และดังว่าตัวเร่งปฏิกิริยาดังกล่าวทนแก๊สคาร์บอนมอนอกไซด์สูงกว่าเกลือเซเทอโรโพลิเออซิดที่อัตราส่วนอื่นๆ เมื่อนำตัวเร่งปฏิกิริยา $Cs_1H_2PMo_{12}O_{40}(300)$ -Pt/C เปรียบเทียบกับตัวเร่งปฏิกิริยา Pt/C เชิงพาณิชย์ พบร่วมสามารถทนแก๊สคาร์บอนมอนอกไซด์สูงกว่า และเกิดปฏิกิริยาออกซิเดชันแก๊สคาร์บอนมอนอกไซด์ได้ดีกว่าตัวเร่งปฏิกิริยา Pt/C ถึง 2.98 เท่า และสูงกว่าตัวเร่งปฏิกิริยา $H_3PMo_{12}O_{40}(300)$ -Pt/C ถึง 1.57 เท่า

ผลกัมมันตภาพของตัวเร่งปฏิกิริยา $Cs_xH_{3-x}PMo_{12}O_{40}$ - Pt/C ในเซลล์เชื้อเพลิงเดียวจะดำเนินการภายใต้ภาวะบรรยากาศไฮโดรเจนและออกซิเจนอุณหภูมิ 60 องศาเซลเซียส ความดัน 1 บรรยากาศ และอัตราการไหลของแก๊สไฮโดรเจนและออกซิเจนเท่ากับ 100 ลูกบาศก์เซนติเมตรต่อนาทีที่ภาวะมาตรฐาน พบร่วมตัวเร่งปฏิกิริยา $Cs_1H_2PMo_{12}O_{40}(300)$ -Pt/C $Cs_2H_1PMo_{12}O_{40}(300)$ -Pt/C $Cs_{2.5}H_{0.5}PMo_{12}O_{40}(300)$ -Pt/C และ $Cs_3H_0PMo_{12}O_{40}(300)$ -Pt/C ให้ค่าความหนาแน่นกระแสไฟฟ้า 0.6 โวลต์ เท่ากับ 255 223 192 และ 117 มิลลิแอมเปอร์ต่อตารางเซนติเมตร ตามลำดับ

และตัวเร่งปฏิกิริยา Pt/C ค่าความหนาแน่นกระแสงไฟฟ้า 0.6 โวลต์ เท่ากับ 389 มิลลิแอมเปอร์ต่อตารางเซนติเมตร แสดงให้เห็นว่าตัวเร่งปฏิกิริยา Pt/C จะมีค่าก้มมันตภาพสูงที่สุด เนื่องจากผลของเกลือไฮเทอโรโพลิแอซิดไม่ได้ช่วยตัวเร่งปฏิกิริยาแพลทินัมในเกิดปฏิกิริยาออกซิเดชันไฮโดรเจนในขณะที่สมรรถนะของตัวเร่งปฏิกิริยาทดสอบภายใต้บรรยากาศไฮโดรเจนที่มีการปนเปื้อนแก๊สคาร์บอนมอนอกไซด์ความเข้มข้น 100 ส่วนในล้านส่วนและออกซิเจน ที่อุณหภูมิ 60 องศาเซลเซียส ความดัน 1 บรรยากาศ และอัตราการไหลของแก๊สไฮโดรเจนและออกซิเจนเท่ากับ 100 ลูกบาศก์เซนติเมตรต่อนาที เป็นเวลา 1 ชั่วโมง พบร่วมกับตัวเร่งปฏิกิริยา $\text{Cs}_1\text{H}_2\text{PMo}_{12}\text{O}_{40}(300)\text{-Pt/C}$ มีความทนทานมากกว่าตัวเร่งปฏิกิริยา Pt/C และตัวเร่งปฏิกิริยา $\text{H}_3\text{PMo}_{12}\text{O}_{40}(300)\text{-Pt/C}$ ถึง 5.43 และ 3.29 เท่า เนื่องจากการมีอิฐของโลหะไมลิบดีนัมในโครงสร้างของไฮเทอโรโพลิแอซิดมีผลในการเกิดปฏิกิริยาออกซิเดชันcarbonมอนอกไซด์ได้สูงกว่า และปริมาณของ Cs^+ ในโครงสร้าง $\text{H}_3\text{PMo}_{12}\text{O}_{40}$ ช่วยลดการละลายน้ำของตัวเร่งปฏิกิริยา และช่วยเพิ่มพื้นที่ผิวในการเกิดปฏิกิริยาออกซิเดชันcarbonมอนอกไซด์ ดังนั้นตัวเร่งปฏิกิริยาที่ทันแก๊สคาร์บอนมอนอกไซด์ และให้ก้มมันตภาพสูงที่สุด คือตัวเร่งปฏิกิริยา $\text{Cs}_1\text{H}_2\text{PMo}_{12}\text{O}_{40}(300)\text{-Pt/C}$

5.2 ข้อเสนอแนะ

- ควรทำการทดลองในเซลล์เชือเพลิงเดี่ยวดำเนินการภายใต้ภาวะบรรยากาศไฮโดรเจนที่มีการปนเปื้อนของcarbonมอนอกไซด์ที่ความเข้มข้นเพิ่มขึ้น เพื่อดูการออกซิเดชันของตัวเร่งปฏิกิริยาที่เกิดขึ้น
- อาจจะทำการทดลองปฏิกิริยาออกซิเดชันของตัวเร่งปฏิกิริยาในสารละลายที่คล้ายกับสารละลายเมทานอล เช่น สารละลายเอทานอล เนื่องจากสารละลายเมทานอลค่อนข้างอันตราย
- ควรทำการทดลองในเซลล์เชือเพลิงเดี่ยวที่อุณหภูมิต่ำ และเพิ่มปริมาณโดยน้ำหนักของตัวเร่งปฏิกิริยานั้นตัวเร่งปฏิกิริยา Pt/C เพื่อคุ้ปะลิทอิควาฟ

รายการอ้างอิง

1. มะติ หุ่นสม, เซลล์เชื้อเพลิงพีอีเอ็มและการวิเคราะห์เชิงเคมีไฟฟ้า. 1 ed. 2012.
2. Stanis, R.J., et al., *Use of W, Mo, and V substituted heteropolyacids for CO mitigation in PEMFCs*. Journal of The Electrochemical Society, 2008. 155(2): p. B155-B162.
3. Mizuno, N. and M. Misono, *Heterogeneous catalysis*. Chemical Reviews, 1998. 98(1): p. 199-218.
4. Li, X., ed. *Principle of fuel cells*. 1 ed. 2005, Taylor & Francis. 592.
5. *History of the technology.* 2 0 1 4 - 2 0 1 5 ; Available from: <http://www.doitpoms.ac.uk/tlplib/fuel-cells/history.php>.
6. สารานุกรมเส, ว. เซลล์เชื้อเพลิง. 2016 15 Feb 2016; Available from: <https://th.wikipedia.org/wiki/%E0%B9%80%E0%B8%8B%E0%B8%A5%E0%B8%A5%E0%B9%8C%E0%B9%80%E0%B8%8A%E0%B8%B7%E0%B9%89%E0%B8%AD%E0%B9%80%E0%B8%9E%E0%B8%A5%E0%B8%B4%E0%B8%87>.
7. Kantola, H.K., *Allis-Chalmers Farm Tractor Was First Fuel Cell Vehicle*. 2008.
8. สมนึก บุญพาใส่, เซลล์เชื้อเพลิง สาขาออกแบบและพัฒนาอุปกรณ์. 2005.
9. Gross, D.D. *Fuel Cell Special*. 2010 September 2010 5]; Available from: <http://www.cleantechinvestor.com/portal/2010-issue-5.html>.
10. *Hydrogen Fuel Cell Technologies*. Available from: <http://greenecon.net/page/23-11-2014>.
11. ดร. อภิรัตน์ เลาห์บุตรี, ร.ด.ส.จ., *Fuel Cell and Polymer Electrolyte Membrane*.
12. *What is Nafion™?* 2 0 1 6 ; Available from: <http://www.nafionstore.com/store/pg/19-Nafion-US.aspx>.
13. Sun, L., et al., *Fabrication and performance test of a catalyst-coated membrane from direct spray deposition*. Solid State Ionics, 2008. 179(21): p. 960-965.
14. Memoir, M. การถอดซับบนพื้นผิวน้ำเร่งปฏิกิริยาไวริชพันธ์ ตอนที่ ๑ ขั้นตอนของการเกิดปฏิกิริยาบนตัวเร่งปฏิกิริยาไวริชพันธ์ 2012 13 February 2012; Available from:

- [http://tamagozilla.blogspot.com/2012/02/mo-memoir-monday-13-february-2555.html.](http://tamagozilla.blogspot.com/2012/02/mo-memoir-monday-13-february-2555.html)
15. ดร.ปานจันทร์ ศรีจุณุ, ร.ด.ส.เ., รศ.ดร. อนวัช สังข์เพ็ชร, นางสาวปริyanุช ธรรมเจริญ, *Bipolar plate made from polymer-graphite composites for PEMFC*, in *Chemical engineering*. 2008, King Mongkut's Institute of Technology.
 16. Prasad, D.A. and D.S. Advani. *Particle Image Velocimetry Measurements in a Model PEMFC*. Available from: http://www.me.udel.edu/research_groups/prasad/proj/piv.html.
 17. ElectroChem. *Flat seal / rope / silicone / for fuel cells*. Available from: http://www.directindustry.com/prod/electrochem/product-2_2_7_8_0_-686359.html.
 18. Wales., H.S.i.N.S. *Current status of the PEM fuel cell (PEMFC)*. 2003; Available from: <http://www.fuelcells.org.au/Fuel-Cell-Education-NSW-Australia.htm>.
 19. Stolten. *III.2 Fuel Cell Technology*. 2 0 0 6 ; Available from: <https://hub.globalccsinstitute.com/publications/reduction-residential-carbon-dioxide-emissions-through-use-small-cogeneration-fuel-ce-7>.
 20. Svetlana B. Strbac, R.R.A., *Electrocatalysis, Fundamentals - Electron Transfer Process; Current-Potential Relationship; Volcano Plots*, in *Encyclopedia of Applied Electrochemistry*. p. 417-423.
 21. Savagado, *Theory Technique and application*. 1999: p. 915-936.
 22. Bilal, S., *Cyclic Voltammetry*, in *Encyclopedia of Applied Electrochemistry*. 2014, Springer. p. 285-289.
 23. Instruments, G. *Measuring Surface Related Currents using Digital Staircase Voltammetry*. 2 0 1 6 ; Available from: <http://www.gamry.com/application-notes/physechem/cyclic-voltammetry-measuring-surface-related-currents/>.
 24. Silva, M.F., et al., *Electrooxidation of ethanol on Pt and PtRu surfaces investigated by ATR surface-enhanced infrared absorption spectroscopy*. Journal of the Brazilian Chemical Society, 2012. 23(5): p. 831-837.
 25. Gharibi, H., et al., *Investigation of carbon monoxide tolerance of platinum nanoparticles in the presence of optimum ratio of doped polyaniline with para*

- toluene sulfonic acid and their utilization in a real passive direct methanol fuel cell.* Electrochimica Acta, 2013. 97: p. 216-225.
26. Hofstead-Duffy, A.M., et al., *Origin of the current peak of negative scan in the cyclic voltammetry of methanol electro-oxidation on Pt-based electrocatalysts: a revisit to the current ratio criterion.* Journal of Materials Chemistry, 2012. 22(11): p. 5205-5208.
 27. Sing, K.S.W., et al. , *Reporting physisorption data for gas/solid systems with special reference to the determination of surface area and porosity.* Pure and Applied Chemical, 1985. 57(4): p. 603-619.
 28. Huang, S.-Y., P. Ganesan, and B.N. Popov, *Electrocatalytic activity and stability of niobium-doped titanium oxide supported platinum catalyst for polymer electrolyte membrane fuel cells.* Applied Catalysis B: Environmental, 2010. 96(1-2): p. 224-231.
 29. Thessaloniki. *PEMFC Lifetime and Durability an overview.* 2011 September 21 2011 ; Available from: https://www.google.co.th/url?sa=t&rct=j&q=&esrc=s&source=web&cd=1&cad=rja&uact=8&ved=0ahUKEwiT-_X67jNAhXKql8KHTTjAKgQFggaMAA&url=http%3A%2F%2Fiet.jrc.ec.europa.eu%2Ffuel-cells%2Ffiles%2Ffiles%2Fdocuments%2Fevents%2Fpemfc_lifetime_and_durability-an_overview_-f.debruijn.pdf&usg=AFQjCNFuik82qFNNfc1FXs9mqlWQRjrFew&sig2=kBwclwAI7FvSQX4pAlnug&bvm=bv.124817099,d.c2I
 30. Stephen J., H.A.G., *PEM Fuel Cells, Materials and Design Development Challenges,* in *Encyclopedia of Sustainability Science and Technology.* p. 7756-7777.
 31. Wanchanthuek, R., *Hydrogen Gas: The Expectation to Be a Promising Sustainable Energy Source.* Burapha Sci. J. , 2011. 16(1): p. 131-140.
 32. Gumilar, A. *Hydrogen Production By Steam Reforming.* 2010; Available from: <http://chemeng-processing.blogspot.com/2010/05/hydrogen-production-by-steam-reforming.html>.

33. Mattos, L.V.N., F.B., *Hydrogen production for fuel cell applications by ethanol partial oxidation on Pt/CeO catalysts: the effect of the reaction conditions and reaction mechanism.* Journal of Catalysis 2005. 233: p. 453-463.
34. Direct Catalytic Partial Oxidation (D-CPOX). Available from: <https://www.chiyoda-corp.com/technology/en/future/d-cpox.html>.
35. Electrolysis. Available from: <http://kangenforyou.com/Technology.html>.
36. Fujishima, A., *Electrochemical photolysis of water at a semiconductor electrode.* nature, 1972. 238: p. 37-38.
37. ກາຣົພລືຕໍ່ໄອໂດຮເຈນ (*Hydrogen Production*). 2 0 1 4 ; Available from: <http://ienergyguru.com/2015/07/hydrogen-production/>.
38. Vielstich, W., H. Yokokawa, and H.A. Gasteiger, *Handbook of fuel cells: fundamentals technology and applications.* 2009: John Wiley & Sons.
39. Wang, X. and I.M. Hsing, *Kinetics investigation of H₂/CO electro-oxidation on carbon supported Pt and its alloys using impedance based models.* Journal of Electroanalytical Chemistry, 2003. 556: p. 117-126.
40. Ehteshami, S.M.M. and S.H. Chan, *A review of electrocatalysts with enhanced CO tolerance and stability for polymer electrolyte membrane fuel cells.* Electrochimica Acta, 2013. 93: p. 334-345.
41. Wang, W., *The effect of internal air bleed on CO poisoning in a proton exchange membrane fuel cell.* Journal of Power Sources, 2009. 191(2): p. 400-406.
42. Zeis, R., *Materials and characterization techniques for high-temperature polymer electrolyte membrane fuel cells.* Beilstein journal of nanotechnology, 2015. 6(1): p. 68-83.
43. Wikipedia, t.f.e. Keggin structure. 2 0 1 6 ; Available from: https://en.wikipedia.org/wiki/Keggin_structure.
44. Wikipedia, t.f.e. Heteropoly acid. 2 0 1 5 ; Available from: https://en.wikipedia.org/wiki/Heteropoly_acid.
45. Katsoulis, D.E., *A survey of applications of polyoxometalates.* Chemical Reviews, 1998. 98(1): p. 359-388.

46. Choi, S.M., et al., *Effect of polyoxometalate amount deposited on Pt/C electrocatalysts for CO tolerant electrooxidation of H₂ in polymer electrolyte fuel cells*. International Journal of Hydrogen Energy, 2010. 35(13): p. 6853-6862.
47. Misono, M., *Catalysis of Heteropoly Compounds (Polyoxometalates)*. 2013. 176: p. 97-155.
48. Maiyalagan, T., *Pt-Ru nanoparticles supported PAMAM dendrimer functionalized carbon nanofiber composite catalysts and their application to methanol oxidation*. Journal of Solid State Electrochemistry, 2009. 13(10): p. 1561-1566.
49. Technology, B.a.B. *Multi Height Probe with RM3000 Test Unit*. 2013; Available from: <http://four-point-probes.com/multi-height-probe-with-rm3000-test-unit/>.

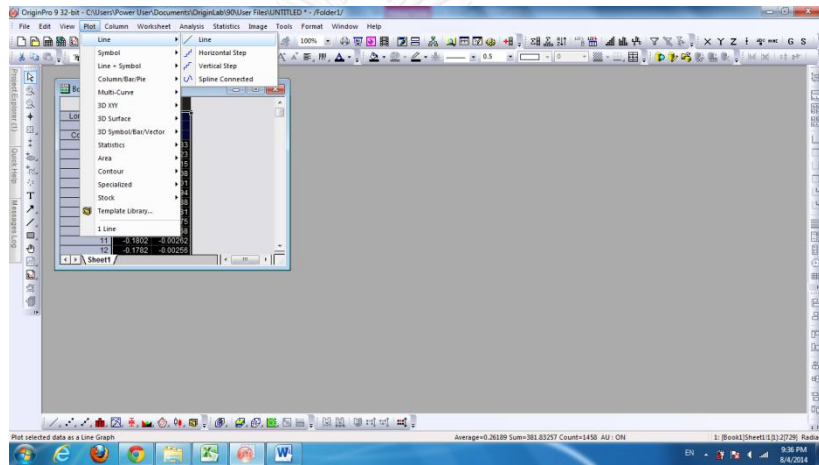


ภาคผนวก ก

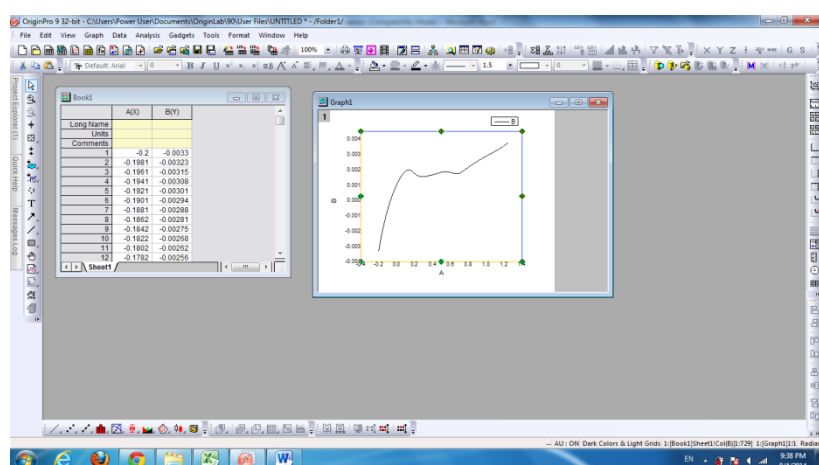
การคำนวณพื้นที่ในการเกิดปฏิกิริยาด้วยโปรแกรม OriginPro 9

ในการวิเคราะห์หาพื้นที่ในการเกิดปฏิกิริยาไฟฟ้าเคมีจากเทคนิคไซคลิกโวลแทมเมทรี จำเป็นต้องมีการหาพื้นที่ใต้กราฟจากโวลแทมเมแกรมในส่วนที่เป็นพิกของการหายซับไฮโดรเจน ดังภาพที่ ๔.๑ โดยวิธีการคำนวณพื้นที่ใต้กราฟในช่วงของการหายซับไฮโดรเจนนั้นจะอาศัยซอฟต์แวร์ช่วยในการคำนวณผ่านโปรแกรม OriginPro 9 โดยมีขั้นตอน ดังนี้

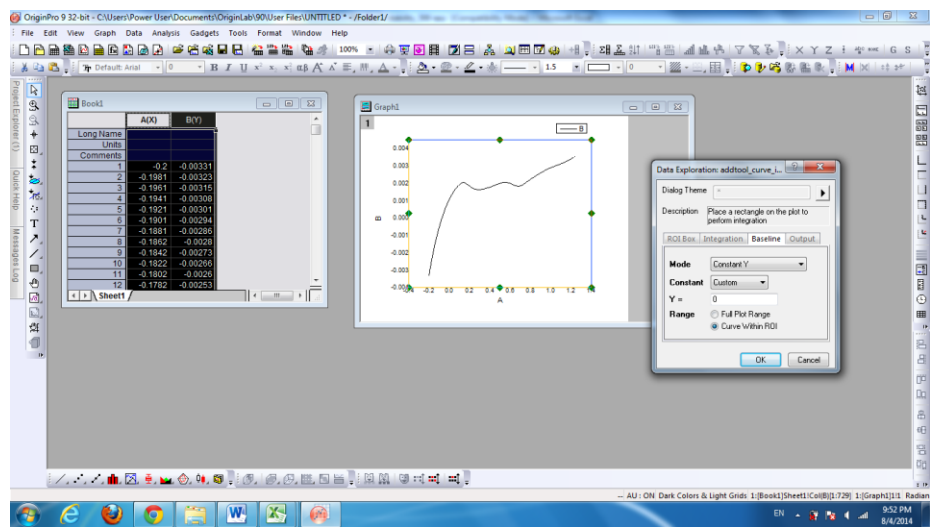
1. เข้าสู่โปรแกรม OriginPro 9 และนำข้อมูลจากไฟล์ Excel มาใส่ในตารางแกน X และแกน Y จากนั้นไฮไลท์ข้อมูลทั้ง 2 แกน และเลือกที่แบบเครื่องมือ Line เพื่อสร้างกราฟ



2. คลิกตรงบริเวณพื้นที่กราฟให้เกิดเป็นรูปสี่เหลี่ยมล้อมรอบกราฟ จากนั้นเลือกที่แบบเครื่องมือ Gadgets → Integrate เพื่อคำนวณหาค่าพื้นที่ใต้กราฟ



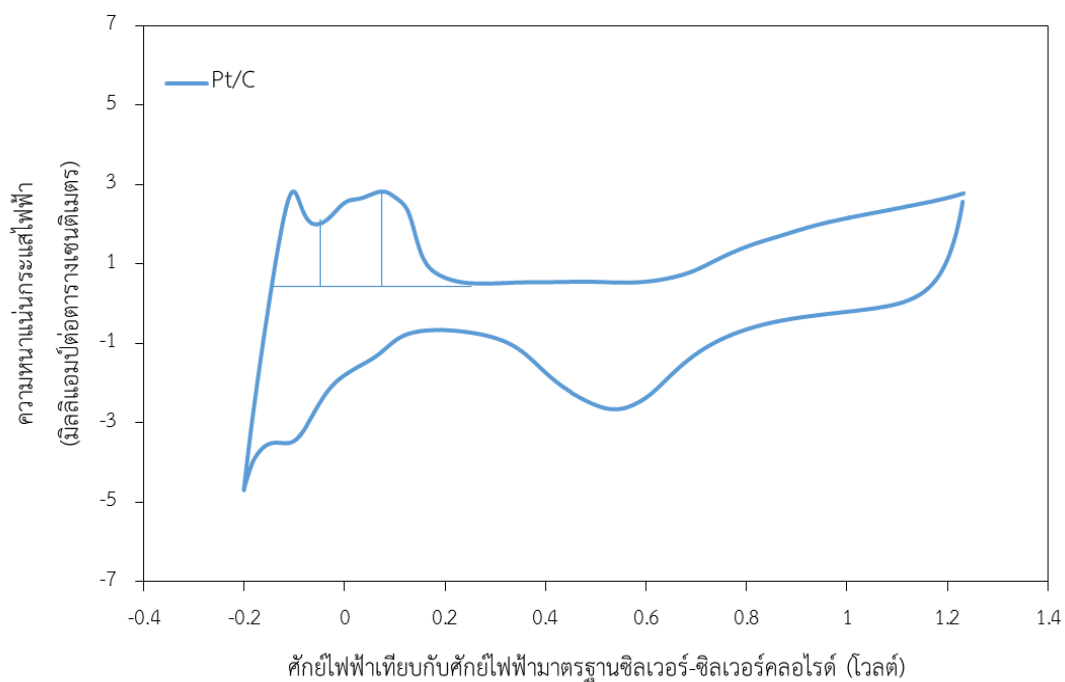
3. หลังจากเลือกแบบเครื่องมือ Integrate และจะปรากฏหน้าต่างที่สามารถกำหนดขอบเขตในการอินทิเกรตได้ จากนั้นไปที่แบบเครื่องมืออยู่อย Baseline เลือก Constant Y จากนั้นปรับค่าแกน Y ให้ตรงกับเส้น double layer charging current และกำหนดขอบเขตพื้นที่ที่ต้องการจะคำนวณหาพื้นที่ใต้กราฟ



4. เมื่อได้พื้นที่ใต้กราฟแล้วสามารถนำข้อมูลที่ได้มาคำนวณหาพื้นที่ในการเกิดปฏิกิริยา (Electrochemical surface area, ECSA) ได้ ดังสมการที่ (ก.1)

$$ECSA = \frac{Q}{210 \times C_L} \quad (\text{ก.1})$$

เมื่อ	$ECSA$	คือ พื้นที่ในการเกิดปฏิกิริยา (ตารางเมตรต่อกรัมแพลทินัม)
	Q	คือ ประจุไฟฟ้าของแพลทินัม (คูลอมบ์)
เลข 210		คือ ค่าคงที่ (ค่าความหนาแน่นของประจุไฟฟ้าของแพลทินัม มีค่าเท่ากับ 210
		ไมโครคูลอมบ์ต่อตารางเซนติเมตรแพลทินัม)
	C_L	คือ ปริมาณตัวเร่งปฏิกิริยาที่ใช้ทดสอบ (มิลลิกรัมต่อตารางเซนติเมตร)



ภาพที่ ก.1 ไซค์ลิกโวල์แتمโนแกรมแสดงพื้นที่ไดกราฟในช่วงที่เกิดการคายซับแก๊สไฮโดรเจน



ภาคผนวก ข

การคำนวณค่าการนำไฟฟ้าในแนวแกนด้วยเทคนิค Four point probe

เทคนิค Four-Point Probe คือวิธีที่นิยมใช้วัดค่าการนำไฟฟ้าของสารกึ่งตัวนำในแนวแกน (In-plane conductivity) แสดงดังภาพที่ ข.1 ซึ่งจะใช้ความสัมพันธ์ระหว่าง “ความต้านทานแผ่น” (sheet resistance : R_s) กับความหนาของชิ้นตัวอย่าง โดยอาศัยการทำงานของขั้วปลายเหล็ก 4 ชิ้วที่วางเรียงกันอยู่ในแนวเส้นตรงมาสัมผัสกับชิ้นตัวอย่าง และให้กระแสไฟฟ้าคงที่ที่ 10 มิลลิแอมเปอร์ไหลผ่านบริเวณขั้วต้านนอก จากนั้นวัดค่าความต้านทานต่อพื้นที่ของตัวอย่าง จากนั้นนำข้อมูลที่ได้ไปคำนวณหาค่าการนำไฟฟ้า ดังสมการที่ (ข.1) และ (ข.2)

$$\rho = R_s \times t \quad (\text{ข.1})$$

$$\sigma = 1/\rho \quad (\text{ข.2})$$

เมื่อ ρ คือ สภาพต้านการนำไฟฟ้า (โอห์มต่อเซนติเมตร) R_s คือความต้านทานต่อพื้นที่ (โอห์มต่อตารางเซนติเมตร) t คือความหนาของตัวอย่าง (เซนติเมตร) และ σ คือสภาพนำไฟฟ้า (ซีเมนต์ต่อเซนติเมตร)



ภาพที่ ข.1 เครื่องวัดค่าการนำไฟฟ้าในแนวแกนด้วยเทคนิค Four point probe [49]

ประวัติผู้เขียนวิทยานิพนธ์

นางสาว วิภาวดี ลอยพิพันธ์ เกิดวันพุธที่สุดที่ ที่ 7 มีนาคม 2534 ที่จังหวัดยะลา สำเร็จการศึกษาระดับมัธยมศึกษาปีที่ 6 จากโรงเรียนคณารักษ์บารุง จังหวัดยะลา สำเร็จการศึกษา ระดับปริญญาตรีวิทยาศาสตร์บัณฑิต ภาควิชาเคมี สาขาเคมีอุตสาหกรรม คณวิทยาศาสตร์ สถาบันเทคโนโลยีพระจอมเกล้าเจ้าคุณทหารลาดกระบัง ในปีการศึกษา 2555 และเข้าศึกษาต่อ ระดับปริญญาโทในหลักสูตรวิทยาศาสตร์มหาบัณฑิต ภาควิชาเคมีเทคนิค สาขาเคมีเทคนิค คณวิทยาศาสตร์ จุฬาลงกรณ์มหาวิทยาลัย ปีการศึกษา 2556 เข้าร่วมประชุมวิชาการในงานประชุมวิชาการ “Pure and Applied Chemistry International Conference 2016 (PACCON 2016)

